

Ressortforschungsberichte zur kerntechnischen Sicherheit und zum Strahlenschutz

Analyse epigenetischer Effekte (mikro RNAs) in ehemaligen Wismutbeschäftigte - Vorhaben 3610S10001

Auftragnehmer:

Institut für Arbeitsmedizin und Prävention der Deutschen Gesetzlichen Unfallversicherung
Institut der Ruhr-Universität Bochum (IPA)
Berufsgenossenschaft Rohstoffe und chemische Industrie (BG RCI)

G. Johnen
T. Brüning
D. G. Weber

Das Vorhaben wurde mit Mitteln des Bundesministeriums für Umwelt, Naturschutz und Reaktorsicherheit (BMU) und im Auftrag des Bundesamtes für Strahlenschutz (BfS) durchgeführt.



Bundesamt für Strahlenschutz

Dieser Band enthält einen Ergebnisbericht eines vom Bundesamt für Strahlenschutz im Rahmen der Ressortforschung des BMU (UFOPLAN) in Auftrag gegebenen Untersuchungsvorhabens. Verantwortlich für den Inhalt sind allein die Autoren. Das BfS übernimmt keine Gewähr für die Richtigkeit, die Genauigkeit und Vollständigkeit der Angaben sowie die Beachtung privater Rechte Dritter. Der Auftraggeber behält sich alle Rechte vor. Insbesondere darf dieser Bericht nur mit seiner Zustimmung ganz oder teilweise vervielfältigt werden.

Der Bericht gibt die Auffassung und Meinung des Auftragnehmers wieder und muss nicht mit der des BfS übereinstimmen.

BfS-RESFOR-90/14

Bitte beziehen Sie sich beim Zitieren dieses Dokumentes immer auf folgende URN:
urn:nbn:de:0221-2014051311415

Salzgitter, Mai 2014

Abschlussbericht
des Forschungsvorhabens StSch 3610S10001

**Analyse epigenetischer Effekte (microRNAs) in ehemaligen
Wismutbeschäftigten**

Laufzeit
01.12.2010 – 30.11.2011 (Verlängerung bis 31.05.2012)

Auftragnehmer

Institut für Arbeitsmedizin und Prävention der Deutschen Gesetzlichen
Unfallversicherung, Institut der Ruhr-Universität Bochum (IPA)
Berufsgenossenschaft Rohstoffe und chemische Industrie (BG RCI)

Projektleitung

Dr. Georg Johnen
Prof. Dr. Thomas Brüning

Fachbetreuung BfS

Dr. Maria Gomolka / AG SG 1.2

Inhalt

I	Kurzfassung	3
II	Kurzdarstellung der Vorgaben	4
II.1	Aufgabenstellung	4
II.2	Voraussetzungen, unter denen das Projekt durchgeführt wurde	4
II.3	Planung und Ablauf des Vorhabens	4
II.4	Wissenschaftlicher und technischer Stand, an den angeknüpft wurde	6
III	Eingehende Darstellung der einzelnen Projektteile	7
III.1	Methoden	7
III.2	Ergebnisse	10
III.3	Zusammenfassung und Diskussion der Ergebnisse	17
III.4	Voraussichtlicher Nutzen bzw. Verwertbarkeit der Ergebnisse	22
III.5	Fortschritte im Forschungsgebiet während der Durchführung des FE-Vorhabens	22
III.6	Erfolge und geplante Veröffentlichungen	22
IV	Erfolgskontrollbericht	22
IV.1	Beitrag der Ergebnisse zu den förderpolitischen Zielen des Förderprogramms	22
IV.2	Wissenschaftliche Ergebnisse und wesentliche Erfahrungen des Vorhabens	22
IV.3	Erfindungs-/Schutzanmeldungen, Fortschreibung des Verwertungsplans	22
IV.4	Arbeiten, die zu keinen Lösungen geführt haben	23
IV.5	Präsentationsmöglichkeiten	23
IV.6	Einhaltung der Ausgaben und Zeitplanung	23
IV.6.1	Zeitplan	23
IV.6.2	Finanzplan	23
V	Literatur	24
	Anhang	26

I Kurzfassung

Ziel der Studie war die Entwicklung und Etablierung einer Oligonukleotid-Microarray Methode zur Analyse der Expression von microRNAs (miRNAs) im Vollblut ehemaliger Uranbergarbeiter. Mittels der Microarrays wurden die Proben von hoch- und niedrigexponierten Probanden auf die Expression von 703 humanen miRNAs gescreent, um mögliche Biomarker einer Strahlenexposition zu identifizieren. Dazu wurden 60 RNA-Proben aus dem Projekt „Aufbau einer Bioproben-Bank von ehemaligen Beschäftigten der SAG/SDAG Wismut - Pilotstudie“ (StSch 3607S04532) mit den selbst hergestellten Microarrays analysiert und potentiell geeignete Biomarker anschließend mittels der quantitativen Real-Time PCR (qRT-PCR) verifiziert.

Durch das Screening konnte mit miRNA-548d-5p ein möglicher Biomarker identifiziert werden, der im Vergleich zwischen hoch- und niedrigexponierten Probanden eine signifikant veränderte Expression aufweist. In der Verifizierung mittels qRT-PCR zeigte sich zwar ebenfalls ein Unterschied zwischen den beiden untersuchten Gruppen, allerdings war dieser nicht signifikant.

Im Rahmen dieser Studie konnte die Oligonukleotid-Microarray Methode erfolgreich entwickelt und etabliert werden. Ein geeigneter Biomarker zur Unterscheidung von hoch- und niedrigexponierten Uranbergarbeitern konnte bisher allerdings nicht eindeutig identifiziert werden.

Aim of the study was the development and establishment of an oligonucleotide microarray for expression analysis of microRNAs (miRNAs) in whole blood of former uranium miners. To identify possible biomarkers of radiation exposure, samples of high- and low-exposed miners were screened with microarrays that carried 703 human miRNA probes. To that end, 60 RNA samples of the project “Creation of a biological sample and data collection of occupationally radiation-exposed workers (German Uranium Miners Biobank) – a pilot study” (StSch 3607S04532) were analyzed and potential biomarkers verified by quantitative real-time PCR (qRT-PCR). During the initial screening, mirRNA-548d-5p, showing a significantly altered expression between low- and high-exposed miners, was identified as a possible biomarker candidate. Verification by qRT-PCR confirmed the difference in expression, however, the result was not statistically significant.

Within the present study, the methodology of oligonucleotide microarrays was successfully developed and established. However, a suitable biomarker for the differentiation of low- and high-exposed uranium miners has not been identified yet.

II Kurzdarstellung der Vorgaben

II.1 Aufgabenstellung

In diesem Projekt sollte die miRNA-Expression in Blutproben von 60 ehemaligen strahlenexponierten Uranbergarbeitern der SAG/SDAG Wismut analysiert werden. Die Blutproben von Hochexponierten (> 750 Working Level Month (WLM)) und Niedrigexponierten (< 50 WLM) stammen aus dem Projekt „Aufbau einer Bioproben-Bank von ehemaligen Beschäftigten der SAG/SDAG Wismut - Pilotstudie“ (StSch 3607S04532). Im Rahmen dieses Projekts wurde die Gesamt-RNA bereits isoliert und in eine Bioprobenbank am Institut für Prävention und Arbeitsmedizin der Deutschen Gesetzlichen Unfallversicherung, Institut der Ruhr-Universität Bochum (IPA) eingelagert. Das miRNA-Screening der 60 Proben sollte mittels eines herzustellenden Oligonukleotid-Microarrays erfolgen. Anschließend sollte die Verifizierung der Ergebnisse mit der quantitativen Real-Time PCR (qRT-PCR) anhand einer ausgewählten Anzahl von individuellen miRNAs an den 60 Proben durchgeführt werden.

II.2 Voraussetzungen, unter denen das Projekt durchgeführt wurde

Die nichtkodierenden miRNAs gelten als potentielle Biomarker zur Diagnose und Früherkennung von Krebserkrankungen. Allerdings ist bisher wenig über entsprechende Biomarker einer Strahlenexposition beim Menschen bekannt. Bisherige Studien haben hauptsächlich den akuten Effekt einer Strahlenexposition auf die miRNA-Expression in humanen Zelllinien untersucht [1,2]. Daher bot sich für das bereits vorhandene Kollektiv von strahlenexponierten ehemaligen Uranbergarbeitern ein Screening mit validierten miRNAs an, um zu überprüfen ob sich Veränderungen in den miRNA-Expressionsmuster zur Identifizierung von Biomarkern eignen.

II.3 Planung und Ablauf des Vorhabens

Projektlaufzeit: 1.12.2010 - 30.11.2011

Kostenneutrale Verlängerung: bis 31.05.2012

Arbeitspaket 1

Geplanter Zeitraum: 12/2010 – 03/2011

- Etablierung/Anpassung der Oligonukleotid-Microarray-Herstellung
- Spotten der Oligonukleotid-Microarrays
- Testen der Oligonukleotid-Microarrays

Arbeitspaket 2

Geplanter Zeitraum: 04/2011 – 08/2011

- Testhybridisierung mit einer bestrahlten und einer nicht-bestrahlten Blutprobe
- Markierung und Hybridisierung der 60 Proben
- Messung und Vorauswertung der hybridisierten Microarrays
- Biostatistische Auswertung und Bestimmung signifikant veränderter miRNAs

Arbeitspaket 3

Geplanter Zeitraum: 09/2011 – 11/2012

- Validierung einzelner miRNAs in den 60 Proben
- Übergabe der Daten an das Bundesamt für Strahlenschutz (BfS)

Kick-Off Meeting

Termin: 28.06.2011 (Telefonkonferenz)

Teilnehmer: Frau Gomolka (BfS), Frau Walsh (BfS), Frau Danescu-Meyer (BfS), Herr Johnen (IPA) und Herr Weber (IPA)

Inhalte: Die Teilnehmer des BfS wurden vom IPA über die bereits durchgeföhrten Arbeiten seit Beginn des Projektes und die technisch bedingten Verzögerungen informiert.

Kostenneutrale Verlängerung: bis 31.05.2012

Aufgrund der technischen Probleme war die geplante zeitliche Aufteilung der drei Arbeitspakete nicht durchführbar. Daher wurden einzelne Arbeitsschritte aus späteren Arbeitspaketen vorgezogen und Arbeitsschritte wurden parallel bearbeitet. Zusätzlich wurde vom IPA eine kostenneutrale Verlängerung beantragt, die vom BfS genehmigt wurde.

II.4 Wissenschaftlicher und technischer Stand, an den angeknüpft wurde

Die im Uranbergbau vorkommenden Gefahrstoffe ionisierende Strahlung (Radon und Radonfolgeprodukte) sowie Arsen und Quarzfeinstaub gelten als Risikofaktoren für Lungenkrebs [3]. Um die Entstehung von Lungenkrebs durch diese Gefahrstoffe zu erforschen bietet sich eine Kohorte von etwa 200.000 ehemaligen Uranbergarbeitern der SAG/SDAG Wismut an. Durch die Zentrale Betreuungsstelle Wismut (ZeBWIS) bei der Deutschen Gesetzlichen Unfallversicherung (DGUV) werden den Personen nachgehende Untersuchungen angeboten. Für Personen mit einer Strahlenbelastung von unter 50 WLM erfolgt dies alle drei Jahre und für Personen mit über 50 WLM jährlich.

Bei den miRNAs handelt es sich um etwa 22 Nukleotide lange, nichtkodierende RNA-Moleküle die in die Regulation der Genexpression eingreifen. Durch spezifische Bindung der miRNAs an die 3'-Bereiche der messenger-RNA (mRNA) erfolgt eine Unterdrückung der mRNA-Translation durch Blockade der Ribosomen bzw. Abbau der mRNA. Die dadurch beeinflussten Vorgänge betreffen u.a. die Zelldifferenzierung, die Zellproliferation und den Zelltod. Die miRNAs regulieren aber nicht nur krebsrelevante Gene und Prozesse, sondern werden bei verschiedenen Tumoren und Tumorvorstufen spezifisch exprimiert. Somit dienen sie nicht nur der Erforschung von kanzerogenen Prozessen, sondern gelten auch als potentielle Biomarker zur Diagnose und Früherkennung von Krebserkrankungen.

Im Projekt „Aufbau einer Bioproben-Bank von ehemaligen Beschäftigten der SAG/SDAG Wismut - Pilotstudie“ (StSch 3607S04532) wurde im Rahmen der nachgehenden Untersuchungen von insgesamt 442 ehemals strahlensexponierten Bergarbeitern die Gesamt-RNA aus Blutproben ehemaliger Uranbergarbeiter isoliert und in eine Bioprobenbank am IPA eingelagert. Bereits während des Aufbaus der Bioprobenbank wurden in einem kleinen Subkollektiv von 30 Proben miRNAs mittels der qRT-PCR erfolgreich nachgewiesen. So konnte gezeigt werden, dass die Qualität des gewonnenen Probenmaterials prinzipiell für die Analyse von miRNAs geeignet ist [4]. Die Oligonukleotid-Microarrays eignen sich als Screeningtool zur Expressionsanalyse von miRNAs. So wurde am IPA bereits eine Studie mit kommerziell erhältlichen Microarrays durchgeführt, die zur Identifizierung der miRNA-103 als potentieller Biomarker für maligne Mesotheliome führte [5].

III Eingehende Darstellung der einzelnen Projektteile

III.1 Methoden

Studienkollektiv

Die Auswahl und das Matching der vorhandenen Proben aus dem Projekt StSch 3607S04532 erfolgte durch das BfS. Insgesamt wurden 60 männliche Probanden ausgewählt und in 30 Matchingpaare, bestehend aus jeweils einem hochexponierten ($WLM > 750$) und einem niedrigexponierten Probanden ($WLM < 50$), eingeteilt. Das Matching der Probanden erfolgte nach Alter und Rauchstatus der Probanden. Im Durchschnitt waren die männlichen Probanden 77 Jahre alt (73 - 81 Jahre) und 32 Probanden waren Ex-Raucher und 28 Probanden Nie-Raucher (Tabelle 1). Ein weiteres Kriterium zur Probandenauswahl war eine ausreichende Menge an isolierter Gesamt-RNA, die für die Hybridisierungen mindestens 2 µg betragen sollte.

Tab. 1: Studienkollektiv ehemaliger SAG/SDAG Wismut Beschäftigter

Matchingpaar	Hochexponierte Probanden				Niedrigexponierte Probanden			
	Probanden-ID	Exposition (WLM)	Geburtsdatum	Rauchstatus	Probanden-ID	Exposition (WLM)	Geburtsdatum	Rauchstatus
1	P056	> 750	31.01.29	Ex-Raucher	P386	8,98	04.01.29	Ex-Raucher
2	P207	1285,7	02.07.29	Ex-Raucher	P156	< 50	22.06.29	Ex-Raucher
3	P086	> 750	27.07.29	Ex-Raucher	P135	< 50	04.08.29	Ex-Raucher
4	P107	> 750	18.01.30	Nie-Raucher	P088	< 50	10.01.30	Nie-Raucher
5	P377	1136,9	04.03.30	Nie-Raucher	P348	15,4	08.02.30	Nie-Raucher
6	P096	> 750	09.05.30	Nie-Raucher	P344	4,0	28.06.30	Nie-Raucher
7	P024	> 750	22.11.30	Nie-Raucher	P194	< 50	23.10.30	Nie-Raucher
8	P034	> 750	30.06.31	Ex-Raucher	P111	< 50	21.07.31	Ex-Raucher
9	P321	1098,7	07.09.31	Ex-Raucher	P258	< 50	27.07.31	Ex-Raucher
10	P002	> 750	30.12.31	Ex-Raucher	P204	< 50	27.12.31	Ex-Raucher
11	P115	> 750	24.08.32	Ex-Raucher	P360	36,7	17.08.32	Ex-Raucher
12	P327	1030,5	03.10.32	Ex-Raucher	P027	< 50	15.09.32	Ex-Raucher
13	P264	> 750	13.10.32	Ex-Raucher	P214	19,79	17.09.32	Ex-Raucher
14	P038	> 750	17.12.32	Ex-Raucher	P212	38,53	07.12.32	Ex-Raucher
15	P192	> 750	15.03.33	Ex-Raucher	P151	< 50	17.03.33	Ex-Raucher
16	P218	782,3	03.07.33	Nie-Raucher	P105	< 50	20.03.33	Nie-Raucher
17	P201	1035,0	12.01.33	Nie-Raucher	P117	< 50	11.04.33	Nie-Raucher
18	P280	1240,5	03.04.33	Nie-Raucher	P020	< 50	23.04.33	Nie-Raucher
19	P362	1143,5	20.02.34	Nie-Raucher	P247	39,7	29.01.34	Nie-Raucher
20	P058	> 750	07.04.34	Nie-Raucher	P302	26,33	17.04.34	Nie-Raucher
21	P052	> 750	21.05.34	Ex-Raucher	P300	28,2	20.05.34	Ex-Raucher
22	P346	915,71	22.12.34	Ex-Raucher	P389	7,7	21.12.34	Ex-Raucher
23	P388	927,05	30.05.35	Ex-Raucher	P371	2,3	23.05.35	Ex-Raucher
24	P365	834,63	14.05.35	Nie-Raucher	P113	< 50	22.09.35	Nie-Raucher
25	P356	959,5	12.07.35	Nie-Raucher	P155	< 50	20.10.35	Nie-Raucher
26	P332	948,76	25.09.35	Nie-Raucher	P158	< 50	15.12.35	Nie-Raucher
27	P062	1019,8	16.02.36	Nie-Raucher	P369	32,08	01.02.36	Nie-Raucher
28	P061	1006,8	23.01.36	Ex-Raucher	P120	< 50	23.02.36	Ex-Raucher
29	P050	> 750	14.06.36	Nie-Raucher	P044	< 50	09.07.36	Nie-Raucher
30	P347	820,36	03.11.36	Ex-Raucher	P244	11,4	05.11.36	Ex-Raucher

Herstellung von Microarrays

Für das miRNA-Screening wurden selbstgespottete Oligonukleotid-Microarrays verwendet. Das verwendete Sondenset NCode Human microRNA Microarray Probe Set V3 (Life Technologies) bestand aus insgesamt 703 validierten humanen miRNAs, 393 nicht-validierten miRNAs und 102 Kontrollen (siehe Anhang 1). Zur

Fokussierung auf die validierten humanen miRNAs wurde zunächst eine Komplexreduktion durchgeführt, so dass schließlich 703 humane miRNAs, sowie 34 nicht-validierte miRNAs und zwölf Kontrollen gespottet wurden. Die Oligonukleotid-Sonden wurden im Spotpuffer Nexterion Spot (Schott) aufgenommen und als Triplikate auf die Epoxyd-silan-beschichteten Glasobjektträger Nexterion E (Schott) mittels des Spotters Microgrid Compact (Biorobotics) gespottet. Das Microarray-Layout umfasste zwei identische Grids bestehend aus 16 Subgrids, die jeweils 144 (12x12) Spots beinhalten (Abbildung 1).

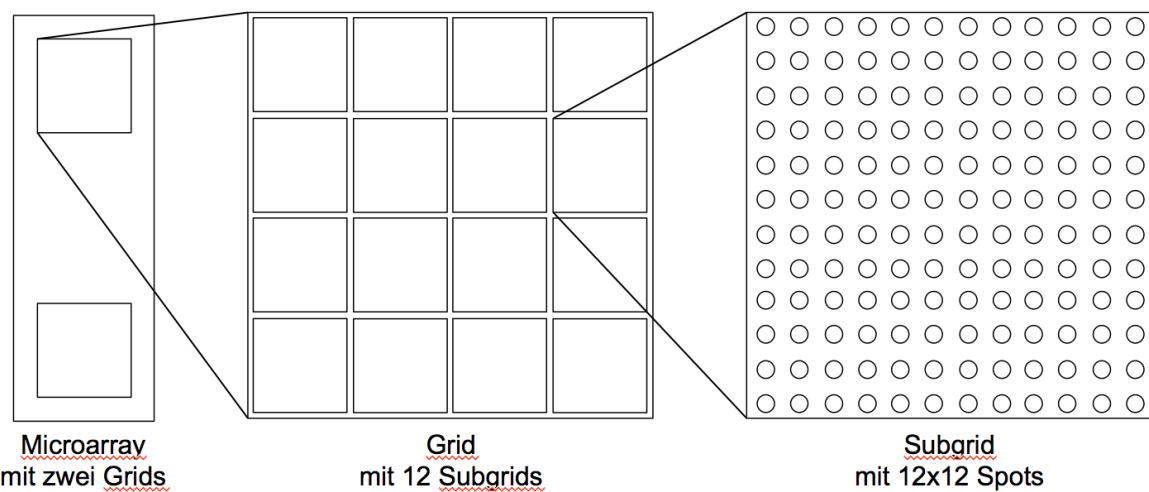


Abb. 1: Layout der Oligonukleotid-Microarrays

Markierung der Gesamt-RNA

Die Markierung von 0,5 µg Gesamt-RNA pro Ansatz erfolgte mittels Fluoreszenzfarbstoff-markierter Dinukleotide pCCp-Cy3 und pCCp-Cy5 (Eurogentec) nach dem miRNA Microarray System Protokoll (Agilent Technologies). Der sogenannte color-switch sollte zur Qualitätskontrolle und zum Ausgleich von möglichen Farbstoffeffekten durchgeführt werden, indem jede Probe zunächst mit Cy3 markiert und hybridisiert wurde und dann der gleiche Ablauf mit Cy5 als Marker wiederholt wurde. Die relativen Signalstärken der Spots auf dem Array sollten dabei für beide Farbstoffe ähnlich sein.

Hybridisierung und Scannen

Die Hybridisierung erfolgte in der automatischen Hybridisierungsstation HS 400 Pro (Tecan) [6]. Das Scannen der hybridisierten Microarrays wurde mit dem Axon

GenePix Scanners 4000B (Molecular Probes) bei einer Wellenlänge von 532 nm für Cy3 und 635 nm für Cy5 durchgeführt.

Testhybridisierung

Zur Qualitätskontrolle der angewendeten Microarray-Methode wurde eine bestrahlte und eine nicht-bestrahlte Blutprobe analysiert. Zu diesem Zweck wurde EDTA-Vollblut im BfS *ex vivo* mit einer Cs-137-Quelle (HWM 2000) mit 4 Gy bestrahlt, für sechs Stunden bei 37 °C inkubiert und abschließend in ein PAXgene Tube überführt. Der Versand der Blutproben an das IPA erfolgte per Post. Die Probengewinnung und der Versand erfolgte analog zu der etablierten Methodik aus dem Projekt „Aufbau einer Bioproben-Bank von ehemaligen Beschäftigten der SAG/SDAG Wismut - Pilotstudie“ (StSch 3607S04532). Die Isolation und Markierung der RNA sowie die Microarray-Anwendung erfolgten nach den in dieser Studie etablierten Protokollen.

Datenanalyse

Die Datenanalyse erfolgte mittels der Software GeneSpring GX 12.0 (Agilent Technologies). Spotsignale < 0,01 wurden auf den Minimalwert 0,01 gesetzt. Die Normalisierung basierte auf dem 50. Perzentil. Als potentielle Biomarker wurden miRNAs mit einem sogenannten *fold change* von $\geq 3,0$ ausgewählt, der auf eine veränderte Expression zwischen den beiden Gruppen hindeutet [5]. Anschließend erfolgte die hierarchische Clusteranalyse (Methode: Ward, Maß: Euklidische Distanz). Statistisch signifikante Unterschiede zwischen Hoch- und Niedrigexponierten wurden mittels des Mann-Whitney Tests inklusive der Benjamini-Hochberg False Discovery Rate zur p-Wert Korrektur berechnet. Die miRNAs, die einen geringen *fold change* zwischen 1,01 und -1,01 aufwiesen, wurden als potentielle Referenzen ausgewählt.

microRNA-Verifizierung

Sechs signifikant veränderte miRNAs als potentielle Marker und zwei nicht veränderte miRNAs als potentielle Referenzen wurden zwecks Verifizierung in Einzelmessungen mittels qRT-PCR in den 60 Proben erneut bestimmt. Die miRNA-Analyse erfolgte auf dem 7900 HT Fast Real-Time PCR System (Life Technologies) mittels der kommerziellen TaqMan miRNA-Assays nach Angaben des Herstellers (Life Technologies). Zu diesem Zweck wurde die Gesamt-RNA 1:10 verdünnt und als

Template für die RT-Reaktion wurden 2 µl RNA und für die PCR-Reaktion 5 µl cDNA verwendet. Die Normalisierung erfolgte mittels der dCt-Methode [7].

III.2 Ergebnisse

Testhybridisierung

Die RNA wurde aus der bestrahlten und der nicht-bestrahlten Blutprobe isoliert. Die Konzentration und Reinheit ($OD_{260/280}$ -Verhältnis) der isolierten Gesamt-RNA lagen bei der bestrahlten Probe bei 93,5 ng/µl bzw. 2,1 und bei der nicht-bestrahlten Probe bei 94,2 ng/µl bzw. 2,1.

Die markierte Gesamt-RNA konnte erfolgreich auf den Oligonukleotid-Microarrays hybridisiert werden. Insgesamt zeigten von den humanen miRNAs 558 eine veränderte Expression im Vergleich zwischen der bestrahlten und der nicht-bestrahlten Blutprobe. Davon waren 380 in der bestrahlten Probe hochreguliert und 178 in der bestrahlten Probe runterreguliert (siehe Anhang 2). Eine genauere Datenanalyse und eine statistische Auswertung auf signifikante Änderungen der miRNA-Expression ist allerdings aufgrund der geringen Probenzahl ($N=1$) nicht möglich.

RNA-Probenmaterial

Die zur Verfügung stehende Menge an isolierter Gesamt-RNA für die Fluoreszenz-Markierung und der qRT-PCR betrug im Durchschnitt 1,8 µg (0,39 - 4,14 µg), (Abbildung 2).

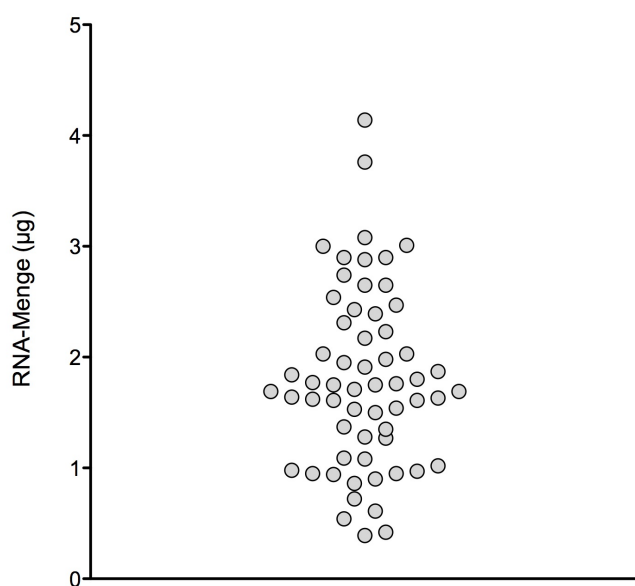


Abb. 2: RNA-Menge in den ausgewählten 60 Proben.

Das OD_{260/280}-Verhältnis als Maß für die RNA-Reinheit lag im Durchschnitt bei 2,10 (1,98 - 2,62) und der RIN-Wert als Maß für RNA-Integrität bei 8,0 (5,7 - 9,2).

Von jeder Probe wurde ein Aliquot (10 µl) zurück behalten, um die abschließende Verifizierung der acht ausgewählten miRNAs mittels der qRT-PCR durchzuführen.

Fluoreszenzmarkierung

Für 40 der insgesamt 60 Proben waren die notwendigen 2 µg Gesamt-RNA für zwei Markierungsansätze mit Cy3 und Cy5 nicht vorhanden. Um eine kontinuierliche Menge an Gesamt-RNA für möglichst viele Proben zu gewährleisten wurden zur Markierung der Proben statt 1,0 µg Gesamt-RNA pro Markierungsansatz (Cy3 und Cy5) nur 0,5 µg eingesetzt. Bei zwölf Proben lag die vorhandene Menge an Gesamt-RNA unter 1,0 µg.

Hybridisierung

Zur Markierung werden fluoreszenzmarkierte Dinukleotide benötigt. Diese werden kommerziell synthetisiert. Im Verlauf des Projektes zeigte sich, dass die Ausbeute der aktuellen kommerziellen Synthese, im Gegensatz zu früheren Lieferungen, unzureichend war, so dass eine effiziente Markierung der miRNAs mit Cy3 bzw. Cy5 nicht gewährleistet werden konnte. Auch alternative Ansätze mit fluoreszenzmarkierten Pentanukleotiden (Integrated DNA Technologies) führten zu keiner Verbesserung der Syntheseausbeuten und dementsprechend zu keiner Verbesserung der Markierungs- bzw. Hybridisierungseffizienz (Daten nicht gezeigt). Die Markierung mit Cy3 wurde daher mit einer älteren, am IPA noch vorhandenen Charge durchgeführt, die eine ausreichend hohe Syntheseausbeute aufwies. Alle Proben konnten so erfolgreich mit dem Fluoreszenzfarbstoff Cy3 markiert und hybridisiert werden.

Die selbst gespotteten Microarrays waren durch homogene Spotmorphologien, ausreichend hohe Spotsignale und ein niedriges Hintergrundsignal gekennzeichnet, wenn Cy3-Dinukleotide bei der Markierung verwendet wurden (Abbildung 3).

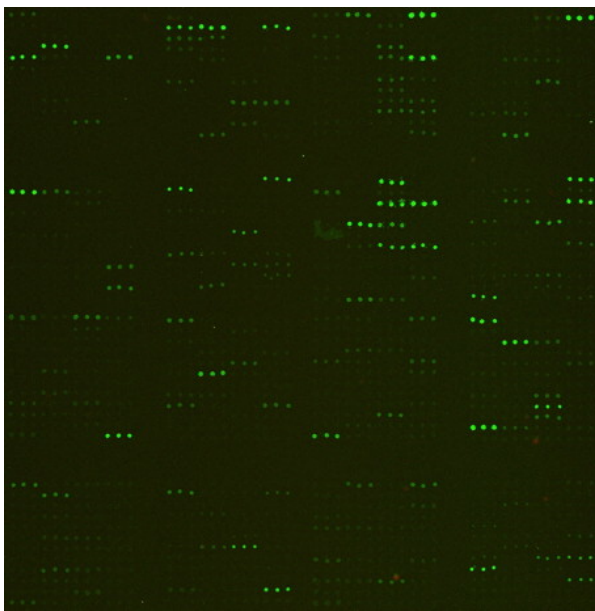


Abb. 3: Ergebnis der Hybridisierung mit Cy3-Markierung (Probe P052)

Die Markierung derselben Proben mit dem Fluoreszenzfarbstoff Cy5 hingegen führte zu deutlich weniger Spotsignalen auf den Microarrays. Ebenso waren die Signalintensitäten der vorhandenen Spots bei der Cy5-Markierung durchgehend geringer als bei der Cy3-Markierung (Abbildung 4). Daher wurde bei den zwölf Proben mit weniger als 1,0 µg Gesamt-RNA die Markierung mit Cy5 nicht durchgeführt, um das wertvolle Probenmaterial nicht zu verbrauchen.

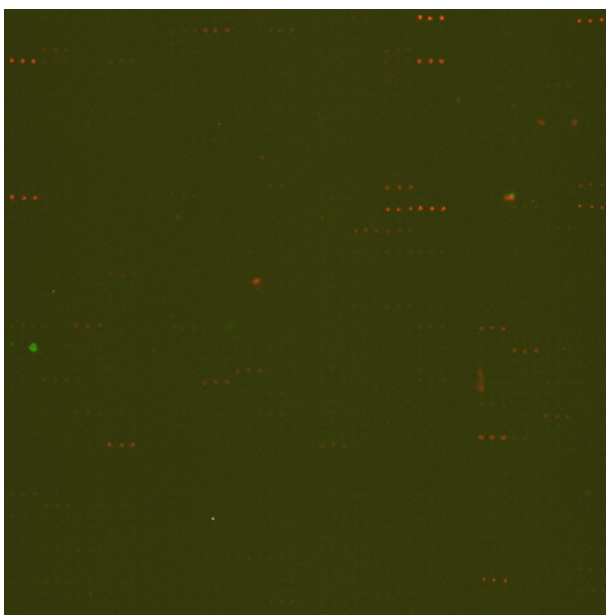


Abb. 4: Ergebnis der Hybridisierung mit Cy5-Markierung (Probe P052)

Zur Analyse der miRNA-Expression wurden ausschließlich die Ergebnisse der Hybridisierung mit Cy3-markierter Gesamt-RNA verwendet, da nur dieser Ansatz auswertbare Ergebnisse lieferte.

MiRNAs als potentielle Biomarker

Von den insgesamt 703 humanen miRNAs zeigten 16 miRNAs eine veränderte Expression bei hochexponierten Probanden im Vergleich zu niedrigexponierten Probanden (*fold change* $\geq 3,0$). Die drei miRNAs miRNA-196a*, miRNA-198 und miRNA-453 waren in der hochexponierten Probandengruppe hochreguliert und die 13 miRNAs miRNA-24-2, miRNA-33b, miRNA-62, miRNA-100*, miRNA-147, miRNA-218-2*, miRNA-222, miRNA-450b-3p, miRNA-548d-5p, miRNA-560, miRNA-581, miRNA-598 und miRNA-801 runterreguliert (Abbildung 5).

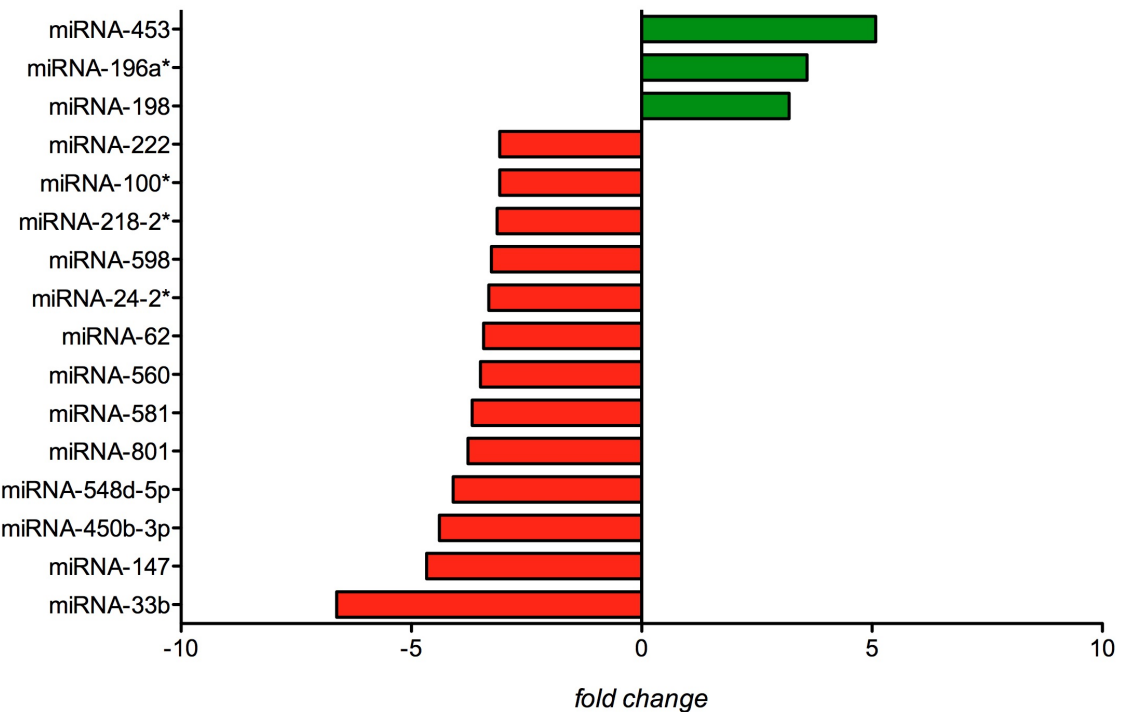


Abb. 5: Hoch- und runterregulierte miRNAs bei hochexponierten Probanden im Vergleich zu niedrigexponierten Probanden.

Clusteranalyse

Die Clusteranalyse der 16 miRNAs mit einem *fold change* $\geq 3,0$ zeigte keine Gruppierung von hoch- oder niedrigexponierten Probanden anhand der miRNA-

Expression, so dass keine expositionsspezifische Muster anhand der Heat map zu erkennen sind (Abbildung 6).

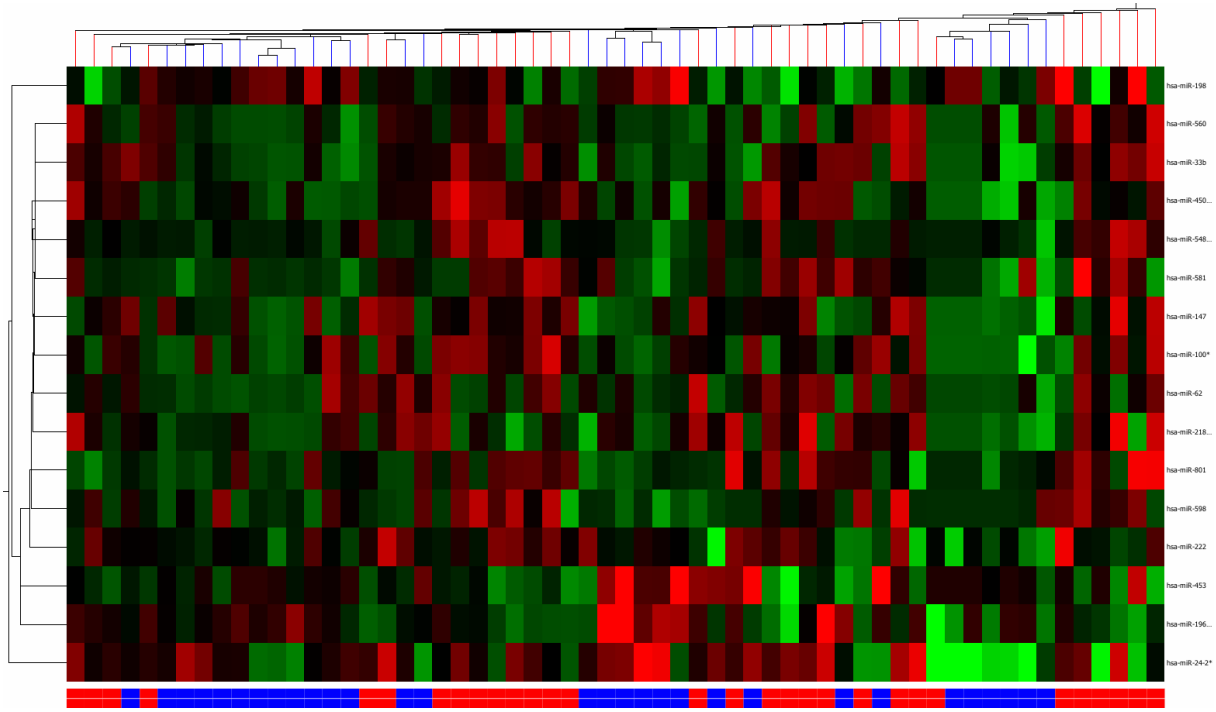


Abb. 6: Heatmap von 16 miRNAs bei hoch- und niedrigexponierten ehemaligen Bergbauarbeitern (rot: Hochexponierte, blau: Niedrigexponierte).

Mittels des Mann-Whitney Tests inklusive der Benjamini-Hochberg False Discovery Rate zur p-Wert Korrektur wurde die Expression der 16 miRNAs auf signifikante Unterschiede zwischen Hoch- und Niedrigexponierten getestet. Für neun der 16 miRNAs konnte ein statistisch signifikanter Unterschied ($p < 0,05$) gezeigt werden (Tabelle 2).

Tabelle 2: Signifikant veränderte miRNAs in hochexponierten Probanden im Vergleich zu niedrigexponierten Probanden.

miRNA	fold change	p-Wert (korrigiert)	Regulation
miRNA-453	5,08	< 0,0001	Hoch
miRNA-33b	-6,62	< 0,0001	Runter
miRNA-62	-3,43	0,0101	Runter
miRNA-147	-4,67	< 0,0001	Runter
miRNA-450b-3p	-4,39	0,0101	Runter
miRNA-548d-5p	-4,09	< 0,0001	Runter
miRNA-581	-3,68	0,0202	Runter
miRNA-598	-3,26	0,0202	Runter
miRNA-801	-3,77	0,0303	Runter

Von den drei hochregulierten miRNAs in der hochexponierten Probandengruppe zeigte nur miRNA-453 eine signifikante Veränderung. Von den 13 miRNAs, die in der hochexponierten Probandengruppe runterreguliert waren, zeigten die acht miRNAs miRNA-33b, miRNA-62, miRNA-147, miRNA-450b-3p, miRNA-548d-5p, miRNA-581, miRNA-598 und miRNA-801 einen statistisch signifikanten Unterschied.

Zur Verifizierung mittels qRT-PCR wurden von den insgesamt neun signifikant veränderten miRNAs die sechs miRNAs miRNA-33b, miRNA-147, miRNA-450b-3p, miRNA-453, miRNA-548d-5p und miRNA-581 ausgewählt. Die Auswahl erfolgte anhand möglichst niedriger p-Werte, das zweite Kriterium war ein möglichst hoher *fold change*, allerdings war für miRNA-62 kein kommerzieller Assay erhältlich. Als einzige signifikant hochregulierte miRNA wurde miRNA-453 direkt ausgewählt.

miRNAs als potentielle Referenzen

Von den insgesamt 703 miRNAs wiesen 20 miRNAs (let-7g, miRNA-30a*, miRNA-30e*, miRNA-31, miRNA-135b, miRNA-150*, miRNA-155*, miRNA-192*, miRNA-216a, miRNA-301a, miRNA-302c, miRNA-431*, miRNA-485-3p, miRNA-500, miRNA-512-3p, miRNA-516a-3p, miRNA-620, miRNA-623, miRNA-672 und miRNA-767-3p) eine kaum veränderte Expression (*fold change* zwischen 1,01 und -1,01) im Vergleich der hochexponierten und der niedrigexponierten Probanden auf und wurden daher als potentielle Referenzen ausgewählt. Als Maß für eine gleichförmige Expression über die komplette Studiengruppe von hoch- und niedrigexponierten Probanden kann die Standardabweichung (SD) verwendet werden. Von den 20 miRNAs wiesen die beiden miRNAs miR-30e* und miR-302c die geringste SD-Werte auf (Tabelle 3) und wurden dementsprechend zur weiteren Verifizierung mittels qRT-PCR ausgewählt.

Tabelle 3: Standardabweichung (SD) der 20 miRNAs mit einem *fold change* zwischen 1,01 und -1,01.

microRNA	SD
miR-30e*	1,957
miR-302c	2,047
miR-512-3p	2,055
miR-620	2,259
miR-431*	2,272
miR-192*	2,303
miR-767-3p	2,325
miR-485-3p	2,327
miR-30a*	2,349
miR-31	2,352
miR-500*	2,505
miR-301a	2,586
miR-135b	2,592
miR-672	2,595
miR-216a	2,734
miR-623	2,756
miR-155*	3,187
miR-150*	3,197
let-7g	3,388
miR-516a-3p	3,518

Verifizierung mittels der qRT-PCR

Fünf der sechs miRNAs (miRNA-33b, miRNA-147, miRNA-450b-3p, miRNA-453 und miRNA-581), die aus den Microarray-Daten als potentielle Biomarker für die nachfolgende Verifizierung selektiert worden waren, sowie eine der beiden potentiellen Referenzen (miR-302c) konnten in den ersten zehn untersuchten Proben mit der qRT-PCR nicht nachgewiesen werden ($Ct > 35$). Um das wertvolle Material an Gesamt-RNA der im Projekt StSch 3607S04532 gewonnenen Proben nicht zu verbrauchen, wurde daher keine weitere Messung in den übrigen Proben durchgeführt.

Die miRNAs miRNA-548d-5p als potentieller Biomarker und miRNA-30e* als potentielle Referenz wurden hingegen erfolgreich in allen 60 Proben gemessen.

Mittels der dCt-Methode ($dCt = Ct_{miRNA-548d-5p} - Ct_{miRNA-30e^*}$) wurden die Werte für den potentiellen Biomarker miRNA-548d-5p mit miRNA-30e* als Referenz normalisiert. Die Ergebnisse für die hoch- und die niedrigexponierten Probanden sind in Abbildung 6 dargestellt.

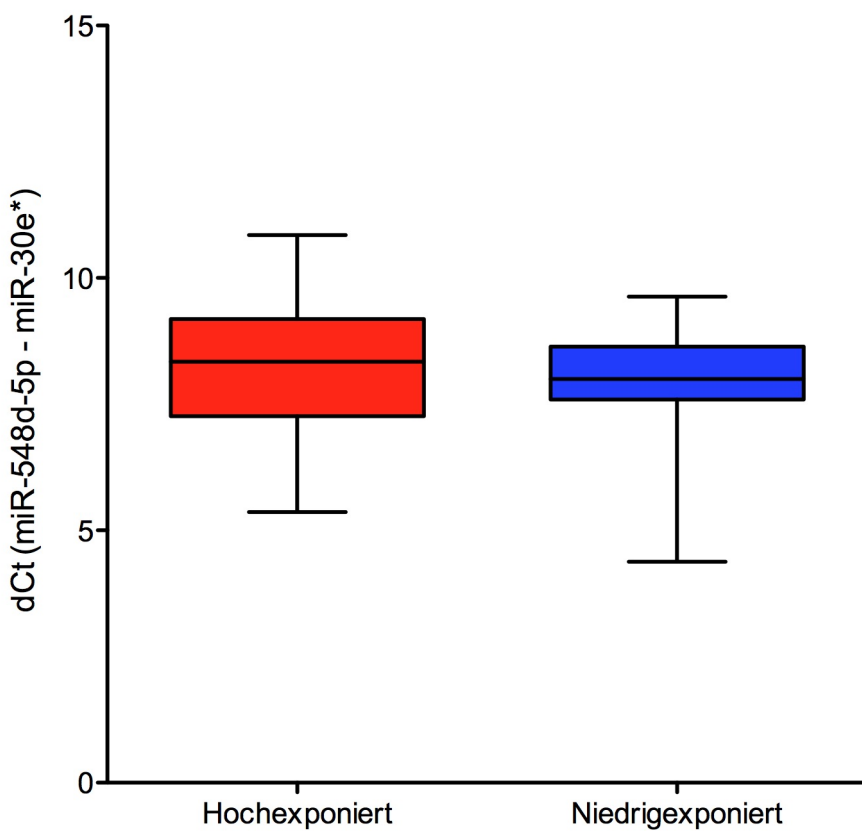


Abb. 6: Normalisierte miRNA-548d-5p-Expression bei hochexponierten (rot) und niedrigexponierten (blau) Probanden.

Der Unterschied zwischen den beiden Gruppen ist gering. So beträgt der Mittelwert bei den Hochexponierten 8,24 (5,36 - 10,85) und bei den Niedrigexponierten 8,00 (4,38 - 9,63). Dies entspricht einer Runterregulierung von miRNA-548d-5p bei den hochexponierten Probanden. Die Ergebnisse des Screenings mittels Oligonukleotid-Microarrays wurden somit zwar prinzipiell bestätigt, allerdings ist der Unterschied statistisch nicht signifikant ($p = 0,2612$).

III.3 Zusammenfassung und Diskussion der Ergebnisse

Die Auswirkungen von Strahlung auf die miRNA-Expression wurden bisher vor allem in Zellkultur-Experimenten untersucht. Dabei konnte eine durch Strahlung veränderte Expression einzelner miRNAs beobachtet werden [1,2,8-10]. Ein kürzlich publizierter Artikel von Templin et al. zeigt zudem erstmalig den Effekt von Strahlung auf die miRNA-Expression im menschlichen Körper. So waren im Vollblut von acht Probanden, vier Stunden nach einer Strahlenexposition von 1,25 Gy, insgesamt 45 miRNAs hochreguliert [11]. Allerdings wurde dabei ausschließlich die unmittelbare

Wirkung der Strahlung auf die Expression der miRNAs untersucht, bei der es sich auch um eine akute Antwort auf den zellulären Stress handeln könnte. Veränderungen der miRNA-Expressionen aufgrund von zellulärem Stress sind bereits beschrieben worden [12]. Auch die in der Testhybridisierung gezeigte hohe Anzahl von 558 veränderten miRNAs deuten auf eine akute Antwort auf zellulären Stress hin, der durch die Strahlung hervorgerufenen wurde. Für einen Vergleich mit bereits in der Literatur beschriebenen miRNAs müsste der Versuch aber erst mit einer größeren Anzahl von bestrahlten und nicht-bestrahlten Blutproben wiederholt werden, da es sich bei einigen Signalen auch um falsch-positive Ergebnisse handelt könnte. Das erzielte Ergebnis ist nur ein Hinweis, da die Probenanzahl N=1 betrug und eine sinnvolle statistische Auswertung der Microarray-Ergebnisse somit nicht möglich ist. Vielmehr sollte das Experiment nur bestätigen, dass das verwendete Verfahren grundsätzlich Unterschiede in der miRNA-Expression in Blutproben detektieren kann.

Zum jetzigen Zeitpunkt gibt es aber keine Kenntnisse über die Wirkung einer langjährig zurückliegenden Strahlenexposition auf die miRNA-Expression im menschlichen Körper. Lediglich in Mäusen gibt es Hinweise auf Langzeiteffekte von Strahlung auf miRNA-Levels und DNA-Methylierung, die sogar durch die Keimbahn auf die nächste Generation übertragen werden können [13]. Das Ziel dieser Studie war daher die Identifizierung von einzelnen miRNAs die eine veränderte Expression bezüglich der Strahlenexposition aufweisen.

Die Qualität der in der Probenbank gelagerten Gesamt-RNA aus PAXgene-stabilisiertem Vollblut ist prinzipiell für die Analyse von miRNAs mittels qRT-PCR geeignet. Dies wurde im Rahmen des Projekts „Aufbau einer Bioproben-Bank von ehemaligen Beschäftigten der SAG/SDAG Wismut - Pilotstudie“ (3607S04532) durch den Nachweis von miRNA-26a und miRNA-26b gezeigt [4]. Auch aktuelle Wiederholungsmessungen zeigen, dass die beiden miRNAs miRNA-26a und miRNA-26b in den seit 2009 gesammelten und in der Bioprobenbank gelagerten Proben weiterhin nachweisbar sind (Daten nicht gezeigt). Daher erscheint die Qualität der in der Bioprobenbank eingelagerten Proben für eine miRNA-Expressionsanalyse geeignet.

Die erste Stufe des Projekts umfasste ein Screening von insgesamt 60 Proben, 30 Proben von hochexponierten Probanden ($WLM > 750$) und 30 Proben von

niedrigexponierten Probanden (WLM < 750). Zu diesem Zweck wurden die in eigener Produktion erfolgreich hergestellt Microarrays verwendet. Die Kombination aus verwendeten Epoxy-beschichteten Glasobjektträgern und dem verwendeten Sondenset im Spotpuffer Nexterion Spot zeichnete sich dabei durch homologe Spotmorphologien, hohe Spotsignale und ein geringes Hintergrundsignal aus. Die Verwendung von fluoreszenzmarkierten Dinukleotiden zur Markierung der miRNAs hingegen war nicht zufriedenstellend. Dies zeigte sich anhand der durchgeführten Qualitätssicherung mittels des color-switch im direkten Vergleich der Cy3- mit der Cy5-Markierung. Die Versuche mit dem Cy5-Fluoreszenzfarbstoff zeigten kaum auswertbare Signale, die dementsprechend nicht zur Analyse geeignet waren. Diese Markierungsmethode war kurz zuvor noch erfolgreich in einer Studie des IPA angewendet worden [5]. Jedoch traten beim kommerziellen Anbieter Probleme mit der Ausbeute bei der Synthese der fluoreszenzmarkierten Dinukleotide pCCp-Cy3 und pCCp-Cy5 auf. Aufgrund einer Umstellung des Syntheseverfahrens war die Ausbeute für die geplante Anwendung nicht ausreichend. Auch der Versuch, alternative Anbieter zu finden, die mit anderen Synthesemethoden arbeiten, brachte keine nennenswerte Verbesserung der Ausbeute, ebenso wie die Verwendung von Pentanukleotiden statt Dinukleotiden (Daten nicht gezeigt). Durch die Verwendung von noch vorhandenen fluoreszenzmarkierten Dinukleotiden aus einer älteren Studie konnten aber die Versuchsansätze zumindest für die Cy3-Markierung in allen Proben durchgeführt werden.

Im Rahmen dieses Projekts konnten so im Screening mittels Oligonukleotid-Microarrays insgesamt 16 miRNAs identifiziert werden, die eine unterschiedliche Expression im Vergleich von hoch- und niedrigexponierten Probanden aufwiesen. Die Clusteranalyse zeigte dabei aber keine eindeutige Trennung von Hoch- und Niedrigexponierten anhand der Expressionsmuster der 16 miRNAs.

Die miRNAs wurden mittels der qRT-PCR einem Verifizierungsschritt unterzogen, um geeignete Marker zu identifizieren. Zu diesem Zweck wurden sechs miRNAs, die einen statistisch signifikanten Unterschied zwischen Hoch- und Niedrigexponierten im Screening zeigten, ausgewählt und mittels qRT-PCR gemessen, ebenso wie zwei weitere miRNAs, die als Referenzen verwendet werden sollten. Allerdings ließen sich in den Proben nur zwei der insgesamt acht miRNAs nachweisen. Bei den übrigen sechs miRNAs handelt es sich dementsprechend um falsch-positive Ergebnisse des

Microarray-Experiments. Ein bekanntes Problem des Screening mit Microarrays ist, dass dieser rein qualitative Nachweis methodenbedingt unspezifische Bindungen von verwandten Sequenzen ermöglicht [14] und so zu falsch-positiven Signalen führen kann. Da eine Vielzahl von miRNAs sich in ihrer Sequenz um nur eine Base voneinander unterscheiden, wie z.B. miRNA-103 (5'-agcagcauuguacagggcuauga-3') und miRNA-107 (5'-agcagcauuguacagggcuauca-3'), und eine Diskriminierung von einer Base über die gesamte Anzahl an Sonden mittels Microarray methodenbedingt aber nicht möglich ist [15], ist eine anschließende Überprüfung der Ergebnisse mit einer geeigneten Methode wie der qRT-PCR zur Qualitätssicherung unbedingt notwendig.

Die miRNAs miRNA-548d-5p als potentieller Marker und miRNA-30e* als potentielle Referenz waren als einzige der acht ausgewählten Kandidaten für den Verifizierungsschritt in allen Proben nachweisbar. Allerdings konnte nach Normalisierung des Markers mit der Referenz zwar ebenfalls ein Trend für eine Hochregulierung von miRNA-548d-5p in der Gruppe der Hochexponierten gezeigt werden, aber der Unterschied zwischen hoch- und niedrigexponierten Probanden war statistisch nicht signifikant. Ein solches Ergebnis ist nicht untypisch für einen solchen Versuchsansatz und zeigt, dass eine Verifizierung der im Screening erzielten Ergebnisse unbedingt notwendig ist [4,16]. Auch in den Strahlenexpositionsexperimenten mit menschlichen Zelllinien wurden ähnliche Diskrepanzen bei der Verifizierung der Microarray-Ergebnisse mittels der qRT-PCR beschrieben [1]. Um die Spezifität beim Microarray-Screening zu erhöhen würde sich als alternativer Ansatz die Verwendung von sogenannten LNA-Sonden (Locked Nucleic Acids) anbieten. Bei der Bindung von komplementärer Probanden-DNA an die LNA-Sonden entstehen relativ stabile Hybride aus LNA und DNA, die einen einheitlichen Schmelzpunkt über das komplette Sondenset ($T_m = 72^\circ\text{C}$) aufweisen. Bei den herkömmlichen DNA-Sonden variiert der Schmelzpunkt der einzelnen Hybriden hingegen in Abhängigkeit von der Sequenz stark (T_m zwischen 45°C und 75°C). Mittels solcher LNA-Sonden wird die Spezifität, aber auch die Sensitivität im Vergleich zu den DNA-Sonden erhöht. Allerdings betragen die Kosten eines LNA-Sondensets rund das Vierfache eines DNA-Sondensets.

Das Primärziel, die Entwicklung und Etablierung eines funktionsfähigen miRNA-Microarrays zur Analyse von Blutproben, konnte mit der vorliegenden Studie erreicht

werden. Aufgrund der Problematik der reduzierten Markierungseffizienz konnte aber nicht eindeutig beantwortet werden, ob miRNAs prinzipiell als potentielle Biomarker einer zurückliegenden Strahlenexposition in Frage kommen. Bei einer höheren Markierungseffizienz hätten möglicherweise mehr potentielle Kandidaten gefunden werden können. Auch steigt die Zahl neu entdeckter miRNAs weiterhin ständig (www.mirbase.org), so dass ein erweitertes Screening in Zukunft mehr mögliche miRNA-Kandidaten testen könnte. Immerhin konnte eine geringfügige Änderung der Expression zwischen hoch- und niedrigexponierten Probanden für miRNA-548d-5p gezeigt werden, allerdings war der Unterschied statistisch nicht signifikant. Die identifizierte miRNA wurde bisher noch nicht im Zusammenhang mit einer Strahlenexposition beschrieben. Generell ist wenig über miRNA-548d-5p bekannt. So wurde bislang nur eine veränderte Expression aufgrund einer Chemotherapie bei Speisenröhrenkrebs beschrieben [17].

Verschiedene publizierte Experimente erlauben den Rückschluss, dass eine Strahlenexposition Auswirkung auf die miRNA-Expression zeigen [1,2,8,9,11]. Allerdings zeigen die unterschiedlichen miRNA-Messungen bei strahlenrelevanten Experimenten nur geringfügige Überschneidungen. Diese geringen Überschneidungen sind vor allem auf unterschiedliche Untersuchungsmaterialien, Analysemethoden, Strahlendosen und Expositionszeiten zurückzuführen [18]. Allerdings wurden immerhin insgesamt 24 miRNAs in drei unabhängigen Studien identifiziert, die nach ionisierende Strahlenexposition signifikant veränderte Expressionen aufwiesen [18]. Die in dieser Studie identifizierte miRNA-548d-5p ist zwar nicht unter den 24 miRNAs, allerdings handelt es sich bei den durchgeföhrten Untersuchungen ausschließlich um akute Expositionen und nicht um eine um Jahre zurückliegende Exposition.

Daher würde es Sinn ergeben, diese 24 miRNAs, die durch eine akute Strahlenbelastung eine veränderte Expression aufweisen, in dem vorhandenen Kollektiv mittels qRT-PCR zu analysieren, um zu erkennen, ob auch bei den Probanden mit einer langjährig zurückliegenden Strahlenbelastung unterschiedliche Expressionen bezüglich der Strahlenexposition auftreten.

III.4 Voraussichtlicher Nutzen bzw. Verwertbarkeit der Ergebnisse

Die erzielten Ergebnisse zeigen, dass die vorhandenen Proben prinzipiell für diese Fragestellung geeignet sind. Mit der Anwendung von geeigneteren Screening-Methoden wie der qRT-PCR im Multiplexverfahren oder LNA-Sonden-Arrays (welche jedoch im Vergleich zu den Microarrays mit deutlich höheren Kosten verbunden sind) könnten die gegebene Fragestellung unter Umständen besser beantwortet werden.

III.5 Fortschritte im Forschungsgebiet während der Durchführung des FE-Vorhabens

Während des Projektes sind diverse Publikationen bezüglich der Wirkung von Strahlung auf die miRNA-Expression erschienen [8,9,11,19]. Die Ergebnisse dieser Studien wurden dementsprechend in der Diskussion der erzielten Ergebnisse mit einbezogen.

III.6 Erfolge und geplante Veröffentlichungen

Die Ergebnisse sollen auf der 53. Jahrestagung der DGAUM in Bregenz (2013) vorgestellt werden. Weitere Publikationen sind derzeit nicht geplant.

IV Erfolgskontrollbericht

IV.1 Beitrag der Ergebnisse zu den förderpolitischen Zielen des Förderprogramms

IV.2 Wissenschaftliche Ergebnisse und wesentliche Erfahrungen des Vorhabens

IV.3 Erfindungs-/Schutzanmeldungen, Fortschreibung des Verwertungsplans

Zum jetzigen Zeitpunkt des Projekts sind keine Erfindungs-/Schutzanmeldungen geplant. Das aufbereitete und eingelagerter Probenmaterial sowie die bisherigen Analyseergebnisse bilden eine gute Ausgangsbasis für weitere Analysen und Forschungsansätze.

IV.4 Arbeiten, die zu keinen Lösungen geführt haben

Alle im Projekt durchgeführten Arbeiten trugen zum Erkenntnisgewinn im Sinne des Forschungsauftrags bei.

IV.5 Präsentationsmöglichkeiten

Die Ergebnisse werden von den verantwortlichen Projektteilnehmern beim BfS vorgestellt und in den gewünschten Formaten übergeben. Die gewonnenen Erkenntnisse, die gesammelten Daten und die Probenmaterialien stellen eine wertvolle Ausgangsbasis für die weitere strahlenbiologische Forschung dar.

IV.6 Einhaltung der Ausgaben und Zeitplanung

IV.6.1 Zeitplan

Der angestrebte Zeitplan konnte aufgrund von technischen Problemen nicht eingehalten werden und wurde daher kostenneutral verlängert.

IV.6.2 Finanzplan

Die beantragten Personal- und Verbrauchsmittel wurden gemäß bewilligtem Antrag sowie bewilligtem Antrag auf Projektverlängerung verbraucht.

V Literatur

1. Cha HJ, Seong KM, Bae S, Jung JH, Kim CS, et al. (2009) Identification of specific microRNAs responding to low and high dose gamma-irradiation in the human lymphoblast line IM9. *Oncology reports* 22: 863-868.
2. Cha HJ, Shin S, Yoo H, Lee EM, Bae S, et al. (2009) Identification of ionizing radiation-responsive microRNAs in the IM9 human B lymphoblastic cell line. *Int J Oncol* 34: 1661-1668.
3. Darby S, Hill D, Auvinen A, Barros-Dios JM, Baysson H, et al. (2005) Radon in homes and risk of lung cancer: collaborative analysis of individual data from 13 European case-control studies. *BMJ* 330: 223.
4. Weber DG, Casjens S, Rozynek P, Lehnert M, Zilch-Schöneweis S, et al. (2010) Assessment of mRNA and microRNA Stabilization in Peripheral Human Blood for Multicenter Studies and Biobanks. *Biomark Insights* 5: 95-102.
5. Weber DG, Johnen G, Bryk O, Jöckel KH, Brüning T (2012) Identification of miRNA-103 in the Cellular Fraction of Human Peripheral Blood as a Potential Biomarker for Malignant Mesothelioma - A Pilot Study. *PLoS One* 7: e30221.
6. Liu CG, Calin GA, Volinia S, Croce CM (2008) MicroRNA expression profiling using microarrays. *Nat Protoc* 3: 563-578.
7. Livak KJ, Schmittgen TD (2001) Analysis of relative gene expression data using real-time quantitative PCR and the 2(-Delta Delta C(T)) Method. *Methods* 25: 402-408.
8. Niemoeller OM, Niyazi M, Corradini S, Zehentmayr F, Li M, et al. (2011) MicroRNA expression profiles in human cancer cells after ionizing radiation. *Radiat Oncol* 6: 29.
9. Wagner-Ecker M, Schwager C, Wirkner U, Abdollahi A, Huber PE (2010) MicroRNA expression after ionizing radiation in human endothelial cells. *Radiat Oncol* 5: 25.
10. Kraemer A, Anastasov N, Angermeier M, Winkler K, Atkinson MJ, et al. (2011) MicroRNA-mediated processes are essential for the cellular radiation response. *Radiat Res* 176: 575-586.
11. Templin T, Paul S, Amundson SA, Young EF, Barker CA, et al. (2011) Radiation-Induced Micro-RNA Expression Changes in Peripheral Blood Cells of Radiotherapy Patients. *International journal of radiation oncology, biology, physics* 80: 549-557.
12. Meltzer PS (2005) Cancer genomics: small RNAs with big impacts. *Nature* 435: 745-746.
13. Filkowski JN, Ilnytskyy Y, Tamminga J, Koturbash I, Golubov A, et al. (2010) Hypomethylation and genome instability in the germline of exposed parents and their progeny is associated with altered miRNA expression. *Carcinogenesis* 31: 1110-1115.
14. Dufva M, Petersen J, Poulsen L (2009) Increasing the specificity and function of DNA microarrays by processing arrays at different stringencies. *Anal Bioanal Chem* 395: 669-677.
15. Chugh P, Dittmer DP (2012) Potential pitfalls in microRNA profiling. *Wiley Interdiscip Rev RNA* 3: 601-616.
16. Kruhoffer M, Dyrskjot L, Voss T, Lindberg RL, Wyrich R, et al. (2007) Isolation of microarray-grade total RNA, microRNA, and DNA from a single PAXgene blood RNA tube. *J Mol Diagn* 9: 452-458.

17. Hummel R, Wang T, Watson DI, Michael MZ, Van der Hoek M, et al. (2011) Chemotherapy-induced modification of microRNA expression in esophageal cancer. *Oncology reports* 26: 1011-1017.
18. Dickey JS, Zemp FJ, Martin OA, Kovalchuk O (2011) The role of miRNA in the direct and indirect effects of ionizing radiation. *Radiat Environ Biophys* 50: 491-499.
19. Cui W, Ma J, Wang Y, Biswal S (2011) Plasma miRNA as biomarkers for assessment of total-body radiation exposure dosimetry. *PLoS One* 6: e22988.

Anhang

Tabelle 1: Verwendetes Sondenset NCode Human microRNA Microarray Probe Set V3 (Life Technologies)

Sonde	Sequence
hsa-let-7a	AACTATACAACCTACTACCTCAAACACTATACAACCTACTACCTCA
hsa-let-7a*	GAAAGACAGTAGATTGTATAGGAAAGACAGTAGATTGTATAG
hsa-let-7b	AACCACACAAACCTACTACCTCAAACACACAAACCTACTACCTCA
hsa-let-7b*	GGAAGGCAGTAGGTTGTATAGGAAGGCAGTAGGTTGTATA
hsa-let-7c	AACCATAACACCTACTACCTCAAACCATACAACCTACTACCTCA
hsa-let-7c*	TAACTCCCAGGGTGTAACTCTATAACTCCAGGGTGTAACTCTA
hsa-let-7d	AACTATGCAACCTACTACCTCTAACTATGCAACCTACTACCTCT
hsa-let-7d*	AGAAAGGCAGCAGGTCGTATAAGAAAGGCAGCAGGTCGTATA
hsa-let-7e	AACTATAACACCTCTACCTCAAACACTATACAACCTCTACCTCA
hsa-let-7e*	GGAAAGCTAGGAGGCCGTATAGGAAAGCTAGGAGGCCGTATA
hsa-let-7f	AACTATACAATCTACTACCTCAAACACTATACAATCTACTACCTCA
hsa-let-7f-1*	GGGAAGGCAATAGATTGTATAGGGAAAGGCAATAGATTGTATAG
hsa-let-7f-2*	GGAAAGACAGTAGACTGTATAGGGAAAGACAGTAGACTGTATAG
hsa-let-7g	AACTGTACAAACTACTACCTCAAACACTGTACAAACTACTACCTCA
hsa-let-7g*	CAAGGCAGTGGCCTGTACACAAGGCAGTGGCCTGTACA
hsa-let-7i	AACAGCACAAACTACTACCTCAAACAGCACAAACTACTACCTCA
hsa-let-7i*	AGCAAGGCAGTAGCTTGCAGCAAGGCAGTAGCTTGCAGCA
hsa-miR-1	ATACATACTCTTACATTCCAATACATACTTCTTACATTCCA
hsa-miR-100	CACAAGTTCGGATCTACGGGTACAAGTCGGATCTACGGGT
hsa-miR-100*	CATACCTATAGATACAAGCTTGCATACCTATAGATACAAGCTT
hsa-miR-101	TTCAGTTACAGTACTGTTCAGTTACAGTACTGT
hsa-miR-101*	AGCATCAGCACTGTGATAACTAGCATCAGCACTGTGATAACT
hsa-miR-103	TCATAGCCCTGTACAATGCTGCTTACAGCCCTGTACAATGCTGCT
hsa-miR-105	ACCACAGGAGTCTGAGCATTGAACCACAGGAGTCTGAGCATTGA
hsa-miR-105*	TAGCACATGCTCAAACATCCGTTAGCACATGCTCAAACATCCG
hsa-miR-106a	TACCTGACTGTAAGCACTTTTACCTGCACTGTAAGCACTTT
hsa-miR-106a*	GTAAGAAGTGCTTACATTGCAAGGTAAGAAGTGCTTACATTGCA
hsa-miR-106b	ATCTGCACTGTCAGCACTTAACTGCACTGTCAGCACTTTA
hsa-miR-106b*	GCAGCAAGTACCCACAGTGGCAGCAAGTACCCACAGTG
hsa-miR-107	TGATAGCCCTGTACAATGCTGCTGATAGCCCTGTACAATGCTGCT
hsa-miR-10a	ACAAATTGGATCTACAGGGTAACAAATTGGATCTACAGGGTA
hsa-miR-10a*	TATTCCCCTAGATACGAATTGTATTCCCCTAGATACGAATTG
hsa-miR-10b	ACAAATTGGTTCTACAGGGTAACAAATTGGTTCTACAGGGTA
hsa-miR-10b*	ATTCCCCTAGAATCGAATCTGTATTCCCCTAGAATCGAATCTGT
hsa-miR-122	AAACACCATTGTCACACTCCAAAACACCATTGTCACACTCCA
hsa-miR-122*	TATTAGTGTGATAATGGCGTTATTAGTGTGATAATGGCGTT
hsa-miR-124	GCATTACCCCGTGCCTAGCATTACCCCGTGCCTTA
hsa-miR-124*	ATCAAGGTCGCTGTGAACACATCAAGGTCGCTGTGAACAC
hsa-miR-125a-3p	TCCCAAGAACCTCACCTGTTCCAAGAACCTCACCTGT
hsa-miR-125a-5p	TCACAGGTTAAAGGGCTCAGGGTCACAGGTTAAAGGGCTCAGGG
hsa-miR-125b	TCACAAGTTAGGGCTCAGGGTACAAGGTTAGGGCTCAGGG
hsa-miR-125b-1*	AGCTCCCAAGAGCCTAACCGTAGCTCCAAGAGGCCAACCGT
hsa-miR-126	GCATTATTACTCACGGTACGAGCATTACTCACGGTACGA
hsa-miR-126*	CGCGTACCAAAAGTAATAATGCGCGTACCAAAAGTAATAATG
hsa-miR-127-3p	AGCCAAGCTCAGACGGATCCGAAGGCCAGACGGATCCGA
hsa-miR-127-5p	ATCAGAGCCCTCTGAGCTTCAATCAGAGCCCTCTGAGCTTCA
hsa-miR-128a;hsa-miR-128b	AAAGAGACGGTTACTGTGAAAAGAGACCGGTTACTGTGA
hsa-miR-129-3p	ATGCTTTTGGGTAAGGGCTTATGCTTTGGGTAAGGGCTT
hsa-miR-129-5p	CAAGCCCAGACCGAAAAACAAGCCCAGACCGAAAAAA
hsa-miR-129*	ATACTTTTGGGTAAGGGCTTATACTTTGGGTAAGGGCTT
hsa-miR-130a	ATGCCCTTTAACATTGCACTGATGCCCTTTAACATTGCACTG
hsa-miR-130a*	CAGACAGTAGCACAATGTGAACAGACAGTAGCACAATGTGAA
hsa-miR-130b	ATGCCCTTTCATATTGCACTATGCCCTTACATTGCACT
hsa-miR-130b*	TAGTGCAACAGGGAAAGAGTTAGTGCAACAGGGAAAGAGT
hsa-miR-132	CGACCAGGCTGTAGACTGTTGACCAGGCTGTAGACTGTT
hsa-miR-132*	AGTAACAATCGAAAGGCCACGGTAGTAACAATCGAAAGGCCACGGT
hsa-miR-133a	AGCTGGTTGAAGGGGACCAAAAGCTGGTTGAAGGGGACCAA
hsa-miR-133b	TAGCTGGTTGAAGGGGACCAATAGCTGGTTGAAGGGGACCAA

hsa-miR-134	CTCTGGTCAACCAGTCACACTCTGGTCAACCAGTCACA
hsa-miR-135a	TCACATAGGAATAAAAGCCATATCACATAGGAATAAAAGCCATA
hsa-miR-135a*	CACGGCTCCAATCCCTATACACGGCTCAATCCCTATA
hsa-miR-135b	TCACATAGGAATGAAAAGCCATATCACATAGGAATGAAAAGCCATA
hsa-miR-135b*	CCCATGGCTTTAGCCTACACCCATGGCTTAGCCCTACA
hsa-miR-136	TCCATCATCAAACAAATGGAGTCCATCATCAAACAAATGGAGT
hsa-miR-136*	AGACTCATTGAGACGTGATGAGACTCATTGAGACGTGATG
hsa-miR-137	CTACCGTATTCTTAAGCAATAACTACCGTATTCTTAAGCAATAA
hsa-miR-138	GCCTGATTACAACACCAGCTGCCTGATTACAACACCAGCT
hsa-miR-138-1*	GCCCTGGTGTGTGAAGTAGCCCTGGTGTGAAGTA
hsa-miR-138-2*	AACCCCTGGTGTGCGTGAATAAACCCCTGGTGTGCGTGAATA
hsa-miR-139-3p	ACTCCAACAGGGCCCGTCTACTCCAACAGGGCCCGTCT
hsa-miR-139-5p	TGGAGACACGTGCACTGTAGATGGAGACACGTGCACTGTAGA
hsa-miR-140-3p	GTGGTTCTACCCGTGGTAGTGGTTCTACCCGTGGTA
hsa-miR-140-5p	CTACCATAAGGTAACCACTTACCATAGGTAAACCACT
hsa-miR-141	CCATCTTACCAAGACAGTGTACCATCTTACCAAGACAGTGTAA
hsa-miR-141*	TCCAACACTGTACTGAAAGATTCAAACACTGTACTGAAAGAT
hsa-miR-142-3p	TCCATAAAAGTAGGAAACACTACATCCATAAAAGTAGGAAACACTACA
hsa-miR-142-5p	GTAGTGCTTCTACTTTATGGTAGTGCTTCTACTTTATG
hsa-miR-143	AGCTACAGTGCTTCATCTCAAGCTACAGTGCTTCATCTCA
hsa-miR-143*	ACCAGAGATGCAGCACTGCAACCAAGAGATGCAGCACTGCA
hsa-miR-144	AGTACATCATCTATACTGTAAAGTACATCATCTATACTGTAA
hsa-miR-144*	CTTACAGTATATGATGATATCCCTTACAGTATATGATGATATCC
hsa-miR-145	AGGGATTCTGGAAAAGTGGACAGGGATTCTGGAAAAGTGGAC
hsa-miR-145*	AGAACAGTATTCCAGGAATCCAGAACAGTATTCCAGGAATCC
hsa-miR-146a	AACCCATGAAATTCAAGTCTAAACCCATGAAATTCAAGTCTCA
hsa-miR-146a*	CTGAAGAACTGAATTTCAGAGGCTGAAGAACTGAATTTCAGAGG
hsa-miR-146b-3p	AGAACTGAGTCCACAGGGCAAGAACTGAGTCCACAGGGCA
hsa-miR-146b-5p	AGCCTATGAAATTCAAGTCTCAAGCCTATGAAATTCAAGTCTCA
hsa-miR-147	GCAGAAGCATTCCACACAGCAGAACGATTCCACACA
hsa-miR-147b	TAGCAGAAGCATTCCGCACATAGCAGAACGATTCCGCACA
hsa-miR-148a	ACAAAGTTCTGTAGTGCACAGAACAAAGTTCTGTAGTGCACAGA
hsa-miR-148a*	AGTCGGAGTGTCTAGAACCTTACGGAGTGTCTAGAACATT
hsa-miR-148b	ACAAAGTTCTGTGATGCACTGAACAAAGTTCTGTGATGCACTGA
hsa-miR-149	AGTGAAGACACGGAGCCAGAACGAGTGAAGAACACGGAGCCAGA
hsa-miR-149*	ACAGCCCCCGTCCCTCCCTACAGCCCCCGTCCCTCCCT
hsa-miR-150	ACTGGTACAAGGGTTGGAGAACTGGTACAAGGGTTGGAGA
hsa-miR-150*	TGTCCCCCAGGCCTGTACCATGTCCCCCAGGCCTGTACCA
hsa-miR-151-3p	CCTCAAGGAGCTTCAGTCTAGCCTCAAGGAGCTCAGTCTAG
hsa-miR-151-5p	ACTAGACTGTGAGCTCTCGAACACTAGACTGTGAGCTCTCGA
hsa-miR-152	CAAGTTCTGTACTGACTGACAAGTTCTGTACTGCACTGA
hsa-miR-153	GATCACTTTGTGACTATGCAAGATCACTTTGTGACTATGCAA
hsa-miR-154	CGAAGGCAACACGGATAACCTCGAAGGCCAACACGGATAACCT
hsa-miR-154*	AATAGGTCAACCGTGTATGATTAATAGGTCAACCGTGTATGATT
hsa-miR-155	ACCCCTATCACGATTAGCATTAAACCCCTATCACGATTAGCATTAA
hsa-miR-155*	TGTTAATGCTAATATGAGGAGTGTAAATGCTAATATGAGGAG
hsa-miR-15a	CACAAACCATTATGTGCTGCTACACAAACCATTATGTGCTGCTA
hsa-miR-15a*	TGAGGCAGCACAATATGGCCTGAGGCAGCACAATATGGCCT
hsa-miR-15b	TGTAACCATGATGTGCTGCTATGTAACCATGATGTGCTGCTA
hsa-miR-15b*	TAGAGCAGCAAATAATGATTCTGAGAGCAGCAAATAATGATTG
hsa-miR-16	GCCAATATTACGTGCTGCTAGCCAATATTACGTGCTGCTA
hsa-miR-16-1*	TCAGCAGCACAGTTAATACTGTCACTGAGCACAGTTAAACTG
hsa-miR-16-2*	TAAAGCAGCACAGTAATATTGGTAAAGCAGCACAGTAATATTGG
hsa-miR-17	TACCTGCACTGTAAGCACTTTACCTGCACTGTAAGCACTTT
hsa-miR-17*	CTACAAGTGCCTCACTGCACTACAAGTGCCTCACTGCACT
hsa-miR-181a	ACTCACCGACAGCGTTGAATGTTACTCACCGACAGCGTTGAATGTT
hsa-miR-181a-2*	GTACAGTCACCGTCAGTGGTACAGTCACGGTCAGTGGT
hsa-miR-181a*	GGTACAATCACGGTCAGTGGTACAATCACGGTCAGTGG
hsa-miR-181b	ACCCACCGACAGCAATGAATGTTACCCACCGACAGCAATGAATGTT
hsa-miR-181c	ACTCACCGACAGGTTGAATGTTACTCACCGACAGGTTGAATGTT
hsa-miR-181c*	TCCACTCAACGGTCAGTGGTTCACTCAACGGTCAGTGGT
hsa-miR-181d	ACCCACCGACAAACAATGAATGTTACCCACCGACAAACAATGAATGTT
hsa-miR-182	AGTGTGAGTTCTACCATGCCCCAAAGTGTGAGTTCTACCATGCCCCAA
hsa-miR-182*	TAGTTGGCAAGTCTAGAACCATAGTTGGCAAGTCTAGAACCA

hsa-miR-183
 hsa-miR-183*
 hsa-miR-184
 hsa-miR-185
 hsa-miR-185*
 hsa-miR-186
 hsa-miR-186*
 hsa-miR-187
 hsa-miR-187*
 hsa-miR-188-3p
 hsa-miR-188-5p
 hsa-miR-18a
 hsa-miR-18a*
 hsa-miR-18b
 hsa-miR-18b*
 hsa-miR-190
 hsa-miR-190b
 hsa-miR-191
 hsa-miR-191*
 hsa-miR-192
 hsa-miR-192*
 hsa-miR-193a-3p
 hsa-miR-193a-5p
 hsa-miR-193b
 hsa-miR-193b*
 hsa-miR-194
 hsa-miR-194*
 hsa-miR-195
 hsa-miR-195*
 hsa-miR-196a
 hsa-miR-196a*
 hsa-miR-196b
 hsa-miR-197
 hsa-miR-198
 hsa-miR-199a-5p
 hsa-miR-199b-5p
 hsa-miR-19a
 hsa-miR-19a*
 hsa-miR-19b
 hsa-miR-19b-1*
 hsa-miR-19b-2*
 hsa-miR-200a
 hsa-miR-200a*
 hsa-miR-200b
 hsa-miR-200b*
 hsa-miR-200c
 hsa-miR-200c*
 hsa-miR-202
 hsa-miR-202*
 hsa-miR-203
 hsa-miR-204
 hsa-miR-205
 hsa-miR-206
 hsa-miR-208
 hsa-miR-208b
 hsa-miR-20a
 hsa-miR-20a*
 hsa-miR-20b
 hsa-miR-20b*
 hsa-miR-21
 hsa-miR-21*
 hsa-miR-210
 hsa-miR-211
 hsa-miR-212

AGTGAATTCTACCAGTGCCATAAGTGAATTCTACCAGTGCCATA
 TTATGGCCCTTCGGTAATTCAATTATGGCCCTCGGTAAATTCA
 ACCCTTATCAGTTCTCGTCCACCCCTATCAGTTCTCCGTCC
 TCAGGAACTGCCTTCTCTCCTCAGGAAC TGCCCTTCTCTCC
 ACCAGAGGAAAGCCAGCCCCTACCAAGAGGAAAGCCAGCCCC
 AGCCCCAAAAGGAGAATTCTTGAGCCCAGGAGAATTCTTG
 CCCAAAAAATTCACCTTGGGCCAAAAAATTCACCTTGGG
 GCTGCAACACAAGACACGAGCTGCAACACAAGACACGA
 CCCGGTCTGTGTTACCCGGTCCTGTGTTGA
 TGCAAACCTGCATGTGGATGCAAACCTGCATGTGGGA
 CCTCCACCATGCAAGGGATCCTCCACCATGCAAGGGAT
 TATCTGCACTAGATGCACCTTATATCTGCACTAGATGCACCTA
 AGAAGGAGCACTAGGGCAGTAGAAGGAGCACTAGGGCAGT
 TAACTGCACTAGATGCACCTATAACTGCACTAGATGCACCTA
 AGAAGGGGCATTAGGGCAAGAAGGGCATTAGGGCA
 ACCTAATATCAAACATATCAAACCTAATATCAAACATATCA
 AACCCAATATCAAACATATCAAACCCAATATCAAACATATCA
 CAGCTGCTTGGGATTCCGTTGCAGCTGCTTGGGATTCCGTTG
 GGGACGAAATCCAAGCGCAGGGACGAAATCCAAGCGCA
 GGCTGTCATTAGGTCAAGGCTGTCATTAGGTCA
 TGTGACCTATGGAATTGGCATGTGACCTATGGAATTGGCA
 ACTGGGACTTGTAGGCCAGTACTGGGACTTGTAGGCCAGT
 TCATCTCGCCCGCAAAGACCCATCATCTGCCCGCAAAGACCCA
 AGCGGGACTTGGAGGGCCAGTTAGCGGGACTTGGAGGGCCAGTT
 TCATCTCGCCCTCAAACCTCATCTGCCCTCAAACCC
 TCCACATGGAGTTGCTGTTACATCCACATGGAGTTGCTGTTACA
 AGATAACAGCAGCCCCACTAGATAACAGCAGCCCCACT
 GCCAATATTCTGTGCTGTCAGCCAATATTCTGTGCTGCTA
 GGAGCAGCACAGCCAATATTGGGAGCAGCACAGCCAATATTG
 CCCAACACATGAAACTACCTACCCAACACATGAAACTACCTA
 CTCAGGCAGTTCTTGTGCCCTCAGGCAGTTCTTGTGCTGCC
 CCAACACAGGAAACTACCTACCAACACAGGAAACTACCTA
 TGGGTGGAGAAGGTGGTGAATGGGTGGAGAAGGTGGTGA
 AACCTATCTCCCCTCTGGAACACTATCTCCCCTCTGGA
 GAACAGGTAGTCTGAACACTGGGAACAGGTAGTCTGAACACTGGG
 GAACAGATACTGCTAACACACTGGGAACAGATACTGCTAACACTGG
 TCAGTTTGCACTAGATTGCACTCAGTTGCTAGATTGCA
 TGAGTGCAACTATGCAAAACTTGTAGTGCAACTATGCAAAACT
 TCAGTTTGCACTGGATTGCACTCAGTTGCTGGATTGCA
 TGGATGCAACCTGCAAAACTTGGATGCAAACCTGCAAAACT
 TGAAATGCAACCTGCAAAACTTGAATGCAAACCTGCAAAACT
 ACATCGTTACCAGACAGTGTAAACATCGTACAGACAGTGT
 TCCAGCACTGTCCGGTAAGATTCCAGCAGTGTCCGGTAAGAT
 TCATCATTACCAAGGCAGTATTATCATCATTACCAAGGCAGT
 TCCAATGCTGCCAGTAAGATTCCAATGCTGCCAGTAAGAT
 TCCATCATTACCCGGCAGTATTATCCATCATTACCCGGCAGT
 CCAAACACTGCTGGTAAGACCCAAACACTGCTGGTAAGAC
 TTCCCATGCCCTACCTCTCCATGCCCTACCTC
 CAAAGAAGTATATGCATAGGAACAAAGAAGTATATGCATAGGAA
 CTAGTGGTCTAAACATTCCACCTAGTGGTCTAAACATTTCAC
 AGGCATAGGATGACAAAGGGAAAGGCATAGGATGACAAAGGGAA
 AGACTCCGGTGGAAATGAAGGAAGACTCCGGTGGAAATGAAGGA
 CACACACTTCCCTACATTCCACACACACTTCCATTACCTCA
 ACAAGCTTTGCTCGTCTTACAAAGCTTTGCTCGTCTTAC
 ACAAAACCTTTGTTCGTCTTACAAACCTTTGTTCGTCTTAC
 CTACCTGCACTATAAGCACTTACTACCTGCACTATAAGCACTT
 CTTAAGTGCTCATAATGCAGTCTTAAGTGCTCATAATGCAGT
 TACCTGCACTATGAGCAGTTACCTGCACTATGAGCAGT
 CTGGAAAGTGCCCATACTACAGCTGGAAAGTGCCCATACTACAG
 TCAACATCAGTCTGATAAGCTATCAACATCAGTCTGATAAGCTA
 ACAGCCCCATCGACTGGTGTACAGCCCCATCGACTGGTGT
 TCAGCCGCTGTCACACGCACATCAGCCGCTGTCACACGCACA
 AGGCGAAGGATGACAAAGGGAAAGGCGAAGGATGACAAAGGGAA
 CGTGACTGGAGACTGTTACCGTGACTGGAGACTGTT

hsa-miR-214	ACTGCCTGCTGTGCCTGCTGACTGCCTGCTGTGCCTGCTGT
hsa-miR-214*	CACAGCAAGTGTAGACAGGCACACAGCAAGTGTAGACAGGCA
hsa-miR-215	GTCTGTCAATTCATAGGTATGTCATGTCAATTCAAGGTATC
hsa-miR-216a	TCACAGTTGCCAGCTGAGATTACACAGTTGCCAGCTGAGATT
hsa-miR-216b	TCACATTGCCTGCAGAGATTTCACATTGCCTGCAGAGATT
hsa-miR-217	TCCAATCAGTTCCTGATGCAGTATCCAATCAGTTCCGTGAGTA
hsa-miR-218	ACATGGTTAGATCAAGCACAAACATGGTAGATCAAGCACAA
hsa-miR-218-1*	CATGGTGCTTGACGGAACCACATGGTGCTTGACGGAACCAC
hsa-miR-218-2*	CGGTGCTTGACAGAACCATCGGTGCTTGACAGAACCAT
hsa-miR-219-1-3p	GACGTCCAGACTCAACTCTGACGTCCAGACTCAACTCT
hsa-miR-219-2-3p	ACAGATGTCCAGGCCACAATTCTACAGATGTCCAGGCCACAATTCT
hsa-miR-219-5p	AGAATTGCCTTGGACAATCAAGAATTGCGTTGGACAATCA
hsa-miR-22	ACAGTTCTCACTGGCAGCTTACAGTTCTCACTGGCAGCTT
hsa-miR-22*	TAAGGCTGCCACTGAAGAACTTAAAGCTGCCACTGAAGAACT
hsa-miR-220	AAAGTGTCAAGATACGGTGTGAAAGTGTCAAGATACGGTGTG
hsa-miR-220b	AAAGTGTCAAGACACGGTGGTAAGTGTCAAGACACGGTGGT
hsa-miR-220c	AGTCTTCACAACAGCCTGTGAGTCTTCACAACAGCCCCGTG
hsa-miR-221	AAACCCAGCAGACAATGTAGCTAAACCCAGCAGACAATGTAGCT
hsa-miR-221*	AAATCTACATTGTATGCCAGGTAATCTACATTGTATGCCAGGT
hsa-miR-222	ACCCAGTAGCCAGATGTAGCTACCCAGTAGCCAGATGTAGCT
hsa-miR-222*	AGGATCTACACTGGCTACTGAAGGATCTACACTGGCTACTGA
hsa-miR-223	TGGGTATTTGACAAACTGACATGGGTATTTGACAAACTGACA
hsa-miR-223*	AACTCAGCTTGTCAAATACACGAACTCAGCTTGTCAAATACACG
hsa-miR-224	AACGGAACCACTAGTGACTTAACGGAACCACTAGTGA
hsa-miR-23a	GAAATCCCTGGCAATGTGATGAAATCCCTGGCAATGTGAT
hsa-miR-23a*	AAATCCCATCCCCAGGAACAAATCCCATCCCCAGGAAC
hsa-miR-23b	GTAATCCCTGGCAATGTGATGTAATCCCTGGCAATGTGAT
hsa-miR-23b*	AAATCAGCATGCCAGGAACCCAAATCAGCATGCCAGGAACCC
hsa-miR-24	TGTTCCCTGCTGAAGTGGCATGTTCTGCTGAACTGAGCCA
hsa-miR-24-1*	ACTGATATCAGCTCAGTAGGCAACTGATATCAGCTCAGTAGGCA
hsa-miR-24-2*	CTGTGTTCAGCTCAGTAGGCCCTGTGTTCAGCTCAGTAGGC
hsa-miR-25	TCAGACCGAGACAAGTGAATTCAAGACGGAGACAAGTGAAT
hsa-miR-25*	AATTGCCAAGTCTCCGCTTAATTGCCAAGTCTCCGCT
hsa-miR-26a	AGCCTATCCTGGATTACTTGAAGGCCTATCCTGGATTACTTGA
hsa-miR-26a-1*	CGTGCAAGTAACCAAGAATAGCGTGCAAGTAACCAAGAATAG
hsa-miR-26a-2*	GAAACAAGTAATCAAGAATAGGAAACAAAGTAATCAAGAATAGG
hsa-miR-26b	ACCTATCCTGAATTACTTGAACCTATCCTGAATTACTTGA
hsa-miR-26b*	GAGCCAAGTAATGGAGAACAGAGCCAAGTAATGGAGAAC
hsa-miR-27a	GCAGGAACCTAGCCACTGTGAAGCGGAACCTAGCCACTGTGAA
hsa-miR-27a*	TGCTCACAAGCAGCTAACGCCCTGCTCACAGCAGCTAACCCCT
hsa-miR-27b	CAGAACCTAGCCACTGTGAACAGAACCTAGCCACTGTGAA
hsa-miR-27b*	TTCACCAATCAGCTAGCTTCCACCAATCAGCTAAGCTCT
hsa-miR-28-3p	TCCAGGAGCTCACAACTAGTCCAGGAGCTCACAACTAGT
hsa-miR-28-5p	TCAATAGACTGTGAGCTCCTTCAATAGACTGTGAGCTCCTT
hsa-miR-296-3p	AGAGCCTCCACCCAACCCCTAGAGCCTCACCCACCC
hsa-miR-296-5p	ACAGGATTGAGGGGGGGCCCTACAGGATTGAGGGGGGGCCCT
hsa-miR-297	CATGCACATGCACACATACATCATGCACATGCACACATACAT
hsa-miR-298	TGGGAGAACCTCCCTGCTTCTGCTTGGAGAACCTCCCTGCTTGT
hsa-miR-299-3p	AAGCGGTTTACCATCCCACATAAAGCGGTTTACCATCCCACATA
hsa-miR-299-5p	ATGTATGTGGGACGGTAAACCAATGTATGTGGGACGGTAAACCA
hsa-miR-29a	TAACCGATTTCAGATGGTGCTATAACCGATTTCAGATGGTGCTA
hsa-miR-29a*	TAACCAATGTGCAGACTACTGTTAACCAATGTGCAGACTACTGT
hsa-miR-29a*	CTGAACACCAAAAGAAAATCAGTCTGAACACCAAAAGAAAATCAGT
hsa-miR-29b	AACACTGATTCAAATGGTGCTAACACTGTGATTCAAATGGTGCTA
hsa-miR-29b-1*	TCTAAACCACCATATGAAACCAGTCTAACACCACCATATGAAACCAG
hsa-miR-29b-2*	TAAGCCACCATGTGAAACCATAAGCCACCATGTGAAACCA
hsa-miR-29c	TAACCGATTCAAATGGTGCTATAACCGATTCAAATGGTGCTA
hsa-miR-29c*	GAACACCAAGGAGAAATCGGTGCAACACCAGGAGAAATCGGT
hsa-miR-300	AGAGAGAGTCTGCCCTGTATAAGAGAGAGTCTGCCCTGTATA
hsa-miR-301a	GCTTGTGACAATACTATTGCACTGGCTTGTACAATACTATTGCACTG
hsa-miR-301b	GCTTGTGACAATATCATTGCACTGGCTTGTACAATATCATTGCACTG
hsa-miR-302a	TCACCAAAACATGGAAGCACTTACACAAAAACATGGAAGCACTTA
hsa-miR-302a*	AGCAAGTACATCCACGTTAAGTAGCAAGTACATCCACGTTAAGT
hsa-miR-302b	CTACTAAAACATGGAAGCACTTACTACTAAAACATGGAAGCACTTA

hsa-miR-302b*	GAAAGCACTTCCATGTTAAAGTGAAAGCACTTCCATGTTAAAGT
hsa-miR-302c	CACTGAAACATGGAAGCACTTACACTGAAACATGGAAGCACTTA
hsa-miR-302c*	CAGCAGGTACCCCCATGTTAACAGCAGGTACCCCCATGTTAA
hsa-miR-302d	ACACTCAAACATGGAAGCACTAACACTCAAACATGGAAGCACTTA
hsa-miR-302d*	CAAGTGCCTCCATGTTAAAGTCAGTGCCTCATGTTAAAGT
hsa-miR-30a	TTCCAGTCGAGGATGTTACATCCAGTCGAGGATGTTACA
hsa-miR-30a*	CTGAAACATCCGACTGAAACTGAAACATCCGACTGAAA
hsa-miR-30b	AGCTGAGTGTAGGATGTTACAAGCTGAGTGTAGGATGTTACA
hsa-miR-30b*	AAGTAAACATCCACCTCCAAAGTAAACATCCACCTCCA
hsa-miR-30c	CTGAGAGTGTAGGATGTTACACTGAGAGTGTAGGATGTTACA
hsa-miR-30c-1*	GGAGTAAACAAACCCTCTCCCAGGAGTAAACAAACCCTCTCCA
hsa-miR-30c-2*	AGAGTAAACAGCCTCTCCCAAGAGTAAACAGCCTCTCCA
hsa-miR-30d	CTTCCAGTCGGGGATGTTACCTTCCAGTCGGGGATGTTAC
hsa-miR-30d*	GCAGCAAACATCTGACTGAAAGCAGCAAACATCTGACTGAAA
hsa-miR-30e	CTTCCAGTCAGGATGTTACACTTCAAGGATGTTACA
hsa-miR-30e*	GCTGTAAACATCCGACTGAAAGCTGTAACACATCCGACTGAAA
hsa-miR-31	AGCTATGCCAGCATCTGCCTAGCTATGCCAGCATCTGCCT
hsa-miR-31*	ATGGCAATATGTTGGCATAGCAATGGCAATATGTTGGCATAGCA
hsa-miR-32	TGCAACTTAGTAATGTGCAATATGCAACTTAGTAATGTGCAATA
hsa-miR-32*	AAATATCACACACACTAAATTGAAATATCACACACACTAAATTG
hsa-miR-320	TCGCCCTCTCAACCCAGCTTTGCCCCCTCAACCCAGCTTT
hsa-miR-323-3p	AGAGGTCGACCGTGTAAATGTGAGAGGTGACCGTGTAAATGTG
hsa-miR-323-5p	AACGCGCCACGGACCACCTAACGCGCCACGGACCACCT
hsa-miR-324-3p	AGCAGCACCTGGGGCAGTAGCAGCACCTGGGCAGT
hsa-miR-324-5p	ACACCAATGCCCTAGGGATACACCAATGCCCTAGGGAT
hsa-miR-325	ACACTTACTGGACACCTACTAACACTTACTGGACACCTACTA
hsa-miR-326	TGGAGGAAGGGCCCAGATGGAGGAAGGGCCCAGA
hsa-miR-328	ACGGAAGGGCAGAGAGGGCCAACGGAAGGGCAGAGAGGGCCA
hsa-miR-329	AAAGAGGTTAACCAGGTGTAAAGAGGTTAACCAGGTGT
hsa-miR-330-3p	TCTCTGCAGGCCGTGTCTTCTGCAGGCCGTGTCTT
hsa-miR-330-5p	TAAGACACAGGCCAGAGATAAGACACAGGCCAGAGA
hsa-miR-331-3p	TTCTAGGATAGGCCAGGGTTCTAGGATAGGCCAGGG
hsa-miR-331-5p	ATCCCTGGGACCATACTTAATCCCTGGGACCACCTA
hsa-miR-335	ACATTTTCGTTATTGCTCTTGAACATTTCGTTATTGCTCTTGA
hsa-miR-335*	GGTCAGGAGCAATAATGAAAAAGGTCAAGGAGCAATAATGAAAAA
hsa-miR-337-3p	GAAGAAAGGCATCATATAGGAGGAAGAAAGGCATCATATAGGAG
hsa-miR-337-5p	AACTCCTGTATGAAGCCGTTACTCCTGTATGAAGCCGTT
hsa-miR-338-3p	CAACAAAATCACTGATGCTGGACAACAAATCACTGATGCTGGA
hsa-miR-338-5p	ACTCAGCACCAAGGATATTGTTACTCAGCACCAAGGATATTGTT
hsa-miR-339-3p	TCTGTCGTCAGGCCGTCTATCTGCTCGAGGCCGTCA
hsa-miR-33a	TGCAATGCAACTACAATGCACTGCAATGCAACTACAATGCAC
hsa-miR-33a*	GTGATGCACTGTGAAACATTGTGATGCACTGTGAAACATT
hsa-miR-33b	GCAATGCAACAGCAATGCAGCAATGCAACAGCAATGCA
hsa-miR-33b*	TGCACTGCCAGGGCACTTGCAC TGCCGAGGC
hsa-miR-340	AATCAGTCTCATTGCTTTATAAAATCAGTCTATTGCTTTATAA
hsa-miR-340*	GCTATAAAGTAACTGAGACGGAGCTATAAAGTAACTGAGACGGA
hsa-miR-342-3p	ACGGGTGCGATTCTGTGTGAGAACGGGTGCGATTCTGTGTGAGA
hsa-miR-342-5p	TCAATCACAGATAGCACCCCTTAATCACAGATAGCACCCCT
hsa-miR-345	AGCCCTGGACTAGGGAGTCAAGCCCTGGACTAGGAGTCA
hsa-miR-346	AGAGGCAGGCATGCCGGCAGACAAGAGGGCAGGCATGCCGGCAGACA
hsa-miR-34a	ACAACCAGCTAACGACACTGCCACAACCAGCTAACGACACTGCC
hsa-miR-34a*	AGGGCAGTACTTGCTGATTAGGGCAGTATACTTGCTGATT
hsa-miR-34b	ATGGCAGTGGAGTTAGTGATTATGGCAGTGGAGTTAGTGATT
hsa-miR-34b*	AATCAGCTAACGACACTGCCTAAATCAGCTAACGACACTGCCTA
hsa-miR-34c-3p	CTGGCCGTGTTAGTGATTCTGGCCGTGTTAGTGATT
hsa-miR-34c-5p	AATCAGCTAACACTGCCTAACGCTAACACTGCCT
hsa-miR-361-3p	AAATCAGAACATCACACCTGGGGAAAATCAGAACATCACACCTGGGGGA
hsa-miR-361-5p	TACCCCTGGAGATTCTGATAATACCCCTGGAGATTCTGATAA
hsa-miR-362-3p	TGAATCCTGAATAGGTGTGTTGAATCCTGAATAGGTGTGTT
hsa-miR-362-5p	ACTCACACCTAGGTTCAAGGATTACTCACACCTAGGTTCAAGGATT
hsa-miR-363	TACAGATGGATACCGTGCATTACAGATGGATACCGTGCATT
hsa-miR-363*	AAATTGCATCGTGCATTACCAAAATTGCATCGTGCATT
hsa-miR-365	ATAAGGATTAGGGCATTAAATAAGGATTAGGGCATTAA
hsa-miR-367	TCACCATGCTAAAGTGCATTACCAATTGCTAAAGTGCATTAA

hsa-miR-367*	AGAGTTGCATATTAGAACAGTAGAGTTGCATATTAGAACAGT
hsa-miR-369-3p	AAAGATCAACCACATGTATTATAAGATCAACCACATGTATTATT
hsa-miR-369-5p	CGAATATAACACGGTCGATCTGAATATAACACGGTCGATCT
hsa-miR-370	ACCAGGTTCCACCCCAGCAACCAGGTTCCACCCCAGCA
hsa-miR-371-3p	ACACTCAAAGATGGCGGCACTTACACTCAAAGATGGCGGCACTT
hsa-miR-371-5p	AGTCCCCCACAGTTGAGTAGTGCCCCACAGTTGAGT
hsa-miR-372	ACGCTCAAATGTCGACACTTACGCTCAAATGTCGAGCAGCACTT
hsa-miR-373	ACACCCAAAATCGAAGCACTTACACCCAAAATCGAAGCACTT
hsa-miR-373*	GAAAGCGCCCCCATTTGAGTAAAGCGCCCCATTTGAGT
hsa-miR-374a	CACTTACAGGTTGATTATAACACTTACAGGTTGATTATAA
hsa-miR-374a*	AATTACAATACAATCTGATAAGAATTACAATACAATCTGATAAG
hsa-miR-374b	CACTTAGCAGGTTGATTATATCACTTAGCAGGTTGATTATAT
hsa-miR-374b*	AATGATAATACAACCTGCTAAGAATGATAATACAACCTGCTAAG
hsa-miR-375	TCACGCGAGCCGAACGAACAAATCACGCGAGCCGAACGAACAAA
hsa-miR-376a	ACGTGGATTTCTCTATGATAACATGGATTTCTCTATGAT
hsa-miR-376a*	TACTCATAGAAGGAGAACTACTACTCATAGAAGGAGAACTAC
hsa-miR-376b	AACATGGATTTCTCTATGATAACATGGATTTCTCTATGAT
hsa-miR-376c	ACGTGGAATTTCTCTATGTTACGTGGATTTCTCTATGTT
hsa-miR-377	ACAAAAGTTGCCCTTGAGTACAAAGTTGCCCTTGAGT
hsa-miR-377*	GAATTACCAAGGGCAACCTCGAACATTACCAAGGGCAACCTC
hsa-miR-378	CCTCTGACTCCAAGTCCAGTCCTCTGACTCCAAGTCCAGT
hsa-miR-378*	ACACAGGACCTGGAGTCAGGAACACAGGACCTGGAGTCAGGA
hsa-miR-379	CTACGTTCCATAGTCTACCACTACGTTCCATAGTCTACCA
hsa-miR-379*	AGTTAGTGGACCATGTTACATAAGTTAGTGGACCATGTTACATA
hsa-miR-380	AAGATGTGGACCATATTACATAAGATGTGGACCATATTACATA
hsa-miR-380*	GCGCATGTTCTATGGTCACCGCGCATGTTCTATGGTCACCC
hsa-miR-381	ACAGAGAGCTGCCCTGTATAACAGAGAGCTGCCCTGTATA
hsa-miR-382	GAATCCACCACGAACAATTGAATCCACCAACGAACAACTT
hsa-miR-383	AGCCACAATCACCTCTGATCTAGCCACAATCACCTCTGATCT
hsa-miR-384	TATGAACAATTCTAGGAATTATGAACAAATTCTAGGAAT
hsa-miR-409-3p	AGGGGTTACCGAGCAACATTAGGGGTTACCGAGCAACATT
hsa-miR-409-5p	ATGCAAAGTTGCTCGGGTAACCTATGCAAAGTTGCTCGGGTAACCT
hsa-miR-410	ACAGGCCATCTGTTTATATTACAGGCCATCTGTTTATATT
hsa-miR-411	GTACGCTATACGGTCTACTAGTACGCTATACGGTCTACTA
hsa-miR-411*	GTTAGTGGACCGTGTACATAGTTAGTGGACCGTGTACATA
hsa-miR-412	ACGGCTAGTGGACCAAGGTGAAGTACGGCTAGTGGACCAGGTGAAGT
hsa-miR-421	CGCCCAATTAAATGTCGTTGATGCCAACATTAAATGTCGTTGAT
hsa-miR-422a	CCTCTGACCCCTAACGTCAGTCCTCTGACCCCTAACGTCAGT
hsa-miR-423-3p	ACTGAGGGGCCTCAGACCGAGCTACTGAGGGGCCTCAGACCGAGCT
hsa-miR-423-5p	AAAGTCTCGCTCTGCCCCCTCAAAAGTCTCGCTCTGCCCCCTCA
hsa-miR-424	TTCAAAACATGAATTGCTGCTGTTCAAAACATGAATTGCTGCTG
hsa-miR-424*	ATAGCAGGCCCTCACGTTTGTACAGCAGGCCCTCACGTTTGT
hsa-miR-425	TCAACGGGAGTGTGTCATTCAACGGGAGTGTGTCATT
hsa-miR-425*	CGGACACGACATTCCGATCGGACACGACATTCCCGAT
hsa-miR-429	ACGGTTTACAGACAGTATTAACGGTTTACCAAGACAGTATTA
hsa-miR-431	TGCATGACGGCCTGCAAGACATGCACTGACGGCCTGCAAGACA
hsa-miR-431*	AGAAGCCCTGCAAGACGACCTAGAAGCCCTGCAAGACGACCT
hsa-miR-432	CCACCCAATGACCTACTCCAAGACCACCAATGACCTACTCCAAGA
hsa-miR-432*	AGACATGGAGGAGCCATCCAAGACATGGAGGAGCCATCCA
hsa-miR-433	ACACCGAGGGAGCCATCATGATAACCCGAGGAGCCATCATGAT
hsa-miR-448	ATGGGACATCCTACATATGCAAATGGGACATCCTACATATGCAA
hsa-miR-449a	ACCAGCTAACAAACTGCCAACCAAGCTAACAAATACACTGCCA
hsa-miR-449b	GCCAGCTAACAAACTGCGCCAGCTAACAAATACACTGCC
hsa-miR-450a	ATATTAGGAACACATCGAAAAAATTAGGAACACATCGAAAAA
hsa-miR-450b-3p	TATGGATGCAAATGATCCAATATGGATGCAAATGATCCCAA
hsa-miR-450b-5p	TATTCAAGAACATATTGCAAATATTCAAGAACATATTGCAAAT
hsa-miR-451	AACTCAGTAATGGTAACGGTTAACTCAGTAATGGTAACGGTT
hsa-miR-452	TCAGTTCTCTGCAAACAGTTCACTGCAAAACAGTT
hsa-miR-452*	CACTTACTTCTTGCAAGATGAGCACTTACTTCTTGCAAGATGAG
hsa-miR-453	TGCGAAGTCAACCACGGACAACCTTGCAGACTCACCACGGACAACCT
hsa-miR-454	ACCCTATAAGCAATATTGCACTAACCCCTATAAGCAATATTGCACTA
hsa-miR-455-3p	GTGTATATGCCCATGGACTGCGTGTATATGCCCATGGACTGC
hsa-miR-455-5p	GATGTAGTCAAAGGGCACATAGATGTAGTCAAAGGGCACATA
hsa-miR-483-3p	AAGACGGGAGGGAGGGAGTGAAGACGGGAGGGAGGTGA

hsa-miR-483-5p	TCCCTTCTTCCTCCGTCTTCCCTTCTTCCCGTCTT
hsa-miR-484	ATCGGGAGGGACTGAGCCTGAATCGGGAGGGACTGAGCTGA
hsa-miR-485-3p	AGAGAGGAGAGCCGTATGAAGAGAGGGAGAGCCGTATGA
hsa-miR-485-5p	AATTCATCACGCCAGCCTTAATTCATCACGCCAGCCTCT
hsa-miR-486-3p	ATCCTGTACTGAGCTGCCATCCTGTACTGAGCTGCC
hsa-miR-486-5p	TCGGGGCAGCTCAGTACAGGATCGGGCAGCTCAGTACAGGA
hsa-miR-487a	AACTGGATGCCCTGTATGATTAAGTGATGCCCTGTATGATT
hsa-miR-487b	AAGTGGATGCCCTGTACGATTAAGTGGATGCCCTGTACGATT
hsa-miR-488	GACCAAGAAAAGCCTTCAAGACCAAGAAAAGCCTTCAA
hsa-miR-488*	TTGAGAGTGCCTATTCTGGTTGAGAGTGCCTATTCTGG
hsa-miR-489	CTGCCGTATATGTGATGTCAGTGCCTATATGTGATGTCA
hsa-miR-490-3p	AGCATGGAGTCCTCCAGGTTAGCATGGAGTCCTCCAGGTT
hsa-miR-490-5p	ACCCACCTGGAGATCCATGACCCACCTGGAGATCCATG
hsa-miR-491-3p	GTAGAAGGAACTTGCATAAGGTTAGAAGGAACTTGCATAAG
hsa-miR-491-5p	TCATGGAAGGGTCCCCACTTCATGGAAGGGTCCCCACT
hsa-miR-492	AAGAATCTTGTCCCCGAGGTCTAAGAATCTTGTCCCCGAGGTCT
hsa-miR-493	CTGGCACACAGTAGACCTCACTGGCACACAGTAGACCTTCA
hsa-miR-493*	AATGAAAGCCTACCAGTACAAAATGAAAGCCTACCAGTACAA
hsa-miR-494	AGGTTCCCGTGTATGTTCAAGGTTCCCGTGTATGTTCA
hsa-miR-495	AAGAAGTGCACCATGTTGTTAAGAAGTGCACCATGTTGTT
hsa-miR-496	GAGATTGGCCATGTAATACTCAGAGATTGGCATGTAATACTCA
hsa-miR-497	ACAAACACAGTGTGCTGCTGACAACACCAGTGTGCTGCTG
hsa-miR-497*	TCTAACACCACAGTGTGGTTCTAACACCACAGTGTGGTT
hsa-miR-498	GAAAAACGCCCTGGCTGAAAGAAAACGCCCTGGCTGAAA
hsa-miR-499-3p	AGCACAGACTGCTGTATGTTAGCACAGACTGCTGTATGTT
hsa-miR-499-5p	AAACATCACTGCAAGTCTAAACATCACTGCAAGTCTTA
hsa-miR-500	TCTCACCCAGGTAGCAAGGATTATCTCACCCAGGTAGCAAGGATTA
hsa-miR-500*	AGAATCTTGCCTCAGGTGCATAGAATCTTGCCTCAGGTGCAT
hsa-miR-501-3p	AGAATCTTGCCTCAGGTGCATTAGAATCTTGCCTCAGGTGCATT
hsa-miR-501-5p	TCTCACCCAGGACAAAGGATTCTCACCCAGGACAAAGGAT
hsa-miR-502-3p	TGAATCTTGCCTCAGGTGCATTGAATCTTGCCTCAGGTGCAT
hsa-miR-502-5p	TAGCACCCAGATAGCAAGGATTAGCACCCAGATAGCAAGGAT
hsa-miR-503	TGCAGAACTGTTCCCGCTGTATGCAGAACTGTTCCCGCTGCTA
hsa-miR-504	ATAGAGTGCAGACCAGGGCTATAGAGTGCAGACCAGGGCT
hsa-miR-505	AGGAAACCAGCAAGTGTGAAGGAAACCAGCAAGTGTGA
hsa-miR-505*	ACATCAATACTTCTGGCTCACATCAATACTTCTGGCT
hsa-miR-506	TCTACTCAGAAGGGTGCCTTATCTACTCAGAAGGGTGCCTTA
hsa-miR-507	TTCACTCCAAAAGGTGCAAAATTCACTCCAAAAGGTGCAAAA
hsa-miR-508-3p	TCTACTCCAAAAGGTCTACAATCATCTACTCCAAAAGGTCTACAATCA
hsa-miR-508-5p	ATGAGTGCAGCCCCTCTGGAGTAATGAGTGCAGCCCCTCTGGAGTA
hsa-miR-509-3-5p	CATGATTGCCACGTCTGCAGTCATGATTGCCACGTCTGCAGT
hsa-miR-509-3p	CTACCCACAGACGTACCAATCTTACCCACAGACGTACCAATC
hsa-miR-509-5p	TGATTGCCACTGTCTGAGTGTGATTGCCACTCTCTGAGT
hsa-miR-510	GTGATTGCCACTCTCTGAGTGTGATTGCCACTCTCTGAGT
hsa-miR-511	TGACTGCAGAGAAAAGACATGACTGCAGAGAAAAGACA
hsa-miR-512-3p	GACCTCAGCTATGACAGCACTGACCTCAGCTATGACAGCACT
hsa-miR-512-5p	AAAGTGCCTCAAGGCTGAGTAAAGTGCCTCAAGGCTGAGT
hsa-miR-513-3p	CCTTCTCAGAAAGGTGAAATTACCTCTCAGAAAGGTGAAATTAA
hsa-miR-513-5p	ATGACACCTCCCTGTGAAATGACACCTCCCTGTGAA
hsa-miR-514	TCTACTCACAGAAGTGTCAATTCTACTCACAGAAGTGTCAAT
hsa-miR-515-3p	AACGCTCCAAAAGAAGGCACTAACGCTCCAAAAGAAGGCACT
hsa-miR-515-5p	CAGAAAGTGTCTTCTTGGAGAACAGAAAGTGTCTTCTTGGAGAA
hsa-miR-516a-3p	ACCCCTGAAAGGAAGCAACCCCTGAAAGGAAGCA
hsa-miR-516a-5p	AAAGTGTCTTCTCCTCGAGAAAAAGTGTCTTCTCCTCGAGAA
hsa-miR-517*	AGACAGTGCCTCCATCTAGAAGACAGTGCCTCCATCTAGA
hsa-miR-517a	ACACTCTAAAGGGATGCACGATACACTCTAAAGGGATGCACGAT
hsa-miR-517b	AAACACTCTAAAGGGATGCACGAAACACTCTAAAGGGATGCACGAT
hsa-miR-517c	ACACTCTAAAGGTATGCACGATACACTCTAAAGGTATGCACGAT
hsa-miR-518a-3p	TCCAGCAAAGGGAAAGCGCTTCCAGCAAGGGAAAGCGCTTT
hsa-miR-518a-5p	GAAAGGGCTTCCCTTGAGAAAGGGCTTCCCTTGCA
hsa-miR-518b	ACCTCTAAAGGGAGCGCTTACCTCTAAAGGGAGCGCTTT
hsa-miR-518c	ACACTCTAAAGAGAAGCGCTTACACTCTAAAGAGAAGCGCTTT
hsa-miR-518c*	CAGAAAGTGTCTCCCTCCAGAGACAGAAAGTGTCTCCCTCCAGAGA
hsa-miR-518d-3p	CTCCAAAGGGAAGCGCTTCTCCAAAGGGAAGCGCTTT

hsa-miR-518e	CACTCTGAAGGGAAAGCGCTTCACTCTGAAGGGAAAGCGCTTT
hsa-miR-518f	CCTCTAACAGAGAACGCGCTTCCTCTAACAGAGAACGCGCTTT
hsa-miR-519a	ACACTCTAAAAGGATGCACTTACACTCTAAAGGATGCACCTT
hsa-miR-519b-3p	AACCTCTAAAAGGATGCACTTAACCTCTAAAGGATGCACCTT
hsa-miR-519c-3p	ATCCTCTAAAAGGATGCACTTATCCTCTAAAAGGATGCACCTT
hsa-miR-519d	ACTCTAACAGGGAGGCACCTTACTCTAACAGGGAGGCACCTT
hsa-miR-519e	AACACTCTAAAAGGAGGCACCTAACACTCTAAAGGAGGCACCTT
hsa-miR-519e*	AAAGTGCTCCCTTTGGAGAAAAAGTGCCTCCCTTTGGAGAA
hsa-miR-520a-3p	ACAGTCCAAAGGGAAGCACTTACAGTCAAAGGGAAGCACTT
hsa-miR-520a-5p	AGAAAGTACTTCCCTCTGGAAGAAAGTACTTCCCTCTGGA
hsa-miR-520b	CCCTCTAAAAGGAAGCACTTCCCTCTAAAAGGAAGCACTT
hsa-miR-520c-3p	ACCCCTCTAAAAGGAAGCACTTACCCCTCTAAAAGGAAGCACTT
hsa-miR-520d-3p	ACCCACCAAAGAGAAGCACTTACCCACCAAAGAGAAGCACTT
hsa-miR-520d-5p	GAAAGGGCTTCCCTTTGTAGAAAGGGCTTCCCTTTGTA
hsa-miR-520e	CCCTCAAAAGGAAGCACTTCCCTCTAAAAGGAAGCACTT
hsa-miR-520f	AACCCCTCTAAAAGGAAGCACTTAAACCCTCTAAAAGGAAGCACTT
hsa-miR-520g	ACACTCTAACAGGGAAAGCACTTGTACACTCTAACAGGGAAAGCACTTGT
hsa-miR-520h	ACTCTAACAGGGAAAGCACTTGTACTCTAACAGGGAAAGCACTTGT
hsa-miR-521	ACACTCTAACAGGGAAAGTGCCTACACTCTAACAGGGAAAGTGCCTT
hsa-miR-522	ACACTCTAACAGGGAAACCATTTCACACTCTAACAGGGAAACCATT
hsa-miR-522*	CAGAAAGCGCTTCCCTCTAGACAGAAAGCGCTTCCCTCTAGA
hsa-miR-523	ACCCCTATAGGGAAGCGCGTACCCCTCTAGGGAAGCGCGT
hsa-miR-524-3p	ACTCCAAAGGGAAGCGCCTTACTCCAAAGGGAAGCGCCTT
hsa-miR-524-5p	GAGAAAGTGTCTCCCTTTGTAGAGAAAGTGTCTCCCTTTGTA
hsa-miR-525-3p	CTCTAAAGGGAAGCGCCTCTCTAACAGGGAAAGCGCCTT
hsa-miR-525-5p	AGAAAGTGCATCCCTCTGGAGAGAAAGTGCATCCCTCTGGAG
hsa-miR-526a	AGAAAGTGTCCCTCTAGAAGAAAGTGTCTCCCTCTAGA
hsa-miR-526b	ACAGAAAGTGTCTCCCTCAAGAACAGAAAGTGTCTCCCTCAAGA
hsa-miR-526b*	GCCTCTAAAGGAAGCACTTGCCTCTAACAGGGAAAGCACTT
hsa-miR-532-3p	TGCAAGCCTGGGTGTGGATGCAAGCCTGGGTGTGGGA
hsa-miR-532-5p	ACGGTCCTACACTCAAGGCATACGGCCTACACTCAAGGCAT
hsa-miR-539	ACACACCAAGGATAATTCTCACACACCAAGGATAATTCTCC
hsa-miR-541	AGTCCAGATTCTGTGCCACCAAGTCCAGATTCTGTGCCACCA
hsa-miR-541*	AGTGGGACCGACAGCAGAATCCTTAGTGGGACCGACAGCAGAATCCTT
hsa-miR-542-3p	TTTCAGTTATCAATCTGTACATTCACTTCAATTCTGTACA
hsa-miR-542-5p	TCTCGTACATGATGATCCCCGATCTGTGACATGATGATCCCCGA
hsa-miR-543	AAGAAGTGCACCGCGAATGTTAAGAAGTGCACCGCGAATGTT
hsa-miR-544	GAACTTGCTAAAATGCAGAATGAACCTGCTAAAATGCAGAAT
hsa-miR-545	GCACACAATAATGTTGCTGAGCACACAATAATGTTGCTGA
hsa-miR-545*	TCATCTAATAAACATTACTGATCATCTAACAAACATTACTGA
hsa-miR-548a-3p	GCAAAAGTAATTGCCAGTTTGGCAAAAGTAATTGCCAGTTTG
hsa-miR-548a-5p	GTAAAACCTCGCAATTACTTTGGTAAAACCTCGCAATTACTTT
hsa-miR-548b-3p	ACAAAAGCAACTGAGGTTCTTGACAAAAGCAACTGAGGTTCTG
hsa-miR-548b-5p	GGCCAAAACCACAATTACTTTGGCCAAAACCACAATTACTTT
hsa-miR-548c-3p	GCAAAAGTAATTGAGATTTGGCAAAAGTAATTGAGATTTTG
hsa-miR-548c-5p	GGCAAAACCGCAATTACTTTGGCAAAACCGCAATTACTTT
hsa-miR-548d-3p	GCAAAAGAAACTGTGGTTTGCAAAAGAAACTGTGGTTTG
hsa-miR-548d-5p	GGCAAAACCAACAAATTACTTTGGCAAAACCAACAAATTACTTT
hsa-miR-549	AGAGCTCATCCATAGTGTCAAGAGCTCATCCATAGTGTCA
hsa-miR-550	TCTTACTCCCTCAGGCACTTCTACTCCCTCAGGCAC
hsa-miR-550*	ATGTGCCTGAGGGAGTAAGACATGTGCCTGAGGGAGTAAGAC
hsa-miR-551a	TGGAAACCAAGAGTGGGTCTGAAACCAAGAGTGGTC
hsa-miR-551b	CTGAAACCAAGTATGGTCGCGTCAAACCAAGTATGGTCGC
hsa-miR-551b*	GGTCTCACCCACGCTGATTGGTCTCACCCACGCTTGTATT
hsa-miR-552	TTGTCTAACCAAGTCACCTGTTGTCTAACCAAGTCACCTGTT
hsa-miR-553	AAAACAAAATCTACCGTTTAAACAAACATCTACCGTTT
hsa-miR-554	ACTGGCTGAGTCAGGACTAACTGGCTGAGTCAGGACTA
hsa-miR-555	ATCAGAGGTTCACTTACCCCTATCAGAGGTTCACTTACCC
hsa-miR-556-3p	AAAGATGAGCTAATGTAATATAAGATGAGCTAATGTAATAT
hsa-miR-556-5p	CTCATATTACAATGAGCTCATCCTCATATTACAATGAGCTCATC
hsa-miR-557	AGACAAGGCCACCGTGCAAAAGACAAGGCCACCGTGCAA
hsa-miR-558	ATTTGGTACAGCAGCTCAATTGGTACAGCAGCTA
hsa-miR-559	TTTGGTACATTACTTATTGGTACATTACTTAA
hsa-miR-560	GGCGGCCGGCGCAGGCGGCCGGCGC

hsa-miR-561	ACTTCAAGGATCTTAACTTTGACTTCAAGGATCTTAAACTTTG
hsa-miR-562	GCAAATGGTACAGCTACTTGCAATGGTACAGCTACTTT
hsa-miR-563	GGGAAACGTATGTCAACCTGGAAACGTATGTCAACCT
hsa-miR-564	CTGCTGACACCGTGCCTCTGCTGACACCGTGCCT
hsa-miR-565	AAACAGACATCGCAGCCAAAACAGACATCGCAGGCCA
hsa-miR-566	GTTGGGATCACAGGCGCGTGGGATCACAGGCGC
hsa-miR-567	TTCTGTCCTGGAAGAACATACTTCTGTCCTGGAAGAACATACT
hsa-miR-568	GTGTGTATACATTATACATGTGTGTATACATTATACAT
hsa-miR-569	ACTTTCCAGGATTCATTAACACTTCCAGGATTCATTAAC
hsa-miR-570	GCAAAGGTAATTGCTGTTTGGCAAAGGTAATTGCTGTTTCG
hsa-miR-571	CTCACTCAGATGGCCAACTCACTCACTCAGATGGCCAACCTCA
hsa-miR-572	TGGGCCACCGCCGAGCGGGATGGGCCACCGCCGAGCGGA
hsa-miR-573	CTGATCAGTTACACATCACTTCACTGATCAGTTACACATCACTCA
hsa-miR-574-5p	ACACACTCACACACACACTCAACACACTCACACACACACTCA
hsa-miR-575	GCTCCTGTCACACTGGCTGTCCTGTCACACTGGCT
hsa-miR-576-3p	GATTCCAATTTCACATCTGATTCCAATTTCACATCTT
hsa-miR-576-5p	AAAGACGTGGAGAAATTAGAATAAAAGACGTGGAGAAATTAGAAT
hsa-miR-577	CAGGTACCAATATTTATCTACAGGTACCAATATTTATCTA
hsa-miR-578	ACAATCCTAGAGCACAAGAAGACAATCTAGAGCACAAGAAG
hsa-miR-579	AATCGCGTTTATACCAAATGAAAATCGCGTTTATACCAAATGAA
hsa-miR-580	CCTAATGATTCTACATTCTAACCTAATGATTCTACATTCTCAA
hsa-miR-581	ACTGATCTAGAGAACACAAGAACTGATCTAGAGAACACAAGA
hsa-miR-582-3p	GGTTCAGTTGTTCAACCAGTTAGGTTCAGTTGTTCAACCAGTTA
hsa-miR-582-5p	AGTAAC TGTTGAACAACTGTAAGTAACGGTTGAACAACTGTAA
hsa-miR-583	GTAATGGGACCTCCCTTTGTATGGGACCTCCCTCTT
hsa-miR-584	CTCAGTCCCAGGCAAACCAACTCAGTCCCAGGCAAACCCATA
hsa-miR-585	TAGCATACAGATA CGCCCATAGCATACAGATA CGCCA
hsa-miR-586	GGACCTAAAAATACAATGCATAGGACCTAAAATACAATGCATA
hsa-miR-587	GTGACTCATCACCTATGGAAGTGACTCATCACCTATGGAAA
hsa-miR-588	TTCTAACCCATTGTGCCAATTCTAACCCATTGTGCCA
hsa-miR-589	TCAGAGCAGACGTGGTTCTCATCAGAGCAGACGTGGTTCTCA
hsa-miR-589*	TCTGGGACCGGCATTGTTCTGTCTGGGAACCGGCATTGTTCTG
hsa-miR-590-3p	ACTAGCTTACATAAAATTAACTAGCTTACATAAAATTAA
hsa-miR-590-5p	CTGCACTTTATGAATAAGCTCCTGCACTTTATGAATAAGCTC
hsa-miR-591	ACAATGAGAACCCATGGTCTACAATGAGAACCCATGGTCT
hsa-miR-592	ACATCATCGCATATTGACACAAACATCATCGCATATTGACACAA
hsa-miR-593	AGAAACCCCAGCAGAGACAAGAAACCCCAGCAGAGACA
hsa-miR-593*	TGAGCAATGCCTGGCTGGCCTTGAGCAATGCCTGGCTGGCCT
hsa-miR-595	AGACACACCACGGCACACTTAGACACACACCACGGCACACTT
hsa-miR-596	AGGAGCCCCGGCAGGCCATTAGGAGCCGGGAGGCC
hsa-miR-597	ACAGTGGTATCGAGTGACACACAGTGGTATCGAGTGACAC
hsa-miR-598	TGACGATGACAACGATGACGTATGACGATGACAACGATGACGTA
hsa-miR-599	GTTTGATAAACTGACACAAACGTTGATAAAACTGACACAAC
hsa-miR-600	AGCAAGGCCTTGTCTGTAAGTAGCAAGGCTTGTCTGTAAGT
hsa-miR-601	CTCCCTCCAACAATCCTAGACCCCTCCTCCAACAATCCTAGACC
hsa-miR-602	GCAGCTGTGCCGTGTGCAGCTGTGCCGTGT
hsa-miR-603	GCAAAAGTAATTGCA GTGTGGCAAAGTAATTGCA GTGTGTG
hsa-miR-604	GTCCTGAATTCCGCAGCCTGTCTGAATTCCGCAGCCT
hsa-miR-605	AGGAGAAGGCACCATGGGATTAAAGGAGAAGGCACCATGGGATTAA
hsa-miR-606	ATCTTTGATTTCACTAGTTATCTTGATTTCACTAGTT
hsa-miR-607	GTTATAGATCTGGATTGAACGTTAGATCTGGATTGAAC
hsa-miR-608	ACGGAGCTGCCAACACCCACCCCTACGGAGCTGCCAACACCCCT
hsa-miR-609	AGAGATGAGAGAACACCCCTAGAGATGAGAGAACACCCCT
hsa-miR-610	TCCCAGCACACATTAGCTCATCCAGCACACATTAGCTCA
hsa-miR-611	TCAGACCCCCGAGGGGTCTTCAGACCCCCGAGGGGTCT
hsa-miR-612	AAGGAGCTCAGAACGCCCTGCCAACAGGAGCTCAGAACGCCCTGCCA
hsa-miR-613	GGCAAAGAAGGAACATTCTGGCAAAGAAGGAACATTCT
hsa-miR-614	ACCTGGCAAGAACAGGCGTTACCTGGCAAGAACAGGCGTT
hsa-miR-615-3p	AAGAGGGAGACCCAGGCTCGGAAAGAGGGAGACCCAGGCTCGGA
hsa-miR-615-5p	GATCCGAGCACCGGGGAGATCCGAGCACCAGGGGA
hsa-miR-616	CTGCTCAAACCCCTCCAATGACCTGCTCAAACCCCTCCAATGAC
hsa-miR-616*	AAGTCACTGAAGGGTTTGAGTAAGTCACTGAAGGGTTTGAGT
hsa-miR-617	GCCACCTCAAATGGGAAGTCGCCACCTCAAATGGGAAGTC
hsa-miR-618	ACTCAGAAGGACAAGTAGAGTTACTCAGAAGGACAAGTAGAGTT

hsa-miR-619	ACTGGGCACAAACATGTCCAGGTACTGGGCACAAACATGTCCAGGT
hsa-miR-62	TCCAACCTCAGCAGACTGTTCCAACCTCAGCAGACTGT
hsa-miR-620	ATTCTATATCTATCTCATATTCTATATCTATCTCAT
hsa-miR-621	AGGTAAGCGCTGTTGCTAGAGGTAAGCGCTGTTGCTAG
hsa-miR-623	ACCCAACAGCCCCCTGCAAGGGATAACCAACAGCCCCCTGCAAGGGAT
hsa-miR-624	AGGTAATACCAATACCTTGTGAGGTAATACCAATACCTTGTG
hsa-miR-624*	TGAACACAAGGTACTGGTACTATGAACACAAGGTACTGGTACTA
hsa-miR-625	GACTATAGAACCTTCCCCCTGACTATAGAACCTTCCCCCT
hsa-miR-625*	TGAGGGGGAAAGTTCTATAGTTGAGGGGGAAAGTTCTATAGT
hsa-miR-626	AAGACATTTTCAGACAGCTAACAGACATTTTCAGACAGCT
hsa-miR-627	TCCTCTTTCTTAGAGACTCACTCCTCTTTCTTAGAGACTCAC
hsa-miR-628-3p	TCGACTGCCACTCTTACTAGATCGACTGCCACTCTTACTAGA
hsa-miR-628-5p	CCTCTAGTAAATATGTCAGCATCCTCTAGTAAATATGTCAGCAT
hsa-miR-629	AGTTCTCCAACGTAACCCAAGTTCTCCAACGTAACCCA
hsa-miR-630	ACCTTCCCTGGTACAGAACACTACCTTCCCTGGTACAGAACACT
hsa-miR-631	TGAGGTCTGGGCCAGGTCTTGAGGTCTGGGCCAGGTCT
hsa-miR-632	TCCCCACAGGAAGCAGACACTCCCACAGGAAGCAGACAC
hsa-miR-633	TTTATTGTGGTAGATACTATTAGTTATTGTGGTAGATACTATTAG
hsa-miR-634	TCCAAAGTTGGGTGCTGGTTCCAAGTTGGGTGCTGGTT
hsa-miR-635	ACATTGTTCACTGCCCAGTACATTGTTCACTGCCCAGT
hsa-miR-636	TGCGGGCGGGACGAGCAAGCACATCGGGCGGGACGAGCAAGCACA
hsa-miR-637	ACGCAGAGCCCCGAAAGCCCCCAGTACGCAGAGCCCCGAAAGCCCCCAGT
hsa-miR-638	AGGCCGCCACCCGCCCGATCCCTAGGCCGCCACCCGCCCGATCCCT
hsa-miR-639	ACAGCGCTCGCAACCGCAGCGATACAGCGCTCGCAACCGCAGCGAT
hsa-miR-640	AGAGGCAGGTTCTGGATCATAGAGGCAGGTTCTGGATCAT
hsa-miR-641	AGGTGACTCTATCCTATGTTAGGTGACTCTATCCTATGTC
hsa-miR-642	AAGACACATTGGAGAGGGAAAGACACATTGGAGAGGGAA
hsa-miR-643	TACCTGAGCTAGCATACAAGTTACCTGAGCTAGCATACAAGT
hsa-miR-644	GCTCTAAGAAAGCCACACTGCTCTAACGAAAGCCACACT
hsa-miR-645	TCAGCAGTACCAGCCTAGATCAGCAGTACCGCCTAGA
hsa-miR-646	CCTCAGAGGCAGCTGCTCCTCAGAGGCAGCTGCTT
hsa-miR-647	AAGGAAGTGAAGTGCAGCAAAGGAAGTGAAGTGCAGCCA
hsa-miR-648	ACCACTGCCCTGCACACTTACCACTGCCCCGCACACTT
hsa-miR-649	GACTCTGAACAACACAGGTTGACTCTTGAACAACACAGGTT
hsa-miR-650	TCCTGAGAGCGCTGCCCTCCTGAGAGCGCTGCCCT
hsa-miR-651	CAAAAGTCAAGCTTACCTAAACAAAAGTCAAGCTTATCCTAA
hsa-miR-652	ACAACCTAGTGGGCCATTACAACCTAGTGGGCCATT
hsa-miR-653	CAGTAGAGATTGTTCAACACCAGTAGAGATTGTTCAACAC
hsa-miR-654-3p	AAGGTGATGGTCAGCAGACATAAAGGTGATGGTCAGCAGACATA
hsa-miR-654-5p	ACATGTTCTGCCGCCACCAACATGTTCTGCCGCCACCA
hsa-miR-655	AAAGAGGTTAACATGTATTATAAGAGGTTAACATGTATTAT
hsa-miR-656	AGAGGTTGACTGTATAATTAGAGGTTGACTGTATAATT
hsa-miR-657	CTAGAGAGGGTGAGAACCTCTAGAGAGGGTGAGAACCT
hsa-miR-658	ACCAACGGACCTACTCCCTACCAACGGACCTACTCCCT
hsa-miR-659	TGGGGACCCCTCCCTGAACCAATGGGGACCCCTCCCTGAACCAA
hsa-miR-660	AACTCCGATATGCAATGGTAAACTCCGATATGCAATGGTAA
hsa-miR-661	ACGCGCAGGCCAGAGACCCAGGCAACGCGCAGGCCAGAGACCCAGGCA
hsa-miR-662	TGCTGGGCCACAACGTGGATGCTGGGCCACAACGTGGGA
hsa-miR-663	TCCCGCGGGGCCCGCCCTCCCGCGGCCGCCCT
hsa-miR-665	AGGGGCCTCAGCCTCCTGGTAGGGGCTCAGCCTCCTGGT
hsa-miR-668	TAGTGGGCCAGGCCAGTGACATAGTGGCCAGGCCAGTGACA
hsa-miR-671-3p	TGGAGCCCTGAGAACCGGATGGAGCCCTGAGAACCGGA
hsa-miR-671-5p	TCCAGCCCCCTCCAGGGCTTCCCTCAGCCCTCCAGGGCTTCC
hsa-miR-672	TCACACACAGTACACCAACCTCATCACACACAGTACACCAACCTCA
hsa-miR-674	TACACCACTCCATCTCAGTGTACACCACCTCCATCTCAGTG
hsa-miR-675	ACTGTGGGCCCTCTCCGCACCAACTGTGGCCCTCTCCGCACCA
hsa-miR-7	ACAACAAAATCACTAGTCTCCAACAACAAAATCACTAGTCTCCA
hsa-miR-7-1*	TATGGCAGACTGTGATTGTTAGGTAGACTGGGATTGTT
hsa-miR-7-2*	TTAGGTAGACTGGGATTGTTAGGTAGACTGGGATTGTT
hsa-miR-708	CAGCTAGATTGTAAGCTCCTCAGCTAGATTGTAAGCTCCTT
hsa-miR-708*	CTAGAACGCTCACAGTCTAGTCTAGAACGCTCACAGTCTAGTT
hsa-miR-744	TGCTGTTAGCCCTAGCCCCGATGCTGTTAGCCCTAGCCCCGCA
hsa-miR-744*	AGGTTGAGGTTAGTGGCAACAAGGTTGAGGTTAGTGGCAACA
hsa-miR-758	GGTTAGTGGACCAGGTACAAGGTTAGTGGACCAGGTACAA

hsa-miR-760	TCCCCACAGACCCAGAGTCCCCACAGACCCAGAG
hsa-miR-765	CATCACCTCCTCTCCTCCACATCACCTCCTCCTCCA
hsa-miR-766	TGAGGCTGGGGCTGGAGTTGAGGCTGTGGGGCTGGAGT
hsa-miR-767-3p	AGAAACCATGGGGTATGAGCAGAAGAACCATGGGGTATGAGCAGA
hsa-miR-767-5p	CATGCTCAGACAACCATGGTCACATGCTCAGACAACCATGGTCA
hsa-miR-768-3p	TCAGCAGTTGAGTGTCAKGATTGATCAGCAGTTGAGTGTCAKGATTGTA
hsa-miR-768-5p	ATCACTCCGACTTTCATCCTCCAAATCACTCCGACTTTCATCCTCAA
hsa-miR-769-3p	AACCAAGACCCCGGAGATCCAAACCAAGACCCCGGAGATCCCA
hsa-miR-769-5p	AGCTCAGAACCCAGAGGTCTCAAGCTCAGAACCCAGAGGTCTCA
hsa-miR-770-5p	TGGCCCTGACACGTGGTACTGGATGGCCCTGACACGTGGTACTGGA
hsa-miR-801	TCGATTCCGCACGCAGAGCAATTGATTCCGCACGCAGAGCAAT
hsa-miR-802	ACAAGGATGAATCTTGTACTGACAAGGATGAATCTTGTACTG
hsa-miR-871	CATGACTGGCACTAATCTGAATACATGACTGGCACTAATCTGAATA
hsa-miR-872	CCTGAACTAACAAGTAACCTCTGAACTAACAAGTAACCTT
hsa-miR-873	AGGAGACTCACAAGTTCCTGCAGGAGACTCACAAGTTCCTGC
hsa-miR-874	TCGGTCCCTCGGGCCAGGGCATGGTCCTCGGGCCAGGGCA
hsa-miR-875-3p	CACAACCTCAGTTCCAGGCACAACCTCAGTTCCAGG
hsa-miR-875-5p	CACCTGATAAAACTGAGGTATACACCTGATAAAACTGAGGTATA
hsa-miR-876-3p	TGAATTACTTGTAACACCACATGAATTACTTGTAAACCACCA
hsa-miR-876-5p	TGGTGATTACAAAGAAATCCATGGTGATTCAAAAGAAATCCA
hsa-miR-877	CCTGCGCCATCTCTTACCTGCGCCATCTCTCTA
hsa-miR-877*	TGGGAGGAGGGAGAAGAGGATGGGAGGAGGGAGAAGAGGA
hsa-miR-885-3p	TATCCACTACACCCCGCTGCCTTATCCACTACACCCCGCTGCCT
hsa-miR-885-5p	AGAGGCAGGGTAGTGTATGGAGAGGCAGGGTAGTGTATGG
hsa-miR-886-3p	AAGGGTCAGTAAGCACCCGAAGGGTAGTAAAGCACCCG
hsa-miR-886-5p	CCGCTTGAGCTAACTCCGACCGCTTGAGCTAACTCCGA
hsa-miR-887	TCGGGATGGCGCCCGTTCATGGGATGGCGCCCGTTCA
hsa-miR-888	TGACTGACAGCTTTTGAGTATGACTGACAGCTTTGAGTA
hsa-miR-888*	TTCACCCAAAGAGGTGTCAGTTACCCAAAGAGGTGTCAGT
hsa-miR-889	ACAATGGTTGTCGATATTAAACAATGGTTGTCGATATTAA
hsa-miR-890	CAACTGATGCCCTTCCAAGTACAACACTGATGCCCTTCCAAGTA
hsa-miR-891a	TCAGTGGCTCAGGTTGTCATCAGTGGCTCAGGTTGTCAGT
hsa-miR-891b	TCAATGACTCAGGTAAGTTGTCATCAATGACTCAGGTAAGTTGCA
hsa-miR-892a	CTACGCAGAAAGGACACAGTGCCTACGCAGAAAGGACACAGTG
hsa-miR-892b	TCTACCCAGAAAGGCCAGTTCTACCCAGAAAGGAGCCAGT
hsa-miR-9	TCATACAGCTAGATAACCAAAGATCATACTAGCTAGATAACCAAAGA
hsa-miR-9*	ACTTTCGTTATCTAGTTTACTTCGTTATCTAGCTTTAT
hsa-miR-920	TACTGCTTCCACAGCTCCACTGCTTCCACAGCTCCC
hsa-miR-921	GAATCCTGGTTCTGTCCTCACTAGGAATCCTGGTTCTGCCCTCACTAG
hsa-miR-922	GACGTAGTCTTATTCTGCTGCCAGTCTGCTTCTGCTGC
hsa-miR-923	AGTTTCTTCCCGCTGAAGTTCTTCCCGCTGA
hsa-miR-924	GCAAGACATCACAAGACTCTGCAAGACATCACAAGACTCT
hsa-miR-92a	ACAGGCCGGGACAAGTGCATAAACAGGCCGGACAAGTGCATA
hsa-miR-92a-1*	AGCATTGCAACCGATCCAACCTAGCATTGCAACCGATCCCAACCT
hsa-miR-92a-2*	GTAATGCAACAAATCCCCACGTAATGCAACAAATCCCCAC
hsa-miR-92b	AGGCCGGGACGAGTGCATAAGGCCGGGACGAGTGCAATA
hsa-miR-92b*	ACTGCACCGCGTCCCGTCCACTGCACCGCGTCCCGTCCCT
hsa-miR-93	CTACCTGCACGAACAGCACTTGTACCTGCACGAACAGCACTTG
hsa-miR-93*	GAAGTGTAGCTCAGCAGTGAAGTGTAGCTCAGCAGT
hsa-miR-933	AGAGGTCTCCCTGCGACAAGAGGTCTCCCTGCGCACA
hsa-miR-934	CCAGTGTCTCCAGTAGTAGACCCAGTGTCTCCAGTAGTAGAC
hsa-miR-935	GGTAGCGGAAGCGGTAACTGGTAGCGGAAGCGGTAAC
hsa-miR-936	TGCGATTCCCTCCCTACTGTTGCGATTCCCTCCCTACTGT
hsa-miR-937	AGAGAGTCAGAGCGCGGATAGAGAGTCAGAGCGCGGAT
hsa-miR-938	ACTGGGTTACCTTAAGGGCACTGGGTTACCTTAAGGGC
hsa-miR-939	ACCCCCAGAGCCTCAGCTCCCCAACCCCCAGAGCCTCAGCTCCCCA
hsa-miR-940	GGGGAGCGGGGCCCTGCCTGGGAGCGGGGGGCCCTGCCT
hsa-miR-941	ACATGTGCACACAGCCGGTACATGTGCACACAGCCGGT
hsa-miR-942	ACATGGCCAAAACAGAGAAGAACATGGCAAAACAGAGAAGA
hsa-miR-943	TGGAGGACGGCAACAGTCATGGAGGACGGCAACAGTC
hsa-miR-944	CTCATCCGATGTACAATAATTCTCATCCGATGTACAATAATT
hsa-miR-95	TGCTCAATAAAATACCCGTTGAATGCTCAATAAAATACCCGTTGAA
hsa-miR-96	AGCAAAAATGTGCTAGTGCAAAAGCAAAATGTGCTAGTGCAAA
hsa-miR-96*	CATATTGGCACTGCACATGATTGCACTGCACATGATT

hsa-miR-98	AACAATACAACCTACTACCTCAAACAATACAACCTACTACCTCA
hsa-miR-99a	CACAAGATCGGATCTACGGGTACAAGATCGGATCTACGGGT
hsa-miR-99a*	CAGACCCATAGAAGCGAGCTCAGACCCATAGAAGCGAGCTT
hsa-miR-99b	CAAGGTCGGTTCTACGGGTCAAGGTCGGTTCTACGGGT
hsa-miR-99b*	GACCCACAGACACGAGCTGACCCACAGACACGAGCTT
1514-mut1-rno-mir-15b	TGTAAACCATGATGTTCTGCTATGTAACCATGATGTTCTGCTA
1515-mut2-rno-mir-15b	TGTAAAGCATGATGTTCTGCTATGTAACCATGATGTTCTGCTA
1517-shuf-rno-mir-15b	TCATATATTCCGGCAGTAGAGCTCATATATTCCGGCAGAGCT
1518-mut1-rno-mir-16	CGCCAATATTACGTGCTGGTACGCCAATATTACGTGCTGGTA
1519-mut2-rno-mir-16	CGCCAATATTAGGTGCTGGTACGCCAATATTAGGTGCTGGTA
1521-shuf-rno-mir-16	CCCAGCATTATCCGTGGTACCCAGCATTATCCGTGGTATA
1523-mut2-cel-mir-246	AGCTCCTACCCGAAAGATTAAAGCTCCTACCCGAAAGATTAA
1524-rev-cel-mir-246	TTACATGTTCGGGTAGGAGCTTACATGTTCGGGTAGGAGCT
1525-shuf-cel-mir-246	CTAAGCAAAATAGCCGTTACCCCTAACGAAAATAGCCGTTACCC
1526-mut1-has-mir-93	CTACCTTCACGAACAGCACTTACCTCACGAACACAGCACTT
1527-mut2-has-mir-93	CTACCTTCACGAACAGCAGTTACCTCACGAACACAGCAGTT
1529-shuf-has-mir-93	AATCCCTCCCGAAGTCGCTAAATCCCTCCGAAGTCGCTAA
1530-mut1-mir-150	ACTGGTACAAGGGTTGTGAGAACTGGTACAAGGGTTGTGAGA
1531-mut2-mir-150	ACTGGTAGAAGGGTTGTGAGAACTGGTAGAAGGGTTGTGAGA
1532-rev-mir-150	TCTCCCAACCCTTGACAGTTCTCCAACCCCTGTACCAAGT
1533-shuf-mir-150	AGCATGGTGTGAACCGAACGGTAGCATGGTGTGAACCGAACGGT
1534-mut1-has-mir-27a	GCGGAACTTAGGCACTGTGAAGCGGAACCTAGGCACGTGAA
1535-mut2-has-mir-27a	GCGGAAGTTAGGCACTGTGAAGCGGAAGTTAGGCACGTGAA
1537-shuf-has-mir-27a	TAGCGAACGAGCCACTGTAGTTAGCGAACGAGCCACTGTAGT
1538-mut1-mir-200c	TCCATCATTACCCGGCATTATTCCATCATTACCCGGCATTATT
1539-mut2-mir-200c	TCCATCATTACCCCTGCATTATTCCATCATTACCCCTGCATTATT
1541-shuf-mir-200c	TTGCCAACCTCCTCAGGATATTGCCAACCTCCTCAGGATAT
1542-mut1-mmu-mir-191	AGCTGCTTTGGGATTGCGTTAGCTGCTTTGGGATTGCGTT
1543-mut2-mmu-mir-191	CTGTCTGCGGATTGCGTTACTGTCCTGCGGATTGGTTCA
1545-shuf-mmu-mir-191	CATACGACTTGTACAACCAAACATACGACTTTGTACAACCAA
1546-mut1-cel-mir-244	CATACGACTTGTAGAACCAAACATACGACTTTGTAGAACCAA
1547-mut2-cel-mir-244	TAAACCCAGACATTACTACACTAAACCCAGACATTACTATCAC
1549-shuf-cel-mir-244	ACACTAAAACACTGGCGGGACTACACTCAAACCTGGCGGGACT
1550-mut1-mmu-mir-292	ACACTAAAAGCTGGCGGGACTACACTCAAAGCTGGCGGGACT
1551-mut2-mmu-mir-292	TAAGACCGACGACGACCTCTACTAACGACCGACGACCTCTAC
1553-shuf-mmu-mir-292	ACACGAATGCCCTAGGGGATACCGAATGCCCTAGGGGAT
1554-mut1-mir-324	ACACGAATCGCCTAGGGGATACCGAATCGCCTAGGGGAT
1555-mut2-mir-324	ACAACTAGGGTACCGCCAGTACAACTAGGGTACCGCCAGT
1557-shuf-mir-324	CTTCAGCTATCACAGTACTTACTTCAGCTATCACAGTACTTTA
1558-mut1-rno-mir-101b	CTTGAGCTATCACAGTACTTACTTGAGCTATCACAGTACTTTA
1559-mut2-rno-mir-101b	TAGCCAGACTATTAGATCTCCTAGCCAGACTATTAGATCTCCT
1561-shuf-rno-mir-101b	CAATCAGCTAAGTACACTGCCTCAATCAGCTAAGTAGACTGCT
1562-mut1-mir-34c	AGGCAGTGTAGTTAGCTGATTGAGGCAGTGTAGTTAGCTGATTG
1563-mut2-mir-34c	GGATCTAACCTCACAAACTCCGGATCTAACCTCACAAACTCC
1564-rev-mir-34c	ACACTTACTGAGGACCTACTAGACACTTACTGAGGACCTACTAG
1565-shuf-mir-34c	ACAGTTACTGAGGACCTACTAGACAGTTACTGAGGACCTACTAG
1566-mut1-mmu-mir-325	CAAACCATGGTCAAACCGCTTCAAACCATGGTCAAACCGCTT
1567-mut2-mmu-mir-325	CCAAGTTCTGTCATGCACTCACCAAGTTGTCTCATGCACCTCA
1569-shuf-mmu-mir-325	CCAATTCTGTCATGCACTCACCAATTCTGTCTCATGCACCTCA
1570-mut1-has-mir-152	ACTGGATAGCACCAGCTGTACTGGATAGCACCAAGCTGTGTT
1571-mut2-has-mir-152	ACTGGATAGCACCAGCTTGTACTGGATAGCACCAAGCTGTGTT
1574-mut1-dme-mir-317	ACACAGCTGGTGGTATCCAGTACACAGCTGGTGGTATCCAGT
1575-mut2-dme-mir-317	GCAAGAACTCAGACTTGTAGGGCAAGAACCTGAGCTTGTGATG
1576-rev-dme-mir-317	GCAAGAACTCAGACTTGTAGGGCAAGAACCTGAGCTTGTGATG
1578-mut1-dme-mir-11	ACAACAAAATCACTATTCTCCACAACAAAATCACTATTCTCC
1579-mut2-dme-mir-11	ACAACAAAATCACTATTCTCCACAACAAAATCACTATTCTCC
1582-mut1-dme-mir-7	GGAAAGACTAGTGTAGTTGTTGGAGACTAGTGTAGTTGTTGT
1583-mut2-dme-mir-7	TTAGCTGATGTACACCGCGGTAGCTGATGTACACCGCGGTG
1584-rev-dme-mir-7	TTAGCTGATTTACACCGCGGTAGCTGATTTACACCGCGGTG
1586-mut1-cel-mir-40	CACCGGGTGTACATCAGCTAACACCGGGTGTACATCAGCTAA
1587-mut2-cel-mir-40	AGCTCCTACCCGAAAGATGTAAGCTCCTACCCGAAAGATGTAAC
1588-rev-cel-mir-40	TCCAGATTCAAATTATCTTTCCAGATTCAAATTATCTTT
522-mut1-cel-mir-246	
IVGN-novel-miR_3301	

IVGN-novel-miR_3302	TTCCTCTCAACCCAGCTTTTCCCTCAACCCAGCTTT
IVGN-novel-miR_3303	CCCTCTCAACCCAGCTTTCCCTCAACCCAGCTTT
IVGN-novel-miR_3304	TTCACCCTCTCAACCCAGCTTTTCAACCCAGCTTT
IVGN-novel-miR_3305	AGCAAATCCGCAAGTACTTTAGCAAAATCCGCAAGTACTTT
IVGN-novel-miR_3306	TACTCTCTACAAGGTTTACTCTCTACAAGGTT
IVGN-novel-miR_3307	TGGTCAGAGAAAAAGCTTTGGTCAGAGAAAAAGCTTT
IVGN-novel-miR_3308	CGTTCACCAACATTGCTTCGTTACCCAACATTGCTTT
IVGN-novel-miR_3309	GGGCCTTCGCGATGCTTGGGCCCTCGCGATGCTTT
IVGN-novel-miR_3310	ATTCTATCGCCTATACTTATTCTATCGCCTATACTTT
IVGN-novel-miR_3311	TGGGCCGATAGCTTGGGCCGATAGCTTATT
IVGN-novel-miR_3312	ATACATACTCTTACATTACATACATTCTTACATT
IVGN-novel-miR_3313	ATGCAGTCGAGTTCCCACATTATGCAGTCGAGTTCCCACATT
IVGN-novel-miR_3314	TTATGCAGTCGAGTTCCCACATTATGCAGTCGAGTTCCCACATT
IVGN-novel-miR_3315	TTGCAGTCCTAGCTTTGCAGTCCTAGCTGTT
IVGN-novel-miR_3316	TTGAGAATAGGTTGAGATGTTGAGAATAGGTTGAGATCGTT
IVGN-novel-miR_3317	TCAGAGCGGTCAAGTTAACGTTAGCTTCAAGGCGGTCAAGTTAACGTT
IVGN-novel-miR_3318	AGTCAAGCTAACAGGGCTTCTTAGTCAGTCACAGCTAACAGGGCTTCTT
IVGN-novel-miR_3319	TTCTACACCTCTCATGTCCTTCTACACCTCTCATGTCCTT
IVGN-novel-miR_3320	CCAGATTCAAATTATCTTCCAGATTCAAATTATCTT
IVGN-novel-miR_3321	TCCCAAGATCCAACACTACGAGCTTCCAAGATCCAACACTACGAGCTT
IVGN-novel-miR_3322	TCCATGTTCCCGTCTCTTCCATGTTCCCGTCTCTT
IVGN-novel-miR_3323	TCTCAATAGACTGTGAGCTCCTTCTCAATAGACTGTGAGCTCCTT
IVGN-novel-miR_3324	TTGTCGCAGCAGTCTGCGCCCTTGTTCGCAGCAGTCTGCGCCCTT
IVGN-novel-miR_3325	TTAATTAAAGCTAACGCCCTTTAATTAAAGCTAACGCCCTT
IVGN-novel-miR_3326	GCCTCGATCAGAAGGACTTGCCCTCGATCAGAAGGACTT
IVGN-novel-miR_3327	CTCTACACGTTCAGAGAAACTTCTACACGTTCAGAGAAACTT
IVGN-novel-miR_3328	ACTCTACACGTTCAGAGAAACTTACTCTACACGTTCAGAGAAACTT
IVGN-novel-miR_3329	GCATCACAGACCTGTTATTGCATCACAGACCTGTTATT
IVGN-novel-miR_3330	AAACGATCAGAGTAGTGGTATTAAACGATCAGAGTAGTGGTATT
IVGN-novel-miR_3331	AAGCCTACAGCACCCGGTATTAAAGCCTACAGCACCCGGTATT
IVGN-novel-miR_3332	TGGCAGAAATTAAAGTATTGGCAGAAATTAAAGTATT
IVGN-novel-miR_3333	TCCTCAAGAGTCTTCAGATTCCTCAAGAGTCTTCAGATT
IVGN-novel-miR_3334	TCAGACGCCATTCCATTTCAGACGCCATTCCATT
IVGN-novel-miR_3335	TTGCCCAAATGGGCCATTGGCCAAATGGGCCATT
IVGN-novel-miR_3336	TCCATTATGCGCGTCACTAATTCCATTATGCGCGTCACTAATT
IVGN-novel-miR_3337	ACAATCCAACGCTTGGTGAATTACAATCCAACGCTTGGTGAATT
IVGN-novel-miR_3338	TGGCTCGAGCTGTGTTGGCTCGAGCTGTGTGCTGT
IVGN-novel-miR_3339	AGAGAAACGAGCCGTGAGTGTAGAGAAACGAGCCGTGAGTGT
IVGN-novel-miR_3340	CCGTCATAAAGTCATCATCTGCGTCAATAAGTCATCATCTGT
IVGN-novel-miR_3341	TCCTGCCTGCTGTGCGCTGCTGTTCTGCGCTGCTGTGCTGT
IVGN-novel-miR_3342	CCTCTGACTCCAAGTCTGTGCTTCTGACTCCAAGTCTGT
IVGN-novel-miR_3343	AACCAATCTGCAGACTACTGTAACCAATCTGCAGACTACTGT
IVGN-novel-miR_3344	AAACATCCAACGCTTGGTAAACATCCAACGCTTGGT
IVGN-novel-miR_3345	TGTTCTAGGTAGCTCGTCTGGTGTCTAGGTAGCTCGTCTGGT
IVGN-novel-miR_3346	TAACCACCGGCCATCCTGGTTAACCACTCGGCCATCCTGGT
IVGN-novel-miR_3347	TCCATTAGGCCACGCCGTTCCATTAGGCCACGCCGT
IVGN-novel-miR_3349	AAAAGTGAGACCTCTGAGGTAAAAGTGAGACCTCTGAGGT
IVGN-novel-miR_3350	TAATGGCAGGATCAACCAGGTTACTGGCAGGATCAACCAGGT
IVGN-novel-miR_3351	ATGCTCGTGTCTACGTATGCTGTGTCTACGT
IVGN-novel-miR_3353	AGCTCACGTTCCCTATTAGTAGCTCACGTTCCCTATTAGT
IVGN-novel-miR_3354	GAGTGATCCACCGCTAACAGTGAGTGATCCACCGCTAACAGT
IVGN-novel-miR_3355	AAGACTAGTCAGTGCAGTAAGACTAGTCAGTCAGT
IVGN-novel-miR_3356	AGCCAGTCAAATTAGCAGTAGCCAGTCAGTCAGT
IVGN-novel-miR_3357	TTCTGGCTCCAAGTCCAGTTCTGGCTCCAAGTCCAGT
IVGN-novel-miR_3358	TGCCTCTGGCTCCAAGTCCAGTTCTGGCTCCAAGTCCAGT
IVGN-novel-miR_3359	TAATGGCTCCAAGTCCAGTTCTGGCTCCAAGTCCAGT
IVGN-novel-miR_3360	TCTGCCTCCAAGTCCAGTTCTGGCTCCAAGTCCAGT
IVGN-novel-miR_3361	CTTTGACTCCAAGTCCAGTCTTGTACTCCAAGTCCAGT
IVGN-novel-miR_3362	GCCTTGACTCCAAGTCCAGTGCCTTGACTCCAAGTCCAGT
IVGN-novel-miR_3363	TCTGACTCCAAGTCCAGTTCTGACTCCAAGTCCAGT
IVGN-novel-miR_3364	TGGCTCTGACTCCAAGTCCAGTTGGCTCTGACTCCAAGTCCAGT
IVGN-novel-miR_3365	GTCTGACTCCAAGTCCAGTGTGACTCCAAGTCCAGT
IVGN-novel-miR_3366	CTCTGACTCCAAGTCCAGTCTGACTCCAAGTCCAGT
IVGN-novel-miR_3367	

IVGN-novel-miR_3368
 IVGN-novel-miR_3369
 IVGN-novel-miR_3370
 IVGN-novel-miR_3371
 IVGN-novel-miR_3372
 IVGN-novel-miR_3373
 IVGN-novel-miR_3374
 IVGN-novel-miR_3375
 IVGN-novel-miR_3376
 IVGN-novel-miR_3377
 IVGN-novel-miR_3378
 IVGN-novel-miR_3379
 IVGN-novel-miR_3380
 IVGN-novel-miR_3381
 IVGN-novel-miR_3382
 IVGN-novel-miR_3383
 IVGN-novel-miR_3384
 IVGN-novel-miR_3385
 IVGN-novel-miR_3386
 IVGN-novel-miR_3387
 IVGN-novel-miR_3388
 IVGN-novel-miR_3389
 IVGN-novel-miR_3390
 IVGN-novel-miR_3391
 IVGN-novel-miR_3392
 IVGN-novel-miR_3393
 IVGN-novel-miR_3394
 IVGN-novel-miR_3395
 IVGN-novel-miR_3396
 IVGN-novel-miR_3397
 IVGN-novel-miR_3398
 IVGN-novel-miR_3399
 IVGN-novel-miR_3400
 IVGN-novel-miR_3401
 IVGN-novel-miR_3402
 IVGN-novel-miR_3403
 IVGN-novel-miR_3404
 IVGN-novel-miR_3405
 IVGN-novel-miR_3406
 IVGN-novel-miR_3407
 IVGN-novel-miR_3408
 IVGN-novel-miR_3409
 IVGN-novel-miR_3410
 IVGN-novel-miR_3411
 IVGN-novel-miR_3412
 IVGN-novel-miR_3413
 IVGN-novel-miR_3414
 IVGN-novel-miR_3415
 IVGN-novel-miR_3416
 IVGN-novel-miR_3417
 IVGN-novel-miR_3418
 IVGN-novel-miR_3419
 IVGN-novel-miR_3420
 IVGN-novel-miR_3421
 IVGN-novel-miR_3422
 IVGN-novel-miR_3423
 IVGN-novel-miR_3424
 IVGN-novel-miR_3425
 IVGN-novel-miR_3426
 IVGN-novel-miR_3427
 IVGN-novel-miR_3428
 IVGN-novel-miR_3429
 IVGN-novel-miR_3430
 IVGN-novel-miR_3431
 ACATCTGACTCCAAGTCCAGTACATCTGACTCCAAGTCCAGT
 AGCCTGCTGACTCCAAGTCCAGTACGCCGCTGACTCCAAGTCCAGT
 TCCTGACTCCAAGTCCAGTCCAGTACTGACTCCAAGTCCAGT
 ACTGACTCCAAGTCCAGTACTGACTCCAAGTCCAGT
 TGCCTCCGACTCCAAGTCCAGTGCCTCCGACTCCAAGTCCAGT
 TCTAAGTCCAAGTCCAGTTCAACTCCAAGTCCAGT
 TTCTGACCCCAAGTCCAGTTCTGACCCCCAAGTCCAGT
 CTTCTGACTCCAATCCAGTCTCTGACTCCAATCCAGT
 CAATCATTTCCCTAGCCAGTCAATCATTTCCCTAGCCAGT
 TTCTGACTCCAAGGCCAGTTCTGACTCCAAGGCCAGT
 TGCCTCTGACTCCAAGGCCAGTGCCTCTGACTCCAAGGCCAGT
 AGTCTTCCAGTTCTTAGTCTTCCAGTTCTTCT
 TTTTATCAGACATATTCTTTATCAGACATATTCT
 TATGTGCCTCGGTTAGCGTTCTATGTGCCTCGGTTAGCGTTCT
 GAACTCTCTTCAAAGTTCTGAACCTCTCTTCAAAGTTCT
 TTGAACACTCTCTTCAAAGTTCTTAGTCTCTTCAAAGTTCT
 AAAGCTCCATAGGGTCTTCAAAGCTCCATAGGGTCTTCT
 TTAAAGCTCCATAGGGTCTTCTTAAAGCTCCATAGGGTCTTCT
 TTAAAGCTCCATAGGGTCTTCTTAAAGCTCCATAGGGTCTTCT
 AAGCTAACAGGGTCTTAAGCTAACAGGGTCTTCT
 ATCCCTCAGACAGTTCTTCTATCCCTCAGACAGTTCTTCT
 TGGGCCAGGCCAGGCAACCTCTTGGGCCAGGCCAGGCAACCTCT
 TGGCCACCGTCTGCTGTCTGGCCACCGTCTGCTGTCT
 TAGTTAGCATGCCAGAGTCTTAGTTAGCATGCCAGAGTCT
 ACTCTCACCCAACTCCTCTACTCTCACCCAACTCCTCT
 TACACCTCTCATGTCTCTTACACCTCTCATGTCT
 ATTACAGAACAGGCTCTCTATTACAGAACAGGCTCT
 AACTATGCATCCTACTACCTCTAACTATGCATCCTACTACCT
 ATTTGCTACTACCACCAAGATCTATTGCTACTACCACCAAGATCT
 CTCTGTTGTCAGATTACAATCTCTGTTGTCAGATTACAATCT
 TTGTCGAAGTTCTCTGCTTGTCGAAGTTCTGCT
 ATGGCCACCGTCTGCTATGGCCACCGTCTGCT
 TGTCGGCTCAGGTCTCCGGCTTGTGCGCTCAGGTCTCCGGCT
 TCCGAGGCCAACCGGAGGCTTCCGAGGCCAACCGGAGGCT
 AAGAGACGGGTCTCGCTAAGAGACGGGTCTCGCT
 TAAGAGACGGGTCTCGCTTAAGAGACGGGTCTCGCT
 AGAACCCACGACAAATGTAGCTAGAACCCAGCAGACAATGTAGCT
 ACGATCTCGCGCTCAGCTACGATCTCGCGCTCAGCT
 AGCCGAAGCTCCAAGGTTCTAGCCGAAGCTCCAAGGTTCT
 CGGTCTTATTCCATTATTCCCTGGTCTTATTCCATTATTCT
 AAGCTCTTATTCCATCTCTAAAGCTCTTATTCCATCT
 AGCAAGCTCTTATTCCATCTCTAAAGCTCTTATTCCATCT
 ATTAAGCCGCAGGCTCCACTCTTATTAAAGCCGCAGGCTCCACT
 AAAATTCTCCGTGCCACCTAAAATTCTCCGTGCCACCT
 TAAGCACTCTACTCTCAGTTACTTAAGCACTCTACTCTCAGTTACT
 AGCTTATTAGCTGACCTTACTAGCTTATTAGCTGACCTTACT
 TGGTGCACCGTCTGGAAAGTACTTGGTGCACCGTCTGGAAAGTACT
 TAATGAGCCATTGCGAGTTCACTTAATGAGCCATTGCGAGTTCACT
 GAAATCCCTCTGCACTGAAATCCCTCTGTCACCT
 AGTCAAATGCTCTACCAACTAGTCAAATGCTCTACCAACT
 CAGAAATTAAAGTATTGCAACTCAGAAATTAAAGTATTGCAACT
 TTCAGTCTAAAGCTCCCAACTTCACTAAAGCTCTCCAACT
 GTCCTCCGCTCTACCAACTGTCCTCCGCTCTACCAACT
 AGTCCTCCGCTCTACCAACTAGTCCTCCGCTCTACCAACT
 AACCCCACAAACACTCGGACCAACTAACCCACAAACACTCGGACCAACT
 GAAGGCTCTGGTCTGCTATGAAGGCTCTGGTCTGCT
 TAAGAGACGGGTCTCGCTATTAAAGAGACGGGTCTCGCT
 ATGCTCTACCGACTGAGCTATGCTCTACCGACTGAGCT
 TTCTTTCTCCGCTGACTAATATTCTTCCCTCCGCTGACTAATAT
 TAAATCCCTGGCAATGTGATTAAATCCCTGGCAATGTGAT
 TGGTACCCCGACGTGATTGGTGAACCCGACGTGAT
 CTTCCCATTCACAAGCCCTGATCTCCCATTCCACAAGCCCTGAT
 TGTTGCAGTATCATACATGATTGTTGCAGTATCATACATGAT
 CTGTTGCAGTATCATACATGATCTGTTGCAGTATCATACATGAT

IVGN-novel-miR_3432	TGGTGTCAAGGAGTGGGATTGGTGTCAAGGAGTGGGAT
IVGN-novel-miR_3433	TGGGGGCTCGTCCGGGATTGGGGCTCGTCCGGGAT
IVGN-novel-miR_3434	TGGCGTCACGAACAGGATTGGCGTCACGAACAGGAT
IVGN-novel-miR_3435	ATCGAACCAAGGGACCTTAGATATCGAACCAAGGGACCTTAGAT
IVGN-novel-miR_3436	TGAAGGCCAGCAGGAGATTGAAGGCCAGCAGGAT
IVGN-novel-miR_3437	TGGAGGTCCCACCGAGATTGGAGGTCCCACCGAGGAT
IVGN-novel-miR_3438	TCAGTCATAATCCCACAGATTCACTCATTCAGTGGTCCTTGTTCAT
IVGN-novel-miR_3439	CTTCAGTGGTTCTTGTTCATCTCAGTGGTCCTTGTTCAT
IVGN-novel-miR_3440	TTCCCTGCTATCCATCCTCATTCCTGCTATCCATCCTCAT
IVGN-novel-miR_3441	TCAGCCTCTCGTCCCTCATTAGCCTCTCGTCCCTCAT
IVGN-novel-miR_3442	TTGTGTTCCACACTGCATTGTGTTCCACACTGCAT
IVGN-novel-miR_3443	ATCCTTCTACAAATTACCCATATCCTCTACAAATTACCCAT
IVGN-novel-miR_3444	TCCAACAACCTAATCTACATTCCAACAACCTAATCTACAT
IVGN-novel-miR_3445	CATGTTCAACTGCTGTTCACATCATGTTCAACTGCTGTTCACAT
IVGN-novel-miR_3446	AAAAGTAAGCCACCACATAAAAGTAAGCCACCACAT
IVGN-novel-miR_3447	TGCCATCAGAACTCTAACATTGCCATCAGAACTCTAACAT
IVGN-novel-miR_3448	GCCTTCAAAGTTCTCGTTGAATGCCCTCAAAGTTCTCGTTGAAT
IVGN-novel-miR_3449	CTTCTGACTCCAAGTCCAATCTCTGACTCCAAGTCCAAT
IVGN-novel-miR_3450	TCAGCCAAGCACATACACCAAAATTCAAGCCAAGCACATACACCAAAAT
IVGN-novel-miR_3451	TCCCTTTCTCTACATTCTGTCCTTCTACATTCTTG
IVGN-novel-miR_3452	TAGCTCAGCTCTGGTCTTGTAGCTCCAGCTCTGGTCTTG
IVGN-novel-miR_3453	AAAATACCGAGCCCCCTGAAAATACCGAGCCCCCTG
IVGN-novel-miR_3454	AAGCCAGTCAAATTAGCAGTGAAGCCAGTCAAATTAGCAGTG
IVGN-novel-miR_3455	TAAGTTAGCCTTACAGTGTAAAGTTAGCCTTACAGTG
IVGN-novel-miR_3456	AATGCCCTTTAACATTGCACTGAATGCCCTTTAACATTGCACTG
IVGN-novel-miR_3457	TCCAACACTACGAGCTTTAACGTCCAACACTGAGCTTTAACTG
IVGN-novel-miR_3458	CGAGCGACCAAGGAACCATAACTGCGAGCGACCAAAGGAACCATAACTG
IVGN-novel-miR_3459	TGCCATCAGAACTCTAACATGTGCCATCAGAACTCTAACATG
IVGN-novel-miR_3460	TCCATCATGGTGTCTCAGTGGTCATGGTGTCTCAGTGG
IVGN-novel-miR_3461	TGCCATGTTGTTAGACATGGTGCCTGTTAGACATGG
IVGN-novel-miR_3462	AGAAGCAGGTCGCTACGAATGGAGAACGAGGTCGCTACGAATGG
IVGN-novel-miR_3463	TGGCGTCCCTGGGTGGGTGGCGTCCCTGGGTGGG
IVGN-novel-miR_3465	CAGTCAAATTAGCAGTGGGGCGAGTCAAATTAGCAGTGGGGGG
IVGN-novel-miR_3466	CGACTGAGCTAGCCGGCGACTGAGCTAGCCGG
IVGN-novel-miR_3467	TCCATTAGGCCACGGGTCCATTAGGCCACGCCG
IVGN-novel-miR_3468	CCGACTGAGCTATCCGGCGACTGAGCTATCCGG
IVGN-novel-miR_3469	ACCCTCAATCTTGTATCCGGACCCCTCAATCTCTGATCCGG
IVGN-novel-miR_3470	TACCAACTGAGCTAACCGGTACCAACTGAGCTAACCGG
IVGN-novel-miR_3471	TGGTGCTCAGGTGAGGTGGTGTCTCAGGTGAGG
IVGN-novel-miR_3472	CAAACCTTGTGTCAGGCAAAACCTTGTGTCAGG
IVGN-novel-miR_3473	GTAGTCCTCTATTTGGTAGTCCTCTATTTTCG
IVGN-novel-miR_3474	TGACAGGGTCTCGTTGTGACAGGGTCTCGTTGTG
IVGN-novel-miR_3475	TTCGTCACTACCTCCCCGTTCTGACTACCTCCCCG
IVGN-novel-miR_3476	TCTATGCAATCCCTACACCGCTATGCAATCCCTACACCCG
IVGN-novel-miR_3477	TGGTGTCAAGTGGGATACGTGGTGTCAAGTGGGATACG
IVGN-novel-miR_3478	CAGTGCCTTATCCATTAGCAGTGCCTTATCCATTAG
IVGN-novel-miR_3479	CTCAGACGAGGCTTCTCAGTAGCTCAGACGAGGCTTCTCAGTAG
IVGN-novel-miR_3480	ACGACTTTACTCCTCTAGACGACTTTACTCCTCTAG
IVGN-novel-miR_3481	ATGCTGTACACTTCTACAATAGATGCTGTACACTTCTACAATAG
IVGN-novel-miR_3482	ATTGTCTACAGTAATCAGTGAAGATTGTCTACAGTAATCAGTGAG
IVGN-novel-miR_3483	AAGTCCAACACCGCTGAGAACGTTCCAACACCGCTGAG
IVGN-novel-miR_3484	TCAAAGTTTCATCACTGAGTCAGGTTCTACAGTGAG
IVGN-novel-miR_3485	GGACCTCAGTCCGATGAGGGACCTCAGTCCGATGAG
IVGN-novel-miR_3486	ATCCATTGCGCCACGGAGATCCATTGCGCCACGGAG
IVGN-novel-miR_3487	CGTCAATTCTTAAAGTTCAAGCTGCAATTCTTAAAGTTCAAG
IVGN-novel-miR_3488	TGAACCTGGATCGCTGGATTCAAGTGAACCTGGATCGCTGGATTCAAG
IVGN-novel-miR_3489	AAGCCAGTCAAATTAGCAGAACGCCAGTCAAATTAGCAG
IVGN-novel-miR_3490	ATTGGAATGTCATCACAGCAGATTGGAATGTCATCACAGCAG
IVGN-novel-miR_3491	CTTCTGTCTCCAAGTCCAGCTCTGACTCCAAGTCCAG
IVGN-novel-miR_3492	CTTCTGACTCCAAGTCCAGCTCTGACTCCAAGTCCAG
IVGN-novel-miR_3493	CTTCTCACTCCAAGTCCAGCTCTCACTCCAAGTCCAG
IVGN-novel-miR_3494	GTCTCTCACCGTGCAGGTCTCTCACCGTGCAG
IVGN-novel-miR_3495	AACTCACTACCTCGGACCAACTCACTACCTCGGACCAAG
IVGN-novel-miR_3496	TTGGTCAGAGAAAAAGTTGGTCAGAGAAAAAG

IVGN-novel-miR_3497	TGGCCTCCATGACTTTCTGGCCTCCATGACTTTTC
IVGN-novel-miR_3498	TGTCAGACTCTTATGTTCTGTCAGACTCTTATGTTTC
IVGN-novel-miR_3499	ATTCCGCCAAGCCCCGTTCATTCCGCCAAGCCCCGTTC
IVGN-novel-miR_3500	ATACATTCTCTTACATTACATACATTCTTACATTAC
IVGN-novel-miR_3501	GTCCATCCTCCTTACATTGTCATCCTCTTACATTAC
IVGN-novel-miR_3502	TGTCCTGCAATTACATTAATTCTGCTCTGCAATTACATTAATTTC
IVGN-novel-miR_3503	TGTCCTGATCCAACATCGAGGCTGCTGATCCAACATCGAGGTC
IVGN-novel-miR_3504	GATCCACCGCTAACAGAGTCGATCCACCGCTAACAGAGTC
IVGN-novel-miR_3505	CTCTTCATTTCAGGTCAAGTCAGTCTCTCATTTCAAGTCAGTC
IVGN-novel-miR_3506	TTCTCTTCATTTCAGGTCAAGTCAGTCTCTCATTTCAAGTCAGTC
IVGN-novel-miR_3507	AGATTAAGAGTCTCATGCTCAGATTAAGAGTCTCATGCTC
IVGN-novel-miR_3508	TCTCTCAGTCACTGTCCTCTCTCAGTCAGTCAGTCCTC
IVGN-novel-miR_3509	CCACTTATTCTACACCTCCCACCTATTCTACACCTC
IVGN-novel-miR_3510	ATTGAGGTCTCTTCATCATTGAGGTCTCTTCATC
IVGN-novel-miR_3511	GCTCTACCAACTGAGCTACATCGCTCTACACTGAGCTACATC
IVGN-novel-miR_3512	AGCCCTCAGATCTCATAAATCAGCCCTCAGATCTCATAAATC
IVGN-novel-miR_3513	CCACTGAACCACCAATGCCCACTGAACCAACCAATGC
IVGN-novel-miR_3514	GTCCCTCTTAATCATGGCGTCCCTCTTAATCATGGC
IVGN-novel-miR_3515	ACCCCTGAGCTATAGGGCACCCCTGAGCTATAGGGC
IVGN-novel-miR_3516	ACCAAATGAGCTAACCGGACCAACTGAGCTAACCGGC
IVGN-novel-miR_3517	TACCAACACAGGCTTCATCAGAGGCTACCAACACAGGCTTCATCAGAGG
IVGN-novel-miR_3518	CCACTATACCACCAACGCCCACTATAACCACCAACGC
IVGN-novel-miR_3520	ACAAACGAACCTTAATAGCACAAACGAACCTTAATAGC
IVGN-novel-miR_3521	ACCCCTAGACCAACGAGCACCCCTAGACCAACGAGC
IVGN-novel-miR_3522	TCCATTGCGCCACAGAGCTCCATTGCGCACAGAGC
IVGN-novel-miR_3523	AGTCAAGTTGACCGCTTCTCAGCAGTCAGTTGACCGTCTCTCAGC
IVGN-novel-miR_3524	TTATTTGGTCCATTTCAGCTTATTTGGTCCATTTCAGC
IVGN-novel-miR_3525	TAACACTACACTACAGAAGCCACTACACTACAGAAGC
IVGN-novel-miR_3526	GGGCCAGCAGCCTCCGGGGCCAGCACGCTTCC
IVGN-novel-miR_3527	TTCCTACTTCTTACATTCTCTACTTCTTACATTCC
IVGN-novel-miR_3528	ATACATCCTCTTACATTCCATACATCCTCTTACATTCC
IVGN-novel-miR_3529	ATACTGCTTACATTCCATACTGCTTACATTCC
IVGN-novel-miR_3530	GTCAATCCTGTCCGTGTCGTCATCCTGTCGTGTC
IVGN-novel-miR_3531	GTTGATTCTCATAGTCGTTGATTCTCATAGTC
IVGN-novel-miR_3533	GTCTTCTGACTCCAAGTCCGTCTGACTCCAAGTCC
IVGN-novel-miR_3534	CGAGATTACACCCTCTCCGAGATTACACCCTCTCC
IVGN-novel-miR_3535	ATGCTTACCGACTGAGCTATCCATGCTTACCGACTGAGCTATCC
IVGN-novel-miR_3536	CTCTACCACTGAGCTACATCCCTTACCACTGAGCTACATCC
IVGN-novel-miR_3537	CCATTGCGCCACTGGCCCCATTGCGCCACTGGCC
IVGN-novel-miR_3538	TACGTCTTCTCTAGTAGCCTACGTCTCTCTAGTAGCC
IVGN-novel-miR_3539	GAGACATCTCCACAATCAGCCGAGACATCTCCACAATCAGCC
IVGN-novel-miR_3540	ACTACCTCGGACCAGCCACTACCTCGGACCAGCC
IVGN-novel-miR_3541	ACTACCCTGGACCAGCCACTACCATCGGACCAGCC
IVGN-novel-miR_3542	TTGGAGCCATTACATCAGGTCCCTTGAGCCATTACAGGTCCC
IVGN-novel-miR_3543	AGCAAGCTCCTATTCCATCTCCAGCAAGCTCCTATTCCATCTCC
IVGN-novel-miR_3544	TCTACCATTGAGCTAATCCCTTACCATTTGAGCTAATCCC
IVGN-novel-miR_3545	ACCATTGAGCTAATCCCCACCATTGAGCTAATCCCC
IVGN-novel-miR_3546	AATTTTGCTCTGCCATCCCCAATTGCTCTGCCATCCCC
IVGN-novel-miR_3547	GAGCGCCGAATCTAACCGAGCGCCGAATCTAAC
IVGN-novel-miR_3548	CCACTACACTATGGAACCCCACACTACACTATGGAACC
IVGN-novel-miR_3549	TTGTGTCACTGGAGTTTTACTTGTGTCAGTGGAGTTTTAC
IVGN-novel-miR_3550	TTCTCTTGTCTTCTCGACTTCTCTTGTCTTCTCGTAC
IVGN-novel-miR_3551	AGTTCTGATAACCCACTACAGTTCTGATAACCCACTAC
IVGN-novel-miR_3552	TAAAATGCTTGAAGTATACTAAATGCTTGAAGTATAAC
IVGN-novel-miR_3553	TTTCCTGGAAAATGGACTTTCTGGAAAATGGAC
IVGN-novel-miR_3554	ATTCCTGGAAAATGGACATTCTGGAAAATGGAC
IVGN-novel-miR_3555	AAGTCATCACCGCTTCAAGACAAGTCATCACCGCTTCAAGGAC
IVGN-novel-miR_3556	GCTCAGAGACATGGAGACGCTCAGAGACATGGAGAC
IVGN-novel-miR_3557	TTGCCCTACGTGTGCCACTTGCCTACGTGTGCCAC
IVGN-novel-miR_3558	CTCTACCACTGAGCTACACCTTACCACTGAGCTACAC
IVGN-novel-miR_3559	TACCGAGTTGTCATCATACACTACCGAGTTGTCATCATACAC
IVGN-novel-miR_3560	GCGTCAGCAGTCTAACACCGGTCAAGCAGTCTAACAC
IVGN-novel-miR_3561	TGGCTCTGCCATCTTAACCTGGCTCTGCCATCTTAAC
IVGN-novel-miR_3562	

IVGN-novel-miR_3563
 IVGN-novel-miR_3564
 IVGN-novel-miR_3565
 IVGN-novel-miR_3566
 IVGN-novel-miR_3567
 IVGN-novel-miR_3568
 IVGN-novel-miR_3569
 IVGN-novel-miR_3570
 IVGN-novel-miR_3571
 IVGN-novel-miR_3572
 IVGN-novel-miR_3573
 IVGN-novel-miR_3574
 IVGN-novel-miR_3575
 IVGN-novel-miR_3576
 IVGN-novel-miR_3577
 IVGN-novel-miR_3578
 IVGN-novel-miR_3579
 IVGN-novel-miR_3580
 IVGN-novel-miR_3581
 IVGN-novel-miR_3582
 IVGN-novel-miR_3583
 IVGN-novel-miR_3584
 IVGN-novel-miR_3586
 IVGN-novel-miR_3587
 IVGN-novel-miR_3588
 IVGN-novel-miR_3589
 IVGN-novel-miR_3590
 IVGN-novel-miR_3591
 IVGN-novel-miR_3592
 IVGN-novel-miR_3593
 IVGN-novel-miR_3594
 IVGN-novel-miR_3595
 IVGN-novel-miR_3596
 IVGN-novel-miR_3597
 IVGN-novel-miR_3598
 IVGN-novel-miR_3599
 IVGN-novel-miR_3600
 IVGN-novel-miR_3601
 IVGN-novel-miR_3602
 IVGN-novel-miR_3603
 IVGN-novel-miR_3604
 IVGN-novel-miR_3605
 IVGN-novel-miR_3606
 IVGN-novel-miR_3607
 IVGN-novel-miR_3608
 IVGN-novel-miR_3609
 IVGN-novel-miR_3610
 IVGN-novel-miR_3611
 IVGN-novel-miR_3612
 IVGN-novel-miR_3613
 IVGN-novel-miR_3614
 IVGN-novel-miR_3615
 IVGN-novel-miR_3616
 IVGN-novel-miR_3617
 IVGN-novel-miR_3618
 IVGN-novel-miR_3619
 IVGN-novel-miR_3620
 IVGN-novel-miR_3621
 IVGN-novel-miR_3622
 IVGN-novel-miR_3623
 IVGN-novel-miR_3624
 IVGN-novel-miR_3625
 IVGN-novel-miR_3626
 IVGN-novel-miR_3627

GGGCTCTGCCATCTAACGGGCTTGCCATCTAAC
 CCACTACACTACGGAAACCCACTACACTACGGAAAC
 AGCAGGTCTCTACGAATGGTTAACGAGGTCGTACGAATGGTTA
 GGGTTGGGCTAGGTTAGGTTGGGCTAGGTTA
 AAACATCACTGGAAGTCTAAAACATCACTGGAAGTCTTA
 TCTGTCCTCCCTGAGCTCGCCTATCTGTCCTCCCTGAGCTCGCCTTA
 ATAGCCATTCTCAGGGACCTAACAGCATTAGCCATTCTCAGGGACCTTA
 ACTGGCAGGATCAACCAGGTAACGGCAGGATCAACCAGGTA
 TTCCCCGGCGGGAGAAGTATTCCCGCGGGAGAAGTA
 TTCCCTCAAGGAGCTTCAGTCTATTCTCAAGGAGCTTCAGTCTA
 GGGCTGCTTGAACACTCTAGGGCCTGCTTGAACACTCTA
 CAAACCATTATGTGCTGCTACAAACCATTATGTGCTGCTA
 AACACCCAAGATCTGAGGCTAAACACCAAGATCTGAGGCTA
 ACCGCTGGCACGCTAACGCTCGGCCACGCTA
 AGACCGCTGGCACGCTAACGCTCGGCCACGCTA
 ATAGATGATATGCACAGTACTAATAGATGATATGCACAGTACTA
 AACCACTGGGCCACGACTAACCAACTCGGCCACGACTA
 AGTTCTGATAACCCACTAACGTTCTGATAACCCACTA
 TGGTGCCTTGAGTATATGGTGCCTTGAGTATA
 ATGTCATCACCCTCTCAGATAATGTCATCACCCTCTCAGATA
 AGATTACGCCGATGAATAAGATTACGCCGATGAATA
 ACCAACAAACTAAAAAACCAACAAACTAAAATA
 AAAGTCTCCACCCCTATAGCTGAAAAGTCTCCACCCCTATAGCTGA
 ACCACTCGGCCATCTGAACCCTCGGCCATCCTGA
 AAAGTTCTGTGATGCACTGAAAAGTTCTGTGATGCACTGA
 AGTTCTGTGATGCACTGAAAGTTCTGTGATGCACTGA
 TGGTGGAGGTGCCGGGATGGTGGAGGTGCCGGG
 TGGTGGCCAGTACGGGATGGTGGCCAGTACGGG
 TGCCGCCGGAAAAAGGCCGGGATGCCGCCGGGAAAAAGGCCGGG
 TGGTGCCTGAAACCCGGGATGGTGCCTGAAACCCGGG
 CCACTAGACCACCAGGGACCACTAGACCACCAGGG
 ACCACTAGACCACCAGGGACCACTAGACCACCAGGG
 TGGGCCCGAACAGGGATGGGCCCGAACAGGG
 AGCGAAACAGGAAACCGGAAGCGAACAGGCAAACCGGA
 CCACTATACAAGGAGGACCACTATACAAGGAGGA
 ACCACTATACTAACGAGGAACCACTATACGAGGA
 AGCCGGTGCAGGTCCGGTCGAAGCCGGTCGAGGTCCGGTCGA
 TAGACTGTGAGCTCTCGATAGACTGTGAGCTCCTCGA
 AACCGCTTGAGCTAACCGCTTGAGCTAACCTCGA
 GGACCTCTCGCACCCGAGGACCTCTCGCACCCGA
 AGTCTCATGCTCTACCGAAGTCTCATGCTCTACCGA
 AAAAGCCAGGGTCTGTATAGAAAAAGCCAGGGTCTGTATAGA
 ACCGATTGCCAACAGAGAACCGATTGCCAACAGAGA
 TTAGCTATTGTGTTCAGATTAGCTATTGTGTTCAGA
 TTTCAGAGCACTGGGAGATTTCAGAGCACTGGGAGA
 TGCAAGTCTGAGGTTGAAGATGCAAGTCTGAGGTTGAAGA
 AAGCCTGGGATGGGCCGTTCAAAGCCTCGGGATGGGCCGTTCA
 ATGAGCCCTGGACTAGGAGTCATGAGCCCTGGACTAGGAGTC
 ATAGCAGCATAAGCCTGTCTAACAGCAGCATAAGCCTGTCTCA
 TCGCTCTGCCCTCATCGCTCTGCCCTCA
 AACTATACAATCTCCTACCTCAAACATACAATCTCCTACCTCA
 TTTCAACCTACTACCTCATTCAACCTACTACCTCA
 ATTCAACACTACTACCTCAATTCAACACTACTACCTCA
 AAACCAAACAAACCTACTACCTCAAACCAACCTACTACCTCA
 AAACTATACAACATACTACCTCAAACACTATACAACATACTACCTCA
 TAACAGCACAACATACTACCTCATAACAGCACAAACTAATACCTCA
 TAACTATACAACCTCTAACTCATAACTATACAACCTCTAACTCA
 AAGGGCGCCGGGACCAACGATCAAAGGGCGCCGGGACCAACGATCA
 TATACATACCTCTTACATTGCATATACATACCTCTTACATTGCA
 TGCTACTACCACCAAGATCTGCATGCTACTACCACCAAGATCTGCA
 TACAGTGTGTCATCTGCATACAGTGTGTCATCTGCA
 TAACCACTATACGATCACGGCATAACCAACTATACGATCACGGCA
 ACTAACCACTATACGATCACGGCAACTAACCAACTATACGATCACGGCA
 TGCTCAGACTCCAGTCAGTCTGACTCCAGTTCGCA

IVGN-novel-miR_3628	TAAGCCAGTCAAATTAGCATAAGCCAGTCAAATTAGCA
IVGN-novel-miR_3629	CTTCACTTTGACATTAGCAGACTTCACTTGACATTAGAGCA
IVGN-novel-miR_3630	ATACATACTTCTTTTCCAATACATACTTCTTTCCA
IVGN-novel-miR_3631	ATACATACTTCTTTCCAATACATACTTCTTTCCA
IVGN-novel-miR_3632	TTTCTTCTTACATTCCATTCTTCTTACATTCCA
IVGN-novel-miR_3633	ACAGACTCTTACATTCCAACAGACTTCTTACATTCCA
IVGN-novel-miR_3634	AATACATAATTCTTACATTCCAATACATAATTCTTACATTCCA
IVGN-novel-miR_3635	TACATACTCTTACATTCCATACATACTTCTTACATTCCA
IVGN-novel-miR_3636	ACATGCTCTTACATTCCAACATGCTCTTACATTCCA
IVGN-novel-miR_3637	TATACATACTACTTACATTCCATACATACTACTTACATTCCA
IVGN-novel-miR_3638	CCATACAACTTACATTCCACCATAACACTTACATTCCA
IVGN-novel-miR_3639	TTCCCTCCTCCTACATTCCATTCCCTCCTACATTCCA
IVGN-novel-miR_3640	TATACATACTTCTAACATTCCATACATACTTCTAACATTCCA
IVGN-novel-miR_3641	GCATACTCTTAAATTCCAGCATACTTCTTAAATTCCA
IVGN-novel-miR_3642	AGGGGGTCTCTGGTCAGTGTCAAAGGGGGCTGGTCAGTGTCCA
IVGN-novel-miR_3643	CTTCTGACTCCAAGTCCACTTCTGACTCCAAGTCCA
IVGN-novel-miR_3644	ACACAGCTTCCATATCTCCACACAGCTTCCATATCTCCA
IVGN-novel-miR_3645	AGAGGTCTTCACTGAGGGCTCCAAGAGGTCTTCACTGAGGGCTCCA
IVGN-novel-miR_3646	TTAGGAAGCCAATGCCATTAGGAAGCCAATGCCATTACCA
IVGN-novel-miR_3647	TCAGCATTGCTTATCATCCATCAGCATTGCTTATCATCATCCA
IVGN-novel-miR_3648	ATACATACTCTTAACTCAATACATACTTCTTAACTCCA
IVGN-novel-miR_3649	TGCTGGTCTTCACTGAGGCCATGCTGGTCTTCACTGAGGGCCA
IVGN-novel-miR_3650	AGCCTACAGCACCCGGTATTCCAAGCCTACAGCACCCGGTATTCCA
IVGN-novel-miR_3651	AAATGCATACTTGTCTCCAAAATGCATACTTGTCTCCCA
IVGN-novel-miR_3652	CCACTCAATCCCTCATCCCACCACTCAATCCCTCATCCCA
IVGN-novel-miR_3653	AATACATACTTCTTACATCCAAATACATACTTCTTACATCCCA
IVGN-novel-miR_3654	ATCCATACATCCTTACCCCAATCCATACATCCTTACCCCA
IVGN-novel-miR_3655	GCAGGCGAGAATTCTACCAGCAGGCGAGAATTCTACCA
IVGN-novel-miR_3656	GCAGTCAAATGCTTACAGCAGTCAAATGCTTACCA
IVGN-novel-miR_3657	ATCTGCAGTCAAATGCTTACCAATCTGAGTCAAATGCTTACCA
IVGN-novel-miR_3658	TGATCTGAGTCAAATGCTTACCATGATCTGAGTCAAATGCTTACCA
IVGN-novel-miR_3659	AACTCACTCCCTCGGACCAAACACTCCCTCGGACCA
IVGN-novel-miR_3660	AAACACCACTGCCCTCGGACCAAAACACCAACTGCCCTCGGACCA
IVGN-novel-miR_3661	ACCCCCACTGCACTGGACCAACCCACTGCACTCGGACCA
IVGN-novel-miR_3662	AACCACCACTGCACTGGACCAACACCACACTGCACTCGGACCA
IVGN-novel-miR_3663	ACACCAACTGCACTGGACCAACACCAACTACCATGGACCA
IVGN-novel-miR_3664	AACCCACTACCATGGACCAACCCACTACCATGGACCA
IVGN-novel-miR_3665	TAACCCACTACCATGGACCAACCCACTACCATGGACCA
IVGN-novel-miR_3666	TATTCTCGACGGACTACAACCATATTCTCGACGGACTACAACCA
IVGN-novel-miR_3667	CAGTCAGGATGTTACACAGTCAGGATGTTACA
IVGN-novel-miR_3668	TCCAGAGTGTAAACCATTACATCCAGAGTGCTAACATTACA
IVGN-novel-miR_3669	GGGCCTCCCACTTATTCTACAGGGCTCCACTTATTCTACA
IVGN-novel-miR_3670	AGGGGCCTCCCACTTATTCTACAAGGGGCTCCACTTATTCTACA
IVGN-novel-miR_3671	AGACTGCAGGCCCTAGAGGACAAGACTGCAGGCCCTAGAGGACA
IVGN-novel-miR_3672	GGTGAATTCTGCTTACAGGTGAATTCTGCTTACA
IVGN-novel-miR_3673	TGTGCTGCAATTACATGTGCTTGCAATTACA
IVGN-novel-miR_3674	CCATCTTAAATTTCACAGTCACACCACCTTAACTTCACAGTCACA
IVGN-novel-miR_3675	AGACAACAATGCCAACCTCACAAAGACAACAATGCCAACCTACA
IVGN-novel-miR_3676	AAACGAGGTAACCTGGAGCACAAACGAGGTAACCTGGAGCACA
IVGN-novel-miR_3677	TTACCTACATTGTTCAACATTACCTACATTGTTCAAACA
IVGN-novel-miR_3678	AAACAACTGCAAGTCTAAAAACAAACTGCAAGTCTAA
IVGN-novel-miR_3679	TTGCCGGCTCTGCCATCTTAAATTGCCGGCTCTGCCATCTTAA
IVGN-novel-miR_3680	ATTGCCGGCTCTGCCATCTTAAATTGCCGGCTCTGCCATCTTAA
IVGN-novel-miR_3681	ATTACCGGGCTCTGCCATCTTAAATTACCGGGCTCTGCCATCTTAA
IVGN-novel-miR_3682	TAATCCACCTCGACCCCTTAATAAATCCACCTCGACCCCTAA
IVGN-novel-miR_3683	TTTACTTTGCACCAACCTAATTACTTTGCACCAACCTAA
IVGN-novel-miR_3684	TCAGTCTCATTGCTTATAATCAGTCTCATTGCTTATAA
IVGN-novel-miR_3685	AAATCAGTCTCATTGCTTATAAAATCAGTCTCATTGCTTATAA
IVGN-novel-miR_3686	TGGTGCATTGGCGGGAAATGGTGCATTGGCGGGAA
IVGN-novel-miR_3687	AGAAGTCACTCCAGGCACTGCAAAGAAGTCACCTCCAGGCACTGCAA
IVGN-novel-miR_3688	TGGTCCCCGACCGGGAAATGGTCCCCGACCGGGAA
IVGN-novel-miR_3689	ACCCTCAATCTCTGATCCGAAACCCCTCAATCTCTGATCCGAA
IVGN-novel-miR_3691	ATCGCTCACCACCAACTAAGAAATCGCTCCACCAACTAAGAA
IVGN-novel-miR_3693	AATGCAATTGTCAAAAGTTCAAAATGCAATTGTCAAAAGTTCAA

IVGN-novel-miR_3695	CCCGCGACGCTTCCAACCGCGACGCTTCAA
IVGN-novel-miR_3696	TGAGTGCTTAGGTGCCAATGAGTGCTTAGGTGCCAA
IVGN-novel-miR_3697	GAGGTTATCTAGAGTCACCAAGAGGTTATCTAGAGTCACCAA
IVGN-novel-miR_3698	GTGTGTTCAGATATGTTAAAGTGTGTTCAGATATGTTAAA
IVGN-novel-miR_3699	TTCTGACACCTCCTGCTTAAATTCTGACACCTCCTGCTTAAA
IVGN-novel-miR_3700	GATAACCACACTACACTACGGAAAGATAACCACTACACTACGGAAA
IVGN-novel-miR_3701	GAGCTGCTCTGCTACGTACGAAAGAGCTGCTCTGCTACGTACGAAA
IVGN-novel-miR_3702	ACCCGGGACCTCTCGCACCCAAAACCCGGGACCTCTCGCACCCAAA
Ncode_Control	Proprietary Control Sequence
rev-cel-mir-244	TTGGTTGACAAAGGGTATGTTGGTTGACAAAGTGGTATG
rev-dme-mir-11	CATCACAGTCTGAGTTCTGCCATCACAGTCTGAGTTCTGC
rev-has-mir-152	TCAGTCATGACAGAACTTGGTCAGTCATGACAGAACTTGG
rev-has-mir-27a	TTCACAGTGGCTAAGTCCGCTTCACAGTGGCTAAGTCCGC
rev-has-mir-93	AAGTGCTTCTCGTCAGGTAGAAGTGCTTCTGCAGGTAG
rev-mir-200c	AATACTGCCGGTAATGATGGAAATACTGCCGGTAATGATGGA
rev-mir-324	ATCCCCTAGGGCATTGGTGTATCCCCTAGGGCATTGGTGT
rev-mmu-mir-191	AACGGAATCCCAAAAGCAGCTAACCGGAATCCAAAAGCAGCT
rev-mmu-mir-292	AGTCCGCCAGGTTTGAGTGTAGTGCCGCCAGGTTTGAGTGT
rev-mmu-mir-325	CTAGTAGGTGCTCAGTAAGTGTCTAGTAGGTGCTCAGTAAGTGT
rev-rno-mir-101b	TACAGTACTGTGATAAGTACAGTACTGTGATAAGTGTGAAG
rev-rno-mir-15b	TAGCAGCACATCATGGTTACATAGCAGCACATCATGGTTACA
rev-rno-mir-16	TAGCAGCACGTAATATTGGCGTAGCAGCACGTAATATTGGCG
sa-miR-339-5p	TGAGCTCCTGGAGGACAGGGATGAGCTCCTGGAGGACAGGGAA
sa-miR-516b	AAAGTGCTTCTACCTCCAGATAAAGTGCTTCTACCTCCAGAT
shuf-cel-mir-40	TTACCTGTGGTACCCGATAGTTACCTGTGGTACCGATAG
shuf-dme-mir-11	AGAGGGAGCTGTAAACCTCAAGAGGGAGCTGAAACCTTCA
shuf-dme-mir-317	CATACTGTGTTCAGGCGCACACATACTGTGTTCAGGCGCACA
shuf-dme-mir-7	TGCCAAACAATACCCATATCTATGCCAAACAATACCCATATCTA
shuf-has-mir-152	GGAGATATTCCCTCCGTAACCGGAGATATTCCCTCCGTAACC

Tabelle 2: Veränderte miRNAs in bestrahlter Blutprobe im Vergleich zur nicht-bestrahlten Blutprobe (N=1).

miRNA	fold change	Regulation
hsa-miR-128a	10,48	Hoch
hsa-miR-516a-3p	40,16	Hoch
hsa-miR-518a-5p	7140,96	Hoch
hsa-miR-522*	1238,92	Hoch
hsa-miR-526a	54,41	Hoch
hsa-let-7a	408,33	Hoch
hsa-let-7b	158,16	Hoch
hsa-let-7b*	128,14	Hoch
hsa-let-7c	305,59	Hoch
hsa-let-7d	-135,35	Runter
hsa-let-7d*	106,31	Hoch
hsa-let-7e	50,33	Hoch
hsa-let-7e*	1238,92	Hoch
hsa-let-7f	336,53	Hoch
hsa-let-7f-1*	115487,95	Hoch
hsa-let-7g	-81,41	Runter
hsa-let-7g*	56,34	Hoch
hsa-let-7i	48,37	Hoch
hsa-let-7i*	185,07	Hoch
hsa-miR-1	-18,33	Runter
hsa-miR-100	-5,01	Runter
hsa-miR-100*	-3,41	Runter
hsa-miR-101	4,69	Hoch
hsa-miR-101*	-12,41	Runter
hsa-miR-103	6582,72	Hoch
hsa-miR-105	14,23	Hoch
hsa-miR-105*	110747,00	Hoch
hsa-miR-106a	82,70	Hoch
hsa-miR-106a*	10,59	Hoch
hsa-miR-106b	61,24	Hoch
hsa-miR-107	81,08	Hoch
hsa-miR-10a	19,27	Hoch
hsa-miR-10b	-6,98	Runter
hsa-miR-10b*	4,39	Hoch
hsa-miR-122*	-22,87	Runter
hsa-miR-124	16,01	Hoch
hsa-miR-124*	-11,10	Runter
hsa-miR-125a-3p	-27,50	Runter
hsa-miR-125a-5p	612,90	Hoch
hsa-miR-125b	278,66	Hoch
hsa-miR-125b-1*	516,98	Hoch
hsa-miR-126	3,37	Hoch
hsa-miR-126*	-3,40	Runter
hsa-miR-127-3p	4,11	Hoch
hsa-miR-127-5p	105,93	Hoch
hsa-miR-129*	-25,08	Runter
hsa-miR-129-3p	-3,43	Runter
hsa-miR-129-5p	71,02	Hoch
hsa-miR-130a	17,98	Hoch
hsa-miR-130a*	7,20	Hoch
hsa-miR-132	3366666,00	Hoch
hsa-miR-132*	6,62	Hoch
hsa-miR-133a	-19,89	Runter
hsa-miR-134	13,13	Hoch
hsa-miR-135a	-5,54	Runter
hsa-miR-135a*	-6,58	Runter
hsa-miR-135b	1238,92	Hoch
hsa-miR-136	168,15	Hoch
hsa-miR-136*	8,59	Hoch
hsa-miR-138	-4,51	Runter

hsa-miR-138-1*	-15,36	Runter
hsa-miR-138-2*	311,36	Hoch
hsa-miR-139-5p	7245221,00	Hoch
hsa-miR-140-3p	345,62	Hoch
hsa-miR-140-5p	24,97	Hoch
hsa-miR-141	1411,58	Hoch
hsa-miR-141*	-26,26	Runter
hsa-miR-142-3p	20,35	Hoch
hsa-miR-142-5p	231,77	Hoch
hsa-miR-143*	211,85	Hoch
hsa-miR-144	42316895,00	Hoch
hsa-miR-144*	-3,44	Runter
hsa-miR-146a*	1238,92	Hoch
hsa-miR-146b-3p	-10,91	Runter
hsa-miR-146b-5p	-6,62	Runter
hsa-miR-147b	103,81	Hoch
hsa-miR-148a*	290,90	Hoch
hsa-miR-148b	-5,47	Runter
hsa-miR-149	21,31	Hoch
hsa-miR-149*	732,70	Hoch
hsa-miR-150	170,82	Hoch
hsa-miR-150*	208,86	Hoch
hsa-miR-151-3p	3,38	Hoch
hsa-miR-151-5p	-21,60	Runter
hsa-miR-153	6,40	Hoch
hsa-miR-154	16,13	Hoch
hsa-miR-154*	4,21	Hoch
hsa-miR-155	6,84	Hoch
hsa-miR-155*	1238,92	Hoch
hsa-miR-15a	-7,21	Runter
hsa-miR-15a*	1238,92	Hoch
hsa-miR-15b	39,97	Hoch
hsa-miR-15b*	-4,83	Runter
hsa-miR-16	150,79	Hoch
hsa-miR-16-1*	1238,92	Hoch
hsa-miR-16-2*	135,55	Hoch
hsa-miR-17	-3,44	Runter
hsa-miR-17*	80,84	Hoch
hsa-miR-181a*	-32,07	Runter
hsa-miR-181a-2*	-27,24	Runter
hsa-miR-181b	69,02	Hoch
hsa-miR-181d	3,36	Hoch
hsa-miR-182	43,65	Hoch
hsa-miR-182*	19,00	Hoch
hsa-miR-183	-3,16	Runter
hsa-miR-183*	84,60	Hoch
hsa-miR-184	301,26	Hoch
hsa-miR-185	263,92	Hoch
hsa-miR-185*	1012624,00	Hoch
hsa-miR-186	5639,24	Hoch
hsa-miR-186*	11961591,00	Hoch
hsa-miR-187	-9,90	Runter
hsa-miR-187*	458,17	Hoch
hsa-miR-188-3p	21,94	Hoch
hsa-miR-188-5p	18,81	Hoch
hsa-miR-18a	-12,23	Runter
hsa-miR-18a*	487,81	Hoch
hsa-miR-18b*	-21,78	Runter
hsa-miR-190b	4,21	Hoch
hsa-miR-191	595,73	Hoch
hsa-miR-192	13165433,00	Hoch
hsa-miR-192*	1238,92	Hoch
hsa-miR-193a-3p	-8,30	Runter
hsa-miR-193a-5p	559,95	Hoch

hsa-miR-193b*	18,58	Hoch
hsa-miR-194	90,67	Hoch
hsa-miR-194*	-46,44	Runter
hsa-miR-196a	3,92	Hoch
hsa-miR-196b	10,74	Hoch
hsa-miR-197	6393065,00	Hoch
hsa-miR-198	174,31	Hoch
hsa-miR-199a-5p	11501074,00	Hoch
hsa-miR-19a	14786242,00	Hoch
hsa-miR-19a*	139,53	Hoch
hsa-miR-19b	308,66	Hoch
hsa-miR-19b-2*	-12,43	Runter
hsa-miR-200a	22,91	Hoch
hsa-miR-200a*	-19,60	Runter
hsa-miR-200b	284,46	Hoch
hsa-miR-200c	-6,47	Runter
hsa-miR-200c*	-8,88	Runter
hsa-miR-202	548,36	Hoch
hsa-miR-202*	1238,92	Hoch
hsa-miR-204	128,52	Hoch
hsa-miR-206	583,86	Hoch
hsa-miR-208	-4,71	Runter
hsa-miR-208b	211,85	Hoch
hsa-miR-20a	1238,92	Hoch
hsa-miR-20a*	211,85	Hoch
hsa-miR-20b	116,05	Hoch
hsa-miR-20b*	1238,92	Hoch
hsa-miR-21	-26,11	Runter
hsa-miR-21*	-6,56	Runter
hsa-miR-210	17,08	Hoch
hsa-miR-211	48,64	Hoch
hsa-miR-214	-101,54	Runter
hsa-miR-214*	-11,69	Runter
hsa-miR-215	-236,54	Runter
hsa-miR-216a	365,55	Hoch
hsa-miR-216b	525,79	Hoch
hsa-miR-217	-4,52	Runter
hsa-miR-218-1*	-12,56	Runter
hsa-miR-218-2*	168,15	Hoch
hsa-miR-219-1-3p	14182042,00	Hoch
hsa-miR-219-2-3p	-6,09	Runter
hsa-miR-22	661,34	Hoch
hsa-miR-22*	153,17	Hoch
hsa-miR-220b	-3,62	Runter
hsa-miR-220c	900,18	Hoch
hsa-miR-221	-15,00	Runter
hsa-miR-221*	10449,42	Hoch
hsa-miR-222*	9,01	Hoch
hsa-miR-223	793932,00	Hoch
hsa-miR-224	-8,40	Runter
hsa-miR-23a	219,45	Hoch
hsa-miR-23a*	3,67	Hoch
hsa-miR-23b	96,77	Hoch
hsa-miR-23b*	-4,37	Runter
hsa-miR-24	-16,85	Runter
hsa-miR-24-1*	-6,68	Runter
hsa-miR-24-2*	-5,72	Runter
hsa-miR-25	-5,57	Runter
hsa-miR-25*	655,35	Hoch
hsa-miR-26a	127,96	Hoch
hsa-miR-26a-1*	108,23	Hoch
hsa-miR-26a-2*	28,02	Hoch
hsa-miR-26b	196,11	Hoch
hsa-miR-27a*	15865293,00	Hoch

hsa-miR-27b*	1238,92	Hoch
hsa-miR-28-5p	71,01	Hoch
hsa-miR-296-3p	142,87	Hoch
hsa-miR-297	-24,83	Runter
hsa-miR-298	13165433,00	Hoch
hsa-miR-299-3p	-7,86	Runter
hsa-miR-299-5p	107,49	Hoch
hsa-miR-29a	57,79	Hoch
hsa-miR-29a*	28,42	Hoch
hsa-miR-29b	10,52	Hoch
hsa-miR-29b-1*	5,33	Hoch
hsa-miR-29c*	-4,82	Runter
hsa-miR-300	11501074,00	Hoch
hsa-miR-301b	-6,21	Runter
hsa-miR-302a	-16,24	Runter
hsa-miR-302a*	1238,92	Hoch
hsa-miR-302c	-5,09	Runter
hsa-miR-302c*	54,74	Hoch
hsa-miR-302d	-5,53	Runter
hsa-miR-30a	9468227,00	Hoch
hsa-miR-30a*	-20,07	Runter
hsa-miR-30b	198,11	Hoch
hsa-miR-30b*	261,44	Hoch
hsa-miR-30c	327,39	Hoch
hsa-miR-30c-1*	502,74	Hoch
hsa-miR-30c-2*	125,85	Hoch
hsa-miR-30d	320,17	Hoch
hsa-miR-30d*	3,95	Hoch
hsa-miR-30e	33,34	Hoch
hsa-miR-30e*	-3,22	Runter
hsa-miR-31	4,27	Hoch
hsa-miR-31*	-3,79	Runter
hsa-miR-32	211,85	Hoch
hsa-miR-32*	-3,93	Runter
hsa-miR-320	268,06	Hoch
hsa-miR-323-3p	646,83	Hoch
hsa-miR-323-5p	32,07	Hoch
hsa-miR-324-3p	-25,63	Runter
hsa-miR-326	142,98	Hoch
hsa-miR-328	98,51	Hoch
hsa-miR-330-3p	893683,00	Hoch
hsa-miR-330-5p	-13,41	Runter
hsa-miR-331-3p	287,01	Hoch
hsa-miR-331-5p	14,69	Hoch
hsa-miR-335	10,59	Hoch
hsa-miR-335*	-4,99	Runter
hsa-miR-337-5p	4,09	Hoch
hsa-miR-338-5p	101,79	Hoch
hsa-miR-33a*	-9,47	Runter
hsa-miR-33b	5,44	Hoch
hsa-miR-33b*	1238,92	Hoch
hsa-miR-340	29859,61	Hoch
hsa-miR-340*	7,97	Hoch
hsa-miR-342-3p	266,92	Hoch
hsa-miR-342-5p	-30,74	Runter
hsa-miR-345	-3,13	Runter
hsa-miR-346	408,05	Hoch
hsa-miR-34a	20,48	Hoch
hsa-miR-34a*	-9,84	Runter
hsa-miR-34b	61,28	Hoch
hsa-miR-34b*	7,45	Hoch
hsa-miR-34c-3p	40,90	Hoch
hsa-miR-34c-5p	185,07	Hoch
hsa-miR-361-5p	3,32	Hoch

hsa-miR-362-5p	5,97	Hoch
hsa-miR-363	-14,51	Runter
hsa-miR-365	7182661,00	Hoch
hsa-miR-367	42,58	Hoch
hsa-miR-367*	84,97	Hoch
hsa-miR-369-3p	8,46	Hoch
hsa-miR-369-5p	-9,14	Runter
hsa-miR-370	270,88	Hoch
hsa-miR-371-3p	-22,14	Runter
hsa-miR-371-5p	759,92	Hoch
hsa-miR-372	94,61	Hoch
hsa-miR-373*	-3,81	Runter
hsa-miR-374b*	156,09	Hoch
hsa-miR-376a	-5,75	Runter
hsa-miR-376b	-4,25	Runter
hsa-miR-376c	-3,33	Runter
hsa-miR-377	-6,03	Runter
hsa-miR-377*	912,84	Hoch
hsa-miR-378	103,55	Hoch
hsa-miR-378*	592,15	Hoch
hsa-miR-379	-4,24	Runter
hsa-miR-379*	3,53	Hoch
hsa-miR-381	23,69	Hoch
hsa-miR-383	-25,21	Runter
hsa-miR-384	-5,59	Runter
hsa-miR-409-3p	36,21	Hoch
hsa-miR-409-5p	70,52	Hoch
hsa-miR-410	-3,85	Runter
hsa-miR-411	95,26	Hoch
hsa-miR-412	65827164,00	Hoch
hsa-miR-421	9,87	Hoch
hsa-miR-422a	-5,01	Runter
hsa-miR-423-3p	865686,00	Hoch
hsa-miR-423-5p	1128,30	Hoch
hsa-miR-424	12,53	Hoch
hsa-miR-424*	21,43	Hoch
hsa-miR-425	180,54	Hoch
hsa-miR-425*	3,38	Hoch
hsa-miR-429	-3,62	Runter
hsa-miR-432	-16,17	Runter
hsa-miR-433	-8,76	Runter
hsa-miR-449a	-4,89	Runter
hsa-miR-449b	189,87	Hoch
hsa-miR-450a	103,35	Hoch
hsa-miR-450b-3p	-6,73	Runter
hsa-miR-451	427,21	Hoch
hsa-miR-452*	6,33	Hoch
hsa-miR-453	9,98	Hoch
hsa-miR-454	-4,36	Runter
hsa-miR-455-3p	-7,67	Runter
hsa-miR-455-5p	-8,45	Runter
hsa-miR-483-3p	-3,28	Runter
hsa-miR-483-5p	244,02	Hoch
hsa-miR-484	608,47	Hoch
hsa-miR-485-3p	34,94	Hoch
hsa-miR-486-3p	35,41	Hoch
hsa-miR-486-5p	879,46	Hoch
hsa-miR-487a	-4,00	Runter
hsa-miR-487b	3,03	Hoch
hsa-miR-488	-4,20	Runter
hsa-miR-488*	1238,92	Hoch
hsa-miR-489	-36,39	Runter
hsa-miR-490-3p	7,76	Hoch
hsa-miR-490-5p	1238,92	Hoch

hsa-miR-491-3p	2371,69	Hoch
hsa-miR-491-5p	67,87	Hoch
hsa-miR-493	-5,03	Runter
hsa-miR-493*	71,11	Hoch
hsa-miR-494	299,89	Hoch
hsa-miR-495	4,17	Hoch
hsa-miR-496	-3,38	Runter
hsa-miR-497*	-8,57	Runter
hsa-miR-499-3p	-3,92	Runter
hsa-miR-499-5p	20,32	Hoch
hsa-miR-500	-14,42	Runter
hsa-miR-500*	4,22	Hoch
hsa-miR-501-3p	32,87	Hoch
hsa-miR-501-5p	-4,98	Runter
hsa-miR-502-3p	92,16	Hoch
hsa-miR-502-5p	61,00	Hoch
hsa-miR-503	19,10	Hoch
hsa-miR-504	-12,21	Runter
hsa-miR-505*	5,69	Hoch
hsa-miR-506	-3,32	Runter
hsa-miR-507	-21,98	Runter
hsa-miR-508-3p	-12,37	Runter
hsa-miR-508-5p	-10,80	Runter
hsa-miR-509-3-5p	-5,47	Runter
hsa-miR-509-3p	1238,92	Hoch
hsa-miR-510	1238,92	Hoch
hsa-miR-512-3p	-9,42	Runter
hsa-miR-512-5p	308,86	Hoch
hsa-miR-513-3p	-14,94	Runter
hsa-miR-513-5p	609,79	Hoch
hsa-miR-515-3p	120,02	Hoch
hsa-miR-515-5p	65,12	Hoch
hsa-miR-516a-5p	-31,91	Runter
hsa-miR-517*	6,66	Hoch
hsa-miR-517a	-5,62	Runter
hsa-miR-517c	-6,62	Runter
hsa-miR-518a-3p	440,89	Hoch
hsa-miR-518b	564,08	Hoch
hsa-miR-518c	338,79	Hoch
hsa-miR-518c*	-4,15	Runter
hsa-miR-518d-3p	4902313,00	Hoch
hsa-miR-519a	117,79	Hoch
hsa-miR-519b-3p	-4,81	Runter
hsa-miR-519c-3p	824,66	Hoch
hsa-miR-519d	3,11	Hoch
hsa-miR-519e	9,55	Hoch
hsa-miR-519e*	12,74	Hoch
hsa-miR-520a-3p	-4,41	Runter
hsa-miR-520a-5p	13,95	Hoch
hsa-miR-520b	11,27	Hoch
hsa-miR-520c-3p	-3,77	Runter
hsa-miR-520d-3p	81,23	Hoch
hsa-miR-520g	127,58	Hoch
hsa-miR-520h	38,52	Hoch
hsa-miR-521	-5,29	Runter
hsa-miR-522	-7,69	Runter
hsa-miR-524-3p	6,36	Hoch
hsa-miR-524-5p	-5,59	Runter
hsa-miR-525-5p	-4,65	Runter
hsa-miR-526b	5,27	Hoch
hsa-miR-526b*	9,77	Hoch
hsa-miR-532-3p	1304,66	Hoch
hsa-miR-532-5p	62,70	Hoch
hsa-miR-539	-7,95	Runter

hsa-miR-541	13859604,00	Hoch
hsa-miR-541*	-7,85	Runter
hsa-miR-542-3p	72,28	Hoch
hsa-miR-542-5p	20,52	Hoch
hsa-miR-543	359,89	Hoch
hsa-miR-545	912,84	Hoch
hsa-miR-545*	-4,14	Runter
hsa-miR-548a-5p	-7,31	Runter
hsa-miR-548b-5p	-9,28	Runter
hsa-miR-548c-3p	116,20	Hoch
hsa-miR-548d-3p	-8,14	Runter
hsa-miR-548d-5p	223,43	Hoch
hsa-miR-549	-26,04	Runter
hsa-miR-550*	-28,15	Runter
hsa-miR-551a	19,94	Hoch
hsa-miR-551b	-49,00	Runter
hsa-miR-551b*	838,71	Hoch
hsa-miR-552	282,60	Hoch
hsa-miR-553	8460576,00	Hoch
hsa-miR-554	108,23	Hoch
hsa-miR-555	12,00	Hoch
hsa-miR-556-3p	-5,48	Runter
hsa-miR-556-5p	23,32	Hoch
hsa-miR-557	40,11	Hoch
hsa-miR-558	-4,63	Runter
hsa-miR-559	594,90	Hoch
hsa-miR-560	59,70	Hoch
hsa-miR-561	6,11	Hoch
hsa-miR-562	661,30	Hoch
hsa-miR-563	-8,38	Runter
hsa-miR-564	73,77	Hoch
hsa-miR-565	266,92	Hoch
hsa-miR-566	3,03	Hoch
hsa-miR-568	-17,11	Runter
hsa-miR-569	-3,57	Runter
hsa-miR-570	19,52	Hoch
hsa-miR-572	205,14	Hoch
hsa-miR-573	-12,57	Runter
hsa-miR-574-5p	12,92	Hoch
hsa-miR-575	124,63	Hoch
hsa-miR-576-5p	-11,14	Runter
hsa-miR-577	-8,19	Runter
hsa-miR-578	72,13	Hoch
hsa-miR-579	120,02	Hoch
hsa-miR-582-3p	-7,73	Runter
hsa-miR-582-5p	1238,92	Hoch
hsa-miR-583	328,87	Hoch
hsa-miR-584	-8,33	Runter
hsa-miR-587	42,51	Hoch
hsa-miR-588	-3,79	Runter
hsa-miR-589	-6,02	Runter
hsa-miR-591	-16,97	Runter
hsa-miR-593	83,22	Hoch
hsa-miR-593*	1238,92	Hoch
hsa-miR-595	217,83	Hoch
hsa-miR-596	3,91	Hoch
hsa-miR-598	-3,00	Runter
hsa-miR-599	-8,90	Runter
hsa-miR-600	-5,37	Runter
hsa-miR-601	126,33	Hoch
hsa-miR-602	11,14	Hoch
hsa-miR-603	-7,55	Runter
hsa-miR-607	-4,80	Runter
hsa-miR-608	329,20	Hoch

hsa-miR-609	-18,36	Runter
hsa-miR-610	-4,07	Runter
hsa-miR-611	6,28	Hoch
hsa-miR-612	582,99	Hoch
hsa-miR-614	207,60	Hoch
hsa-miR-615-5p	120,02	Hoch
hsa-miR-616	19,88	Hoch
hsa-miR-616*	7,19	Hoch
hsa-miR-617	-21,02	Runter
hsa-miR-618	25,55	Hoch
hsa-miR-62	-16,34	Runter
hsa-miR-621	9,56	Hoch
hsa-miR-623	886,75	Hoch
hsa-miR-624	7245221,00	Hoch
hsa-miR-624*	243,04	Hoch
hsa-miR-625*	-7,10	Runter
hsa-miR-626	5,06	Hoch
hsa-miR-627	3,67	Hoch
hsa-miR-628-3p	1238,91	Hoch
hsa-miR-628-5p	7,72	Hoch
hsa-miR-629	716,65	Hoch
hsa-miR-630	-5,19	Runter
hsa-miR-632	-4,26	Runter
hsa-miR-633	4,65	Hoch
hsa-miR-634	4,76	Hoch
hsa-miR-635	5,99	Hoch
hsa-miR-636	1238,92	Hoch
hsa-miR-637	704,90	Hoch
hsa-miR-638	751,44	Hoch
hsa-miR-639	1238,92	Hoch
hsa-miR-640	4,50	Hoch
hsa-miR-643	33,63	Hoch
hsa-miR-644	-4,01	Runter
hsa-miR-645	45,19	Hoch
hsa-miR-646	202,12	Hoch
hsa-miR-647	-3,09	Runter
hsa-miR-649	410,16	Hoch
hsa-miR-650	39,29	Hoch
hsa-miR-651	-11,20	Runter
hsa-miR-657	4,66	Hoch
hsa-miR-658	47,25	Hoch
hsa-miR-659	117,81	Hoch
hsa-miR-660	-3,00	Runter
hsa-miR-661	1238,92	Hoch
hsa-miR-663	186,56	Hoch
hsa-miR-665	216,60	Hoch
hsa-miR-668	5,67	Hoch
hsa-miR-671-3p	15,21	Hoch
hsa-miR-674	48,48	Hoch
hsa-miR-675	771,70	Hoch
hsa-miR-7	199,04	Hoch
hsa-miR-744	354103,00	Hoch
hsa-miR-744*	26,48	Hoch
hsa-miR-758	227,93	Hoch
hsa-miR-760	1238,92	Hoch
hsa-miR-765	-38,80	Runter
hsa-miR-766	164,59	Hoch
hsa-miR-767-5p	-11,25	Runter
hsa-miR-768-3p	719,15	Hoch
hsa-miR-768-5p	199,12	Hoch
hsa-miR-769-3p	-8,47	Runter
hsa-miR-769-5p	-145,41	Runter
hsa-miR-770-5p	1238,92	Hoch
hsa-miR-871	1238,92	Hoch

hsa-miR-872	4,23	Hoch
hsa-miR-873	97003,82	Hoch
hsa-miR-874	215,50	Hoch
hsa-miR-875-5p	98,33	Hoch
hsa-miR-876-5p	255,30	Hoch
hsa-miR-877	628,49	Hoch
hsa-miR-877*	1238,92	Hoch
hsa-miR-885-3p	798243,00	Hoch
hsa-miR-885-5p	139,53	Hoch
hsa-miR-886-3p	1238,92	Hoch
hsa-miR-886-5p	48,54	Hoch
hsa-miR-887	3,60	Hoch
hsa-miR-888	-3,52	Runter
hsa-miR-888*	-3,77	Runter
hsa-miR-889	69951836,00	Hoch
hsa-miR-890	-4,09	Runter
hsa-miR-891a	152,99	Hoch
hsa-miR-892a	28,75	Hoch
hsa-miR-892b	10,59	Hoch
hsa-miR-9	10,18	Hoch
hsa-miR-920	14,61	Hoch
hsa-miR-921	625,32	Hoch
hsa-miR-922	-36,80	Runter
hsa-miR-923	1106,03	Hoch
hsa-miR-924	211,85	Hoch
hsa-miR-92a	730,47	Hoch
hsa-miR-92a-1*	7,40	Hoch
hsa-miR-92a-2*	-4,60	Runter
hsa-miR-92b	975,24	Hoch
hsa-miR-92b*	750,08	Hoch
hsa-miR-93	34,11	Hoch
hsa-miR-93*	1238,92	Hoch
hsa-miR-933	535,65	Hoch
hsa-miR-934	-13,78	Runter
hsa-miR-935	1238,92	Hoch
hsa-miR-936	101,83	Hoch
hsa-miR-937	-7,54	Runter
hsa-miR-938	-25,98	Runter
hsa-miR-939	360,24	Hoch
hsa-miR-940	278,55	Hoch
hsa-miR-941	-17,44	Runter
hsa-miR-943	123,89	Hoch
hsa-miR-944	-5,07	Runter
hsa-miR-95	4,53	Hoch
hsa-miR-96	-13,88	Runter
hsa-miR-96*	198,96	Hoch
hsa-miR-98	25,70	Hoch
hsa-miR-99a	-5,13	Runter
hsa-miR-99b	616,53	Hoch
hsa-miR-99b*	6,69	Hoch

| Verantwortung für Mensch und Umwelt |

Kontakt:

Bundesamt für Strahlenschutz

Postfach 10 01 49

38201 Salzgitter

Telefon: + 49 30 18333 - 0

Telefax: + 49 30 18333 - 1885

Internet: www.bfs.de

E-Mail: ePost@bfs.de

Gedruckt auf Recyclingpapier aus 100 % Altpapier.



Bundesamt für Strahlenschutz